Школьные проекты

Оглавление

Проектная работа №1 4
Проектная работа №2 7
Проектная работа №3 10
Проектная работа №4 13
Проектная работа №5 16
Проектная работа №6 19
Проектная работа №7 22
Проектная работа №8 25
Проектная работа №9 28
Проектная работа №10 31
Проектная работа №11 34
Проектная работа №12 37
Проектная работа №13 40
Проектная работа №14 43
Проектная работа №15 46
Проектная работа №16 49
Проектная работа №17 53
Проектная работа №18 56
Проектная работа №19 59
Проектная работа №20 62
Проектная работа №21 65
Проектная работа №22 68
Проектная работа №23 72
Проектная работа №24 76
Проектная работа №25 79
Проектная работа №26 83
Проектная работа №27 87
Проектная работа №28 91
Проектная работа №29 95
Проектная работа №30 99
Проектная работа №31 102
Проектная работа №32 106

Проектная работа №33 110
Проектная работа №34 114
Проектная работа №35 118
Проектная работа №36 121
Проектная работа №38 124
Проектная работа №39 127
Проектная работа №40 131
Проектная работа №41 135
Проектная работа №42 139
Проектная работа №43 143
Проектная работа №44 147
Проектная работа №45 151
Проектная работа №46 154
Проектная работа №47 157
Проектная работа №48 161
Проектная работа №49 164
Проектная работа №50 168

Проектная работа №1

Тема: Изучение электропроводимости дистиллированной воды и при добавлении примесей в виде поваренной соли.
Цель проекта: Экспериментально исследовать зависимость электрической проводимости воды от концентрации растворенной поваренной соли (NaCl).
Задачи:
Изучить теоретические основы электропроводности жидкостей (электролитов).
Собрать установку для измерения электропроводности.
Провести серию опытов: измерить электропроводность дистиллированной воды и растворов соли разной концентрации.
Проанализировать полученные данные, построить график зависимости.
Сделать выводы о характере зависимости и объяснить результаты с точки зрения физико-химических процессов.
Гипотеза: Дистиллированная вода является очень слабым проводником. Добавление поваренной соли (ионного соединения) приведет к значительному росту электропроводности раствора, причем с увеличением концентрации соли проводимость будет возрастать, но нелинейно.
Этапы работы:
1. **Подготовительный этап** (1 неделя)
Выбор темы: Обусловлен интересом к практической электрохимии и доступностью материалов.
Постановка проблемы: Как обычная вода проводит ток и почему соленая вода проводит его лучше?
Планирование: Составление списка оборудования (источник постоянного тока 5-12В, миллиамперметр или мультиметр, электроды, дистиллированная вода, поваренная соль, мерная посуда, весы), определение этапов эксперимента.
2. **Проектировочный этап** (1 неделя)
Теоретическое исследование: Изучение понятий «электролит», «диссоциация», «ионы», «электрическая проводимость». Анализ, почему чистая вода почти не проводит ток (мало ионов H^+ и OH^-).
Разработка методики: Создание схемы электрической цепи (источник тока – амперметр – электроды в растворе). Определение концентраций соли для опыта (например, 1%, 3%, 5%, 10%).
Техника безопасности: Работа с низковольтным источником тока. Запрет на использование сетевого напряжения 220В.
3. **Практический этап** (2 недели)
Сборка установки: Подключение амперметра последовательно в цепь с электродами (например, графитовыми стержнями от батареек).
Проведение эксперимента:

Измерение тока в цепи с дистиллированной водой (фоновое значение).
Приготовление серии растворов с заданной концентрацией соли.
Последовательное погружение электродов в каждый раствор, фиксация показаний силы тока (при неизменном напряжении).
Повторение каждого измерения 3 раза для усреднения результата.
Фиксация данных: Ведение лабораторного журнала. Таблица: «Концентрация соли (%) – Сила тока (мА)».

4. **Аналитический этап** (1 неделя)

Обработка данных: Расчет средних значений силы тока для каждой концентрации. Построение графика «Сила тока от концентрации соли».
Анализ: Описание формы графика. Объяснение резкого роста проводимости при малых добавках соли (диссоциация на ионы Na^+ и Cl^-) и возможного замедления роста при высоких концентрациях (взаимное торможение ионов).

Выводы:

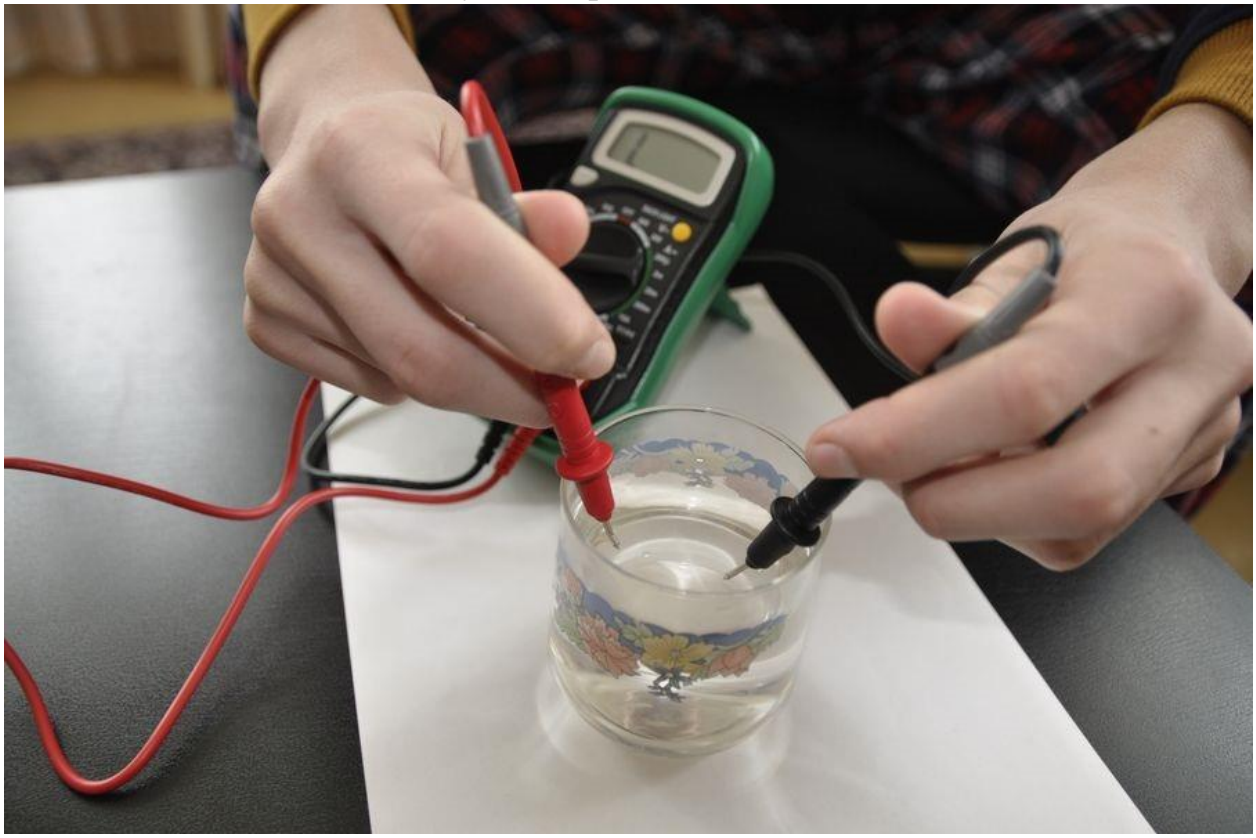
Дистиллированная вода практически не проводит электрический ток.
Добавление поваренной соли увеличивает электропроводность раствора.
Зависимость силы тока от концентрации соли имеет нелинейный характер.
Рефлексия: Трудности – обеспечение стабильного контакта электродов, испарение растворов. Успехи – получена четкая экспериментальная зависимость.

5. **Презентационный этап**

Оформление работы: Текст с введением, теоретической частью, описанием методики, таблицами, графиком, выводами.
Продукт: Собранная экспериментальная установка (или ее фото/видео), график зависимости, таблица результатов.
Защита: Презентация, демонстрирующая логику исследования, ключевые результаты и личный опыт. Возможна демонстрация опыта «замыкание цепи соленой водой».

Необходимое оборудование и материалы: Источник постоянного тока (батарейка 9В), мультиметр, графитовые/металлические электроды, стаканчики, дистиллированная вода, поваренная соль, электронные весы, мерный цилиндр.
Возможное развитие проекта: Исследование проводимости других растворов (сахар, сода, лимонная кислота), изучение зависимости от температуры,

создание самодельного кондуктометра.

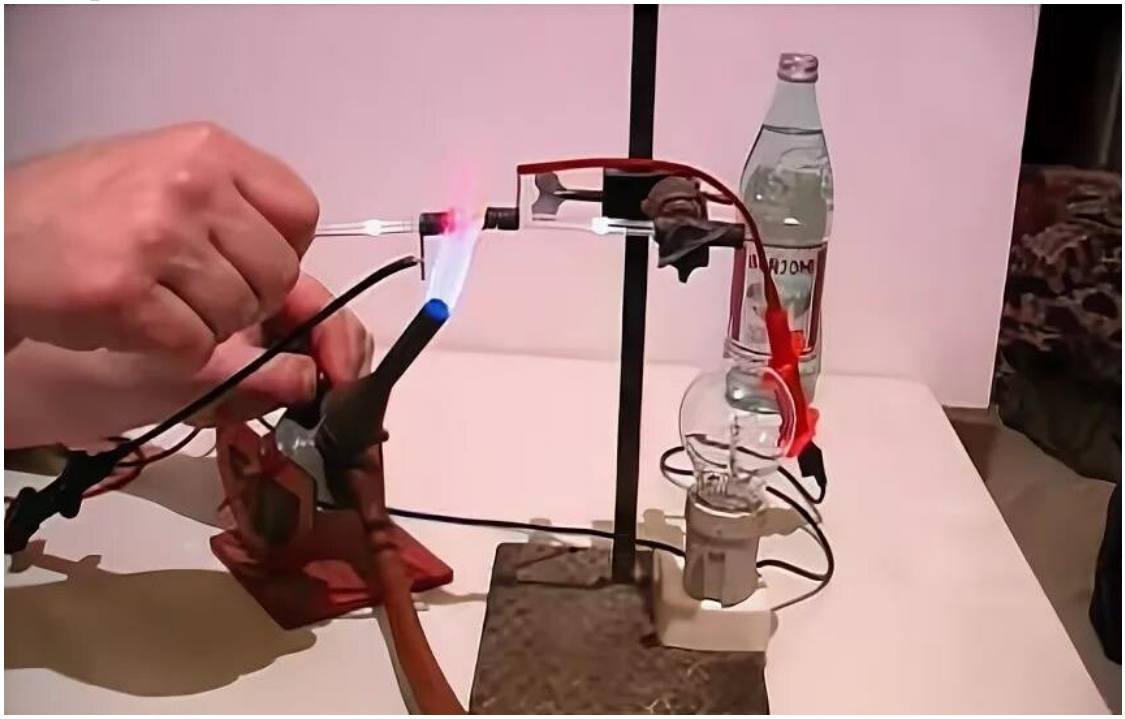


Проектная работа №2

Тема: Изучение электропроводимости различных материалов: металл, пластик, дерево, стекло.
Цель проекта: Экспериментально исследовать и классифицировать различные бытовые материалы по их способности проводить электрический ток.
Задачи:
Изучить теоретические основы электрического тока в различных средах (проводники, диэлектрики, полупроводники).
Собрать простую и безопасную измерительную установку.
Провести серию опытов по измерению сопротивления (или проверке наличия тока) у образцов металла, пластика, дерева и стекла.
Проанализировать полученные данные и классифицировать материалы на основе результатов.
Сделать выводы о взаимосвязи состава материала и его электропроводности.
Гипотеза: Металлы будут являться хорошими проводниками, в то время как пластик, сухое дерево и стекло будут обладать очень высоким сопротивлением и практически не пропускать электрический ток (являться диэлектриками).
Этапы работы:
1. **Подготовительный этап** (5-7 дней)
Выбор темы: Тема выбрана из-за ее фундаментальности, наглядности и доступности материалов.
Постановка проблемы: Почему металлические провода изолируют пластиком или резиной? Какие материалы пропускают ток, а какие — нет?
Планирование: Составление списка оборудования (источник постоянного тока 4.5-9В, лампочка на соответствующее напряжение или светодиод с резистором, соединительные провода с зажимами «крокодил», образцы материалов: алюминиевая фольга/гвоздь, пластиковая линейка, сухая деревянная палочка, стеклянная банка/пластина). Определение условий эксперимента (сухие образцы).
2. **Проектировочный этап** (5-7 дней)
Теоретическое исследование: Изучение понятий: электрический ток как движение заряженных частиц, свободные электроны в металлах, отсутствие свободных носителей заряда в диэлектриках. Понятие о сопротивлении.
Разработка методики: Создание схемы простейшей электрической цепи: источник тока – лампочка/светодиод – два разрывных контакта для подключения образца. Если лампочка горит – материал проводник, если нет – диэлектрик. Для более точного исследования с использованием мультиметра – измерение сопротивления в режиме омметра.

Техника безопасности: Использование только низковольтных источников. Проверка целостности изоляции проводов.
3. **Практический этап** (7-10 дней)
Сборка установки: Сборка цепи последовательно: батарейный блок – лампочка – два свободных конца проводов.
Проведение эксперимента:
Замкнуть свободные концы проводов друг на друга (контроль – лампочка должна гореть ярко).
Подключить в разрыв цепи образец металла (фольга, гвоздь). Наблюдать за яркостью лампочки.
Подключить последовательно пластиковую линейку, сухую деревянную палочку, стекло. Фиксировать результат (горит/не горит, тускло/ярко).
При наличии мультиметра: измерить сопротивление каждого образца, прикоснувшись щупами к его концам.
Фиксация данных: Ведение лабораторного журнала. Таблица: «Материал – Наличие свечения (Да/Нет) – Яркость – Измеренное сопротивление (Ом/кОм/МОм) – Вывод (проводник/диэлектрик)».
4. **Аналитический этап** (5-7 дней)
Обработка данных: Анализ таблицы. Количественное сравнение сопротивлений.
Анализ результатов: Металлы показали низкое сопротивление и яркое свечение лампочки. Пластик, сухое дерево и стекло показали очень высокое сопротивление (на пределе измерений мультиметра) и не вызвали свечения лампочки.
Выводы:
Металлы (из-за наличия «электронного газа») – отличные проводники электричества.
Пластик, стекло, сухое дерево – диэлектрики, так как не имеют свободных носителей заряда.
Гипотеза подтвердилась полностью.
Рефлексия: Трудности – обеспечение хорошего контакта с образцами диэлектриков для измерения высокого сопротивления. Важно учитывать влажность: мокрое дерево может проводить ток. Успех – наглядно продемонстрирована разница между классами материалов.
5. **Презентационный этап**
Оформление работы: Текст с теоретической частью, схемой установки, таблицей результатов, фотографиями эксперимента.
Продукт: Собранная демонстрационная установка, коллекция исследованных образцов с подписями.
Защита: Презентация с объяснением физической природы явления и живой демонстрацией опыта с разными материалами.

Необходимое оборудование и материалы: Батарейный блок (например, «Крона» 9В), лампочка на 6-9В в патроне или светодиод (3В) с токоограничивающим резистором (100-200 Ом), соединительные провода с зажимами, образцы материалов, мультиметр (опционально).
Возможное развитие проекта: Исследование проводимости полупроводников (графит), изучение влияния температуры на проводимость, исследование электролитов (соленая вода).



Проектная работа №3

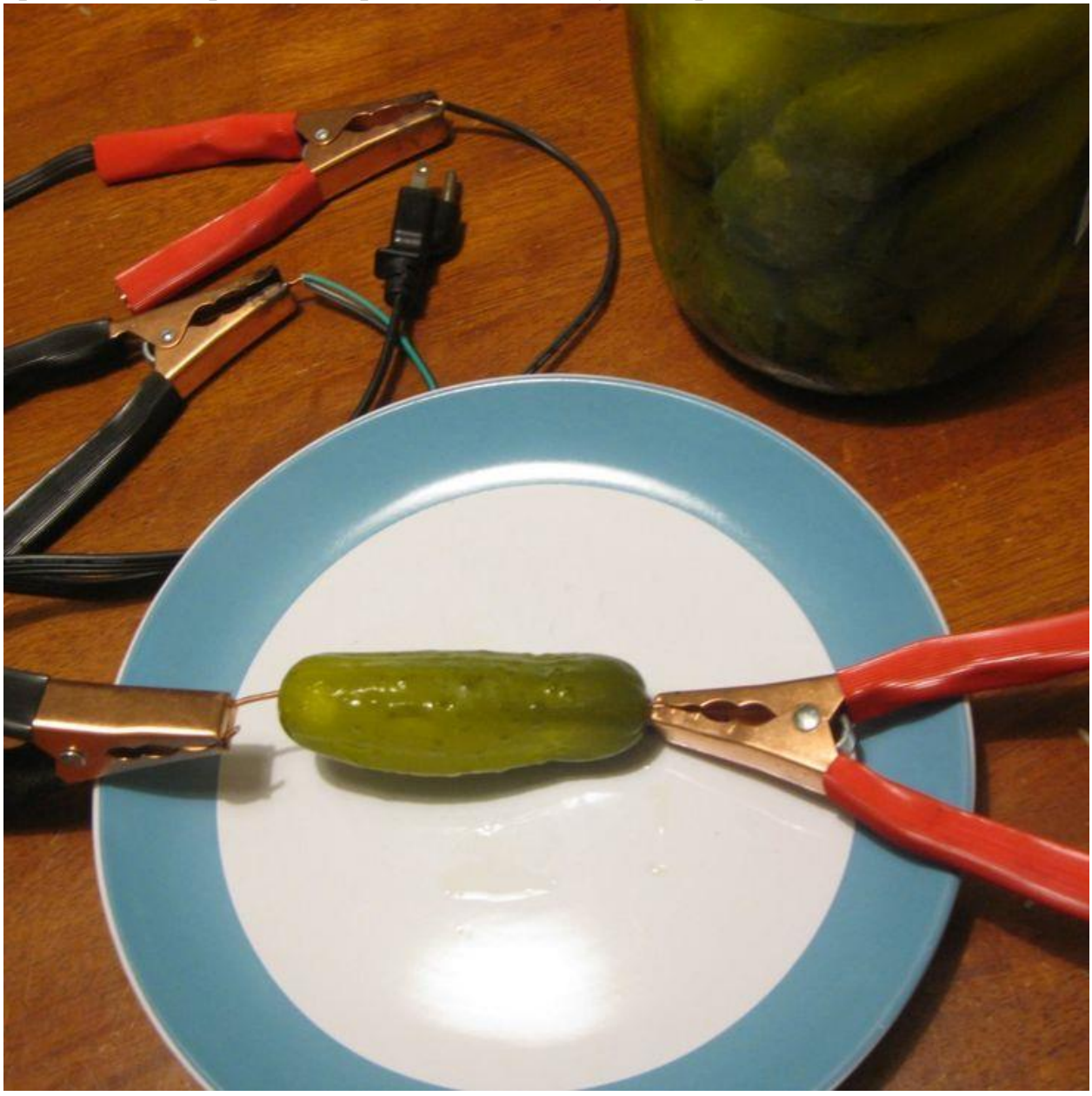
Тема: Изучение электропроводимости и свечения маринованных продуктов питания (на примере соленого огурца).
Цель проекта: Исследовать явление электролитической проводимости и электрического пробоя в соленом рассоле, приводящего к свечению.
Задачи:
Изучить теорию электропроводности растворов (электролитов) и явление электрического разряда в газах и жидкостях.
Собрать высоковольтную, но безопасную установку для демонстрации эффекта.
Провести эксперимент по подключению маринованного огурца к источнику высокого напряжения.
Пронаблюдать и зафиксировать характер свечения у электродов.
Объяснить природу наблюдаемых явлений (электропроводность, нагрев, газовый разряд).
Гипотеза: Рассол маринованного огурца, содержащий ионы солей и кислот, будет проводить электрический ток. При достаточном напряжении между электродами возникнет электрический пробой, сопровождающийся нагревом, выделением газов и свечением паров натрия и других элементов.
Этапы работы:
1. **Подготовительный этап** (7 дней)
Выбор темы: Тема выбрана из-за ее зрелищности и необычности, сочетающей химию и физику.
Постановка проблемы: Почему соленый огурец, подключенный к высокому напряжению, начинает светиться? Какие процессы лежат в основе этого?
Планирование: Крайне важна безопасность! Подбор источника высокого напряжения (НО НЕ СЕТЕВОГО 220В!). Оптимально: умножитель напряжения, питаемый от блока 12В, или высоковольтный модуль от электрошокера (разрядно-искровой, не электростатический). Оборудование: маринованный огурец, изолирующая подставка, провода, фотоаппарат для съемки в темноте. Обязательное участие руководителя.
2. **Проектировочный этап** (7 дней)
Теоретическое исследование: Электролитическая диссоциация. Электролиз. Понятие пробоя диэлектрика. Спектры испускания атомов (желтая линия натрия). Почему именно огурец? (Наличие солей, кислот, влаги).
Разработка методики: Создание схемы: источник питания -> высоковольтный генератор -> два электрода, воткнутые в огурец на расстоянии 1-2 см. Включение в полной темноте для наблюдения свечения.
Техника безопасности: Главный приоритет. Использование только источников с током, безопасным для жизни (микроамперы). Полная изоляция

всех высоковольтных частей. Работа в присутствии взрослого. После отключения — обязательная разрядка конденсаторов.
3. **Практический этап** (5-7 дней)
Сборка установки: Монтаж цепи на изолирующей поверхности. Надежное крепление электродов (например, толстые гвозди).
Проведение эксперимента:
В темной комнате воткнуть два электрода в огурец.
Подать напряжение.
Наблюдать: появление искры/дуги между электродами (или от электрода к поверхности), яркое желто-оранжевое свечение, выделение пузырьков газа, шипение, возможное обугливание области вокруг электродов.
Зафиксировать время от включения до появления устойчивого свечения.
Сделать фотографии и видеозапись.
Фиксация данных: Протокол наблюдений с описанием этапов: появление искры, цвет и интенсивность свечения, выделение газа, запах. Фото- и видеоотчет.
4. **Аналитический этап** (5-7 дней)
Обработка данных: Анализ видеозаписи для детального изучения процесса.
Анализ результатов:
Проводимость: Ток пошел, что доказывает, что рассол — проводящий электролит.
Электролиз: У электродов идет выделение газов (водород, кислород, хлор).
Нагрев и пары: Сильный нагрев в канале разряда испаряет воду и соли.
Свечение: В электрической дуге между электродами (в парах) происходит возбуждение атомов натрия (дает желтый свет) и, возможно, других элементов.
Выводы:
Маринованный огурец проводит ток благодаря ионам в рассоле.
При высоком напряжении происходит пробой, приводящий к дуговому разряду.
Наблюдаемое свечение — это, в основном, свечение паров натрия в плазме дуги.
Гипотеза подтвердилась.
Рефлексия: Основная трудность — обеспечение безопасной и стабильной работы высоковольтной установки. Проект требует глубокого теоретического анализа для объяснения всех наблюдаемых явлений.
5. **Презентационный этап**
Оформление работы: Подробный отчет с разбором физики и химии каждого этапа, схемой установки, мерами безопасности.
Продукт: Видеоролик с эффектной демонстрацией свечения огурца в темноте, лучшие фотографии.

Защита: Доклад, объясняющий комплекс явлений (электролиз, пробой, спектральное излучение). На защите сам эксперимент проводить не рекомендуется из-за рисков.

Необходимое оборудование и материалы: Источник высокого напряжения безопасного тока (специальный генератор), маринованный огурец, металлические электроды, изолирующая подставка, провода в высокой изоляции, средства фото- и видеосъемки в темноте.

Возможное развитие проекта: Сравнение свечения разных солений (огурцы, помидоры, капуста), спектральный анализ свечения, изучение зависимости яркости от напряжения и расстояния между электродами.



Проектная работа №4

Тема: Исследование электропроводимости и свечения графитового стержня.
Цель проекта: Изучить зависимость электрического сопротивления и теплового свечения графита от силы протекающего через него тока.
Задачи:
Изучить строение графита и причины его высокой электропроводности среди неметаллов.
Собрать установку для пропускания переменного или постоянного тока через графитовый стержень.
Измерить зависимость силы тока от напряжения на графите (снять ВАХ) в холодном и разогретом состоянии.
Пронаблюдать и зафиксировать стадии теплового свечения графита (от красного до белого каления).
Объяснить наблюдаемые явления с точки зрения физики.
Гипотеза: Графит обладает значительной электропроводностью. При пропускании через него большого тока он будет сильно нагреваться за счет джоулева тепла, и при достижении определенной температуры начнет светиться, подобно нити лампы накаливания. Его сопротивление будет меняться с температурой.
Этапы работы:
1. **Подготовительный этап** (5-7 дней)
Выбор темы: Графит — уникальный материал, сочетающий свойства проводника и неметалла. Тема позволяет наглядно изучить закон Джоуля-Ленца и тепловое излучение.
Постановка проблемы: Почему графит проводит ток и может светиться? Как его сопротивление зависит от нагрева?
Планирование: Составление списка оборудования: графитовый стержень от толстого карандаша или разобранной батарейки (диаметр 3-5 мм, длина 5-10 см), мощный регулируемый источник постоянного или переменного тока (0-12В, 5-10А), амперметр, вольтметр, реостат или мощный резистор для ограничения тока, клеммы для крепления стержня, термопара (опционально).
2. **Проектировочный этап** (7 дней)
Теоретическое исследование: Строение графита (слоистая структура, sp2-гибридизация, делокализованные электроны внутри слоев). Закон Ома для участка цепи. Закон Джоуля-Ленца. Закон Стефана-Больцмана (связь температуры и излучения). Понятие температурного коэффициента сопротивления.
Разработка методики: Создание схемы цепи: источник -> амперметр -> графитовый стержень -> реостат -> источник. Вольтметр подключается параллельно стержню. Постепенное увеличение напряжения и фиксация силы тока и свечения.

Техника безопасности: Графит и клеммы будут сильно нагреваться! Необходимы термостойкие держатели (например, из «крокодилов» с удаленной пластиковой оболочкой). Защитные очки. Осторожность при работе с большими токами.

3. **Практический этап** (7-10 дней)

Сборка установки: Надежное закрепление графитового стержня в клеммах. Подключение измерительных приборов и реостата.

Проведение эксперимента:

При минимальном напряжении измерить начальное сопротивление стержня ($R = U/I$).

Плавно увеличивать напряжение, записывая пары значений U и I.

Фиксировать момент появления тускло-красного свечения, затем ярко-красного, оранжевого и, если позволяет стержень, желто-белого.

Для каждого качественного этапа свечения записать значения U и I.

После выключения быстро (с осторожностью) измерить сопротивление горячего стержня.

Фиксация данных: Таблица: «Напряжение, U (В) – Сила тока, I (А) – Сопротивление, R (Ом) – Цвет каления / Температура (при наличии термопары) – Примечания (дым, окисление)».

4. **Аналитический этап** (5-7 дней)

Обработка данных: Построение вольт-амперной характеристики (ВАХ). Расчет мощности ($P=U*I$), выделяющейся на стержне для каждой точки.

Анализ результатов: ВАХ будет нелинейной: при нагреве сопротивление графита растет (отрицательный температурный коэффициент сопротивления для графита в данном диапазоне), поэтому рост тока с напряжением замедляется. Свечение начинается при температуре ~500°C (темно-красное). Наблюдается окисление графита на воздухе (дым, уменьшение диаметра стержня).

Выводы:

Графит — хороший проводник благодаря особому строению кристаллической решетки.

При пропускании тока он нагревается и начинает излучать в видимом спектре (тепловое свечение).

Сопротивление графита существенно увеличивается с нагревом.

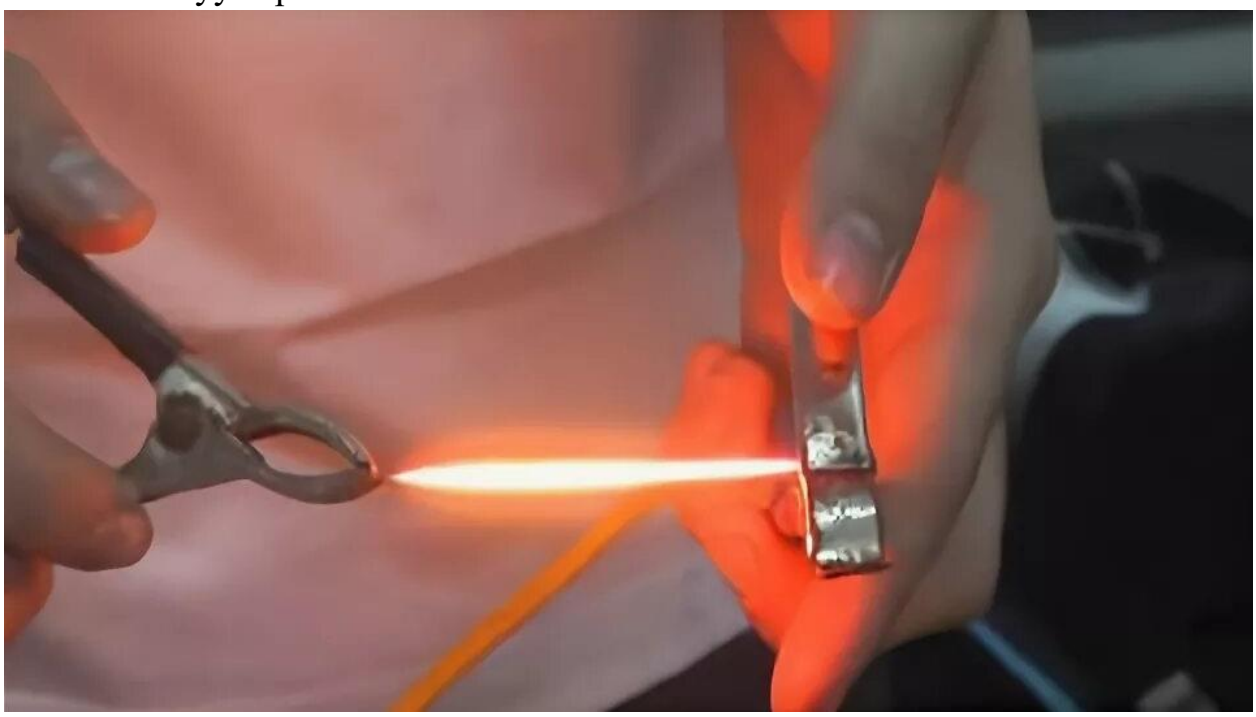
Гипотеза подтвердилась.

Рефлексия: Сложность в обеспечении хорошего контакта с графитом и предотвращении его выгорания. Можно было бы провести опыт в атмосфере инертного газа. Проект наглядно демонстрирует связь электричества, тепла и света.

5. **Презентационный этап**

Оформление работы: Отчет с графиками ВАХ и зависимости R(T), фотографии этапов свечения, объяснение микроскопических процессов.

Продукт: Фотографии и видео свечения графита, график ВАХ.
Защита: Презентация с демонстрацией ключевого опыта (свечение графита) и объяснением полученных зависимостей.
Необходимое оборудование и материалы: Графитовый стержень, регулируемый блок питания (12В, 10А), амперметр, вольтметр, мощный реостат (например, 5 Ом, 50Вт) или набор мощных резисторов, термостойкие клеммы, провода большого сечения.
Возможное развитие проекта: Исследование зависимости свечения и сопротивления от длины и толщины стержня. Сравнение с металлическим проводником (нихром). Создание модели лампы накаливания с графитовой нитью в вакуумированной колбе.

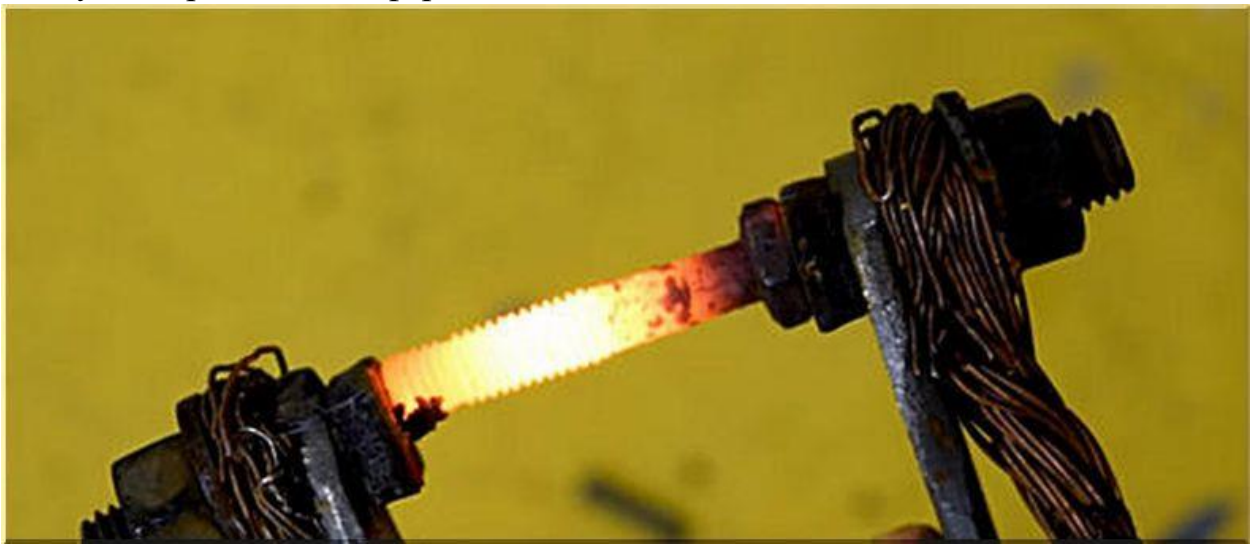


Проектная работа №5

Тема: Исследование электропроводимости и свечения стального гвоздя.
Цель проекта: Изучить явление теплового свечения (каления) металлического проводника при пропускании через него электрического тока и исследовать зависимость его сопротивления от температуры.
Задачи:
Изучить теорию электропроводности металлов, закон Джоуля-Ленца и тепловое излучение абсолютно черного тела (на примере раскаленного металла).
Собрать установку для пропускания большого тока через стальной гвоздь.
Измерить зависимость силы тока от напряжения на гвозде и зафиксировать моменты появления видимого свечения.
Пронаблюдать стадии каления (от красного до белого) и связать их с температурой и выделяемой мощностью.
Объяснить изменение сопротивления гвоздя в процессе нагрева.
Гипотеза: Стальной гвоздь, как металлический проводник, будет обладать низким сопротивлением. При пропускании значительного тока он будет нагреваться за счет джоулева тепла. При достижении температуры ~500-600°C появится видимое темно-красное свечение, а с ростом мощности оно перейдет в оранжевое и желтое. Сопротивление гвоздя будет увеличиваться с ростом температуры.
Этапы работы:
1. **Подготовительный этап** (5-7 дней)
Выбор темы: Тема наглядно демонстрирует преобразование электрической энергии в световую и тепловую, лежащее в основе работы ламп накаливания.
Постановка проблемы: Почему металл светится при сильном нагреве и как связаны цвет свечения и температура? Как изменится способность металла проводить ток при его нагреве?
Планирование: Составление списка оборудования: мощный регулируемый источник постоянного тока (0-12 В, 10-20 А – критически важно!), толстые соединительные провода, амперметр на 20 А, вольтметр, длинный стальной гвоздь (100-150 мм), термостойкие держатели (например, мощные зажимы «крокодил» с удаленной пластиковой изоляцией), защитные очки, штатив для изоляции установки.
2. **Проектировочный этап** (1 неделя)
Теоретическое исследование: Природа электропроводности металлов (свободные электроны). Закон Джоуля-Ленца ($Q = I^2Rt$). Тепловое излучение и шкала цветов каления: темно-красный (~600°C), вишнево-красный (~800°C), светло-красный (~950°C), оранжевый (~1100°C), желтый (~1300°C). Положительный температурный коэффициент сопротивления металлов.

Разработка методики: Создание цепи: источник тока -> амперметр -> гвоздь -> реостат (или второй источник в режиме стабилизации тока) -> источник. Вольтметр подключается параллельно гвоздю. Плавное увеличение напряжения/тока с фиксацией значений U, I и визуальной оценки цвета свечения.
Техника безопасности: Крайне важный раздел. Гвоздь и клеммы раскаляются докрасна! Запрещено прикасаться к любым частям установки во время работы. Обязательны защитные очки (искры, возможный разрыв гвоздя). Работа в хорошо проветриваемом помещении (возможен дым от сгорающих примесей). Установка на негорючей поверхности.
3. **Практический этап** (1 неделя)
Сборка установки: Надежное крепление гвоздя в зажимах. Проверка всех соединений. Установка защитного экрана из огнеупорного стекла или слюды (опционально, но желательно).
Проведение эксперимента:
При минимальном токе измерить начальное сопротивление гвоздя (Rнач = U/I).
Плавно увеличивая напряжение, записывать пары значений U и I каждые 0.5-1 А.
Визуально фиксировать и записывать момент появления первого видимого в темноте красного свечения (отмечая соответствующие U и I).
Продолжить увеличение тока, фиксируя изменение цвета свечения на ярко-красный, оранжевый.
Внимание! Не доводить до белого каления и плавления – гвоздь быстро перегорит.
После выключения дать остыть и измерить сопротивление горячего гвоздя (осторожно!).
Фиксация данных: Таблица: «Напряжение, U (В) – Сила тока, I (А) – Сопротивление, R (Ом) – Расчетная мощность, P (Вт) – Цвет каления / Примечания». Фото- и видеофиксация свечения.
4. **Аналитический этап** (1 неделя)
Обработка данных: Расчет сопротивления (R=U/I) и мощности (P=UI) для каждой точки. Построение графиков: 1) Вольт-амперная характеристика (ВАХ) I(U); 2) Зависимость сопротивления R от мощности P (или условно от температуры).
Анализ результатов: ВАХ будет нелинейной: по мере нагрева и роста R ток будет увеличиваться медленнее, чем напряжение. График R(P) покажет явный рост сопротивления с нагревом. Цвет свечения будет меняться в соответствии с теоретической шкалой по мере роста мощности.
Выводы:
При пропускании тока стальной гвоздь нагревается и начинает излучать в видимом диапазоне (каление).

Цвет свечения является качественным индикатором температуры.
Сопротивление стали возрастает с увеличением температуры, что подтверждает положительный температурный коэффициент.
Гипотеза подтвердилась полностью.
Рефлексия: Основная трудность – техническая: необходимость в очень мощном и стабильном источнике тока. Риск быстрого перегорания гвоздя ограничивает диапазон исследований. Проект дает яркое, запоминающееся понимание фундаментальных физических законов.
5. **Презентационный этап**
Оформление работы: Подробный отчет с теоретической частью, схемой установки, таблицами, графиками и фотографиями этапов свечения.
Продукт: Видеоролик, наглядно демонстрирующий разогрев и свечение гвоздя, графики зависимостей.
Защита: Презентация с объяснением наблюдаемых эффектов. Живую демонстрацию на защите проводить только при наличии абсолютно безопасных и подготовленных условий.
Необходимое оборудование и материалы: Мощный блок питания (12В, 15-20А), амперметр (20А), вольтметр, толстые провода (сечением 2.5-4 мм²), длинный гвоздь (120-150 мм), мощные зажимы «крокодил», реостат на большой ток или второй БП для стабилизации тока, защитные очки, негорючая подставка.
Возможное развитие проекта: Сравнение с другими металлами (нихром, вольфрам). Исследование зависимости от длины и толщины проводника. Создание простейшей лампы накаливания, поместив гвоздь в стеклянную колбу с инертной атмосферой.



Проектная работа №6

Тема: Исследование электропроводимости расплавленного стекла.
Цель проекта: Экспериментально изучить изменение электрических свойств стекла при переходе из твердого аморфного состояния в вязко-текучее (расплав).
Задачи:
Изучить теорию электропроводности диэлектриков и ионных проводников (электролитов).
Разработать безопасную методику измерения сопротивления стекла при высоких температурах.
Собрать установку для нагрева образца стекла и измерения его сопротивления.
Провести замеры сопротивления в диапазоне от комнатной температуры до температуры размягчения/плавления стекла (~700-900°C).
Проанализировать полученную зависимость и объяснить природу электропроводности расплавленного стекла.
Гипотеза: Твердое стекло при комнатной температуре будет обладать очень высоким сопротивлением (являться изолятором). При нагреве его сопротивление будет постепенно уменьшаться, а в расплавленном состоянии стекло станет проводником электрического тока за счет увеличения подвижности ионов натрия и калия в его составе.
Этапы работы:
1. **Подготовительный этап** (2-3 недели)
Выбор темы: Тема представляет собой серьезное экспериментальное исследование, требующее специального оборудования и понимания физики твердого тела.
Постановка проблемы: Является ли стекло абсолютным изолятором? Меняются ли его свойства при сильном нагреве, подобно солям?
Планирование: Проект высокой сложности и опасности. Необходимо: муфельная печь с диапазоном до 1000°C, термопара для точного измерения температуры, образцы стекла (стеклянные палочки или пластины), термостойкие электроды (платиновые или молибденовые проволоки), высокоомный омметр (мегаомметр) или мультиметр с функцией измерения больших сопротивлений, керамические изоляторы. Работа возможна только в специально оборудованной лаборатории под постоянным руководством.
2. **Проектировочный этап** (1-2 недели)
Теоретическое исследование: Строение аморфных диэлектриков. Природа электропроводности стекла: ионная проводимость, носители заряда – ионы щелочных металлов (Na^+, K^+). Зависимость подвижности ионов от температуры (экспоненциальный рост). Понятие температуры стеклования.

Разработка методики: Изготовление измерительной ячейки: два термостойких электрода закрепляются с двух сторон от образца стекла внутри муфельной печи. К электродам подключаются изолированные провода, выведенные наружу к омметру. Печь нагревается с заданной скоростью, через равные промежутки по температуре снимаются показания сопротивления.
Техника безопасности: Строжайшие меры. Работа с высокими температурами, риск ожогов, термического разрушения материалов. Обязательны термостойкие перчатки, защитные очки, халат. Электроды под напряжением только от омметра (низкое, безопасное). Четкий план действий на случай чрезвычайной ситуации.
3. **Практический этап** (1-2 недели под руководством)
Сборка установки: Монтаж электродов и образца в печи. Подключение термопары и измерительных проводов. Проверка изоляции.
Проведение эксперимента:
При комнатной температуре измерить начальное сопротивление (ожидаются сотни МОм или больше).
Включить печь, установить медленный нагрев (50-100°C/час).
Через каждые 50-100°C отключать печь на короткое время (для стабилизации температуры и избегания ЭДС от нагрева), измерять сопротивление образца.
Особенно тщательно снимать точки в области размягчения стекла (600-800°C).
Продолжить измерения до достижения явно текучего состояния (если позволяет конструкция).
Фиксация данных: Таблица: «Температура, T (°C) – Сопротивление, R (Ом) – Примечания (состояние образца)». Ведение подробного лабораторного журнала.
4. **Аналитический этап** (1-2 недели)
Обработка данных: Поскольку сопротивление меняется на несколько порядков, построить график в полулогарифмическом масштабе: lg(R) от 1/T (обратная температура в Кельвинах). Такое представление (график Аррениуса) характерно для процессов с термической активацией.
Анализ результатов: График lg(R) от 1/T должен представлять собой прямую линию в определенном диапазоне, что подтверждает ионный механизм проводимости с энергией активации. Сопротивление упадет на 5-7 порядков величины при нагреве до 800°C.
Выводы:
Твердое стекло – отличный диэлектрик.
При нагреве электропроводность стекла резко возрастает.
Проводимость имеет ионную природу и подчиняется закону Аррениуса.
Расплавленное стекло является проводником (электролитом).
Гипотеза подтвердилась.

Рефлексия: Проект исследовательского уровня. Основные сложности – технические: создание надежной измерительной ячейки, работа с высокими температурами, интерпретация данных. Ценность – получение собственной экспериментальной зависимости, иллюстрирующей глубокий физический принцип.

5. **Презентационный этап**

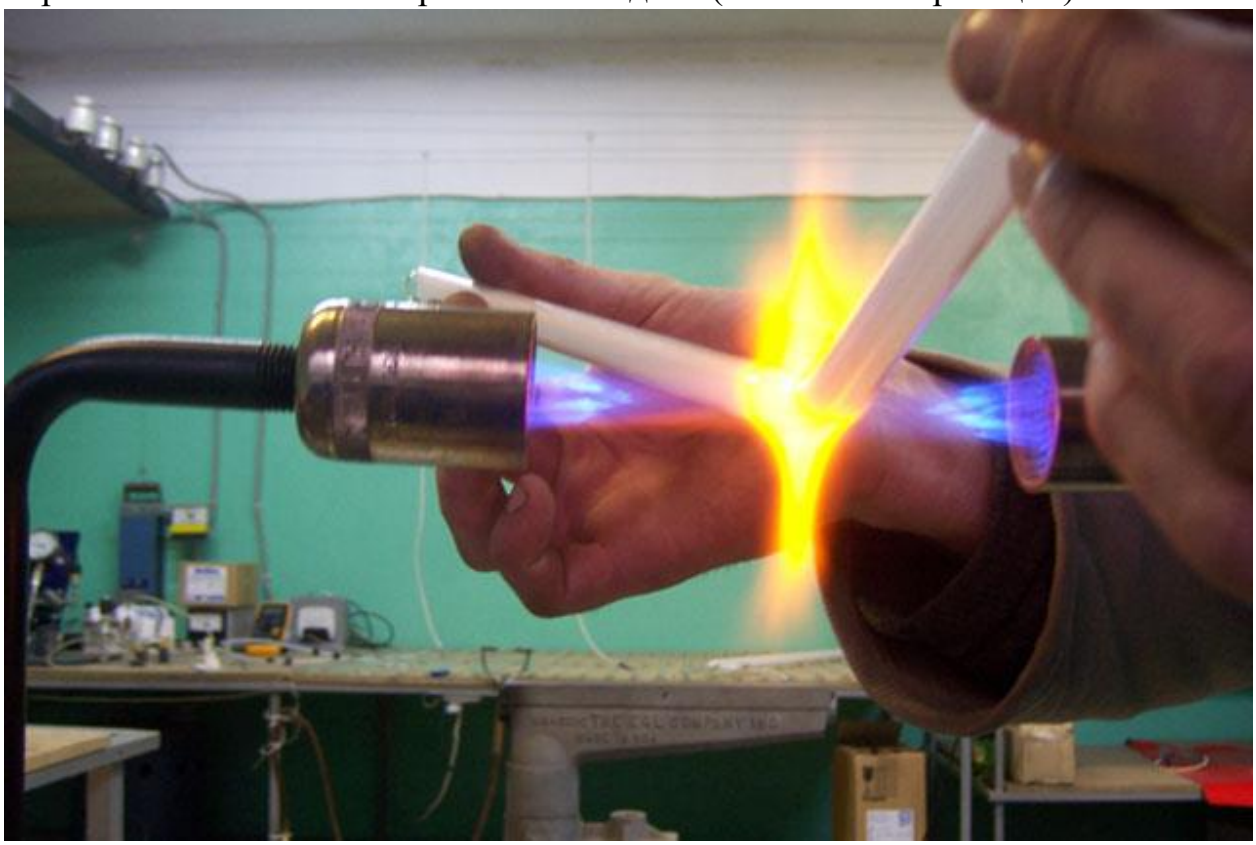
Оформление работы: Полноценный научный отчет с обзором литературы, подробным описанием экспериментальной установки, таблицами, графиками в логарифмическом масштабе и их физической интерпретацией.

Продукт: График зависимости сопротивления стекла от температуры (предпочтительно lg R от 1/T). Фотографии экспериментальной установки.

Защита: Доклад, представляющий проект как серьезное научное исследование, с объяснением использованных методов и значимости полученных результатов для понимания свойств материалов.

Необходимое оборудование и материалы: Муфельная печь (до 1000°C), термопара с показателем, образцы натрий-кальций-силикатного стекла, платиновая или молибденовая проволока (диаметр 0.5-1 мм), керамические изоляторы (трубки, бусы), мегаомметр или высокоомный мультиметр, термостойкие провода, средства индивидуальной защиты.

Возможное развитие проекта: Сравнение электропроводности стекол разного химического состава (кварцевое, свинцовое). Изучение влияния частоты переменного тока на измеряемый импеданс (явление поляризации).



Проектная работа №7

Тема: Анализ зависимости длины разряда от напряжения в трансформаторе Тесла.
Цель проекта: Установить количественную взаимосвязь между напряжением питания первичного контура катушки Тесла и максимальной длиной электрического разряда (стримера), который она может генерировать в воздухе.
Задачи:
Изучить принцип работы резонансного трансформатора Тесла, понятия вторичного напряжения, пробоя воздуха.
Собрать или использовать готовую катушку Тесла с регулируемым или измеряемым напряжением на первичной обмотке.
Разработать методику безопасного измерения длины разряда.
Провести серию экспериментов, фиксируя длину разряда при разных значениях входного напряжения.
Построить и проанализировать график зависимости, объяснить его форму.
Гипотеза: Существует прямая зависимость между напряжением на первичной обмотке катушки Тесла и длиной генерируемого разряда. С увеличением входного напряжения длина разряда будет возрастать, однако зависимость может быть нелинейной из-за сложной физики пробоя воздуха и потерь энергии.
Этапы работы:
1. **Подготовительный этап** (1-2 недели)
Выбор темы: Тема позволяет сочетать изучение радиотехники, высоковольтной техники и физики газового разряда, получая наглядный количественный результат.
Постановка проблемы: Что определяет, насколько длинной будет «молния» от катушки Тесла? Как эта длина зависит от мощности установки?
Планирование: Наличие рабочей катушки Тесла (самодельной SGTC или готовой мини-катушки). Необходимы: регулируемый источник питания для первички (ЛАТР, лабораторный БП) или возможность переключать отводы первичной катушки, вольтметр для измерения U_вх, линейка или рулетка, заземленный изолированный электрод (металлический шарик на деревянной/пластиковой ручке) для измерения длины, фотоаппарат.
2. **Проектировочный этап** (1 неделя)
Теоретическое исследование: Устройство катушки Тесла: первичный и вторичный контуры, тороид. Резонанс. Коэффициент трансформации. Напряжение на тороиде может достигать сотен кВ. Пробой воздуха: требуется напряженность поля около 3 кВ/мм для сухого воздуха, но для стримерных разрядов процесс сложнее.

Разработка методики: Питание катушки от регулируемого источника. Измерение U_вх вольтметром. Поднесение заземленного электрода к тороиду до возникновения стабильного разряда. Медленное отдаление электрода до момента, когда разряд перестает быть постоянным (прерывается). Измерение этого расстояния как максимальной длины разряда L_макс. Проведение 3-5 замеров для каждого значения U_вх.
Техника безопасности: Стандартные правила работы с катушкой Тесла: не прикасаться к разрядам, работать в сухом помещении, не размещать рядом электронику. Заземленный электрод держать только за изолирующую ручку.
3. **Практический этап** (1-2 недели)
Подготовка установки: Надежное заземление. Разметка шкалы на изолирующей ручке электрода или использование неподвижной линейки на некотором расстоянии.
Проведение эксперимента:
Установить минимальное U_вх, при котором катушка устойчиво работает.
Измерить L_макс для этого напряжения.
Увеличить U_вх на определенный шаг (например, на 10% от диапазона).
Повторить измерение L_макс.
Провести измерения для 5-7 значений U_вх в доступном диапазоне.
Фиксировать также влажность и температуру воздуха (по возможности).
Фиксация данных: Таблица: «Напряжение на первичке, U_вх (В) – Максимальная длина разряда, L_макс (см) – Среднее L_макс (см) – Примечания (характер разряда: тонкий/толстый, стабильный/прерывистый)».
Фотографии разрядов разной длины.
4. **Аналитический этап** (1 неделя)
Обработка данных: Расчет среднего значения L_макс для каждого U_вх.
Построение графика L_макс (U_вх). Попытка аппроксимации (линейной, степенной).
Анализ результатов: График, скорее всего, будет нелинейным. На малых напряжениях рост длины может быть медленным (порог пробоя), затем зависимость может приближаться к линейной или степенной, а на максимальных напряжениях снова замедляться из-за ограничений конструкции и увеличения потерь на излучение.
Выводы:
Длина разряда действительно зависит от напряжения питания первичного контура.
Зависимость носит возрастающий, но нелинейный характер.
Полученная экспериментальная кривая отражает совокупность факторов: рост вторичного напряжения, условия пробоя воздуха, энергетические потери.
Гипотеза подтвердилась.

Рефлексия: Трудность – в объективном определении момента «обрыва» разряда, что приводит к погрешности измерений. Важен учет влажности. Проект развивает навыки точного эксперимента в условиях высоких напряжений.

5. **Презентационный этап**

Оформление работы: Отчет с электрической схемой катушки, описанием методики измерений, таблицей, графиком и его анализом.

Продукт: График зависимости L_макс (U_вх), коллаж фотографий разрядов разной длины с подписями о соответствующем напряжении.

Защита: Презентация, демонстрирующая как эффектные фотографии, так и серьезный анализ количественных данных. Объяснение практического смысла зависимости (оценка мощности, безопасность).

Необходимое оборудование и материалы: Катушка Тесла с регулируемым входным напряжением, вольтметр, заземленный металлический электрод на длинной изолирующей ручке (дерево, пластик), рулетка или линейка, фотоаппарат.

Возможное развитие проекта: Исследование зависимости от формы и размера тороида. Измерение длины разряда в зависимости от частоты прерывания (для SGTC). Изучение влияния атмосферных условий (влажность).



Проектная работа №8

Тема: Анализ зависимости звука разряда от изменения частоты и силы тока на трансформаторе Тесла.
Цель проекта: Исследовать акустические характеристики разряда катушки Тесла и установить их связь с электрическими параметрами управления (частота и скважность импульсов в первичной цепи).
Задачи:
Изучить физику возникновения звука при искровом разряде (расширение плазменного канала, ударная волна).
Собрать управляемую катушку Тесла или модифицировать существующую для управления частотой и силой тока.
Разработать методику записи и анализа звука разряда.
Провести серию экспериментов, изменяя параметры управления и записывая звук.
Проанализировать аудиозаписи, определив зависимость частоты щелчков, их громкости и тембра от заданных параметров.
Гипотеза: Частота щелчков/треска разряда будет прямо определяться частотой импульсов в первичной цепи. Амплитуда звука (громкость) будет зависеть от силы тока (энергии, выделяемой в разряде). Изменение скважности импульсов повлияет на характер звучания (от дискретных щелчков до непрерывного треска).
Этапы работы:
1. **Подготовительный этап** (2-3 недели)
Выбор темы: Тема объединяет электротехнику и акустику, позволяя «услышать» параметры электрического разряда.
Постановка проблемы: Почему катушка Тесла щелкает или трещит? Можно ли по звуку судить о режиме ее работы?
Планирование: Требуется катушка Тесла с управляемым прерывателем (например, на основе таймера 555, микроконтроллера Arduino или готового модуля). Оборудование: микрофон (лучше конденсаторный), аудиоинтерфейс или осциллограф с возможностью записи, компьютер с ПО для анализа звука (Audacity, Spectrum Lab), измеритель тока в первичной цепи (токовые клещи или амперметр).
2. **Проектировочный этап** (1-2 недели)
Теоретическое исследование: Звук как продольная волна давления.
Механизм: при протекании огромного тока через узкий плазменный канал происходит его мгновенный нагрев и взрывное расширение, создающее акустическую ударную волну – щелчок. Частота следования щелчков задается прерывателем. Энергия разряда определяет амплитуду волны (громкость).

Разработка методики: Настройка генератора импульсов на разные частоты (например, 50, 100, 200, 500 Гц) и разную скважность. Для каждого режима: запись звука на микрофон, расположенный на фиксированном расстоянии; одновременная фиксация среднего тока в первичной цепи.
Техника безопасности: Работа с высоким напряжением. Микрофон и звуковая аппаратура должны быть надежно изолированы или удалены на безопасное расстояние.
3. **Практический этап** (1-2 недели)
Настройка оборудования: Калибровка расстояния микрофона (чтобы сигнал не зашкаливал). Проверка связи между настройками генератора и реальной частотой разрядов (можно по вспышкам).
Проведение эксперимента:
Установить частоту F_упр = 50 Гц, минимальную силу тока I_перв. Записать звук в течение 2-3 секунд.
Не меняя частоты, увеличить I_перв (регулировкой напряжения или сопротивления). Записать звук.
Повторить п.1-2 для других частот (100, 200 Гц).
При фиксированной частоте и токе изменить скважность импульсов (отношение длительности импульса к периоду). Записать звук.
Фиксация данных: Сохранение аудиофайлов с понятными именами (напр., «F50_I1.wav»). Таблица: «Частота управления, F_упр (Гц) – Сила тока в первичке, I_перв (А) – Скважность – Имя файла – Субъективная оценка (щелчки/треск, громко/тихо)».
4. **Аналитический этап** (2-3 недели)
Обработка данных: Анализ записей в Audacity. Для режимов с низкой частотой: подсчет количества щелчков за секунду на осциллограмме, сравнение с F_упр. Измерение амплитуды пиков щелчков. Для режимов с высокой частотой: спектральный анализ (БПФ) для определения доминирующих частот в сплошном треске.
Анализ результатов: Частота щелчков будет равна или кратна F_упр. Амплитуда пиков будет расти с увеличением I_перв. При высокой скважности и частоте отдельные щелчки сольются в треск, спектр которого будет смещен в высокочастотную область.
Выводы:
Звук разряда несет информацию о параметрах управления катушкой.
Частота щелчков линейно зависит от частоты прерывания.
Громкость щелчков зависит от энергии разряда, связанной с силой тока.
Тембр звука (дискретный щелчок vs сплошной треск) определяется скважностью и частотой.
Гипотеза подтвердилась.
Рефлексия: Сложность – в выделении полезного сигнала на фоне электрических помех от самой катушки. Проект требует навыков работы со

специализированным ПО. Дает глубокое междисциплинарное понимание явления.

5. **Презентационный этап**

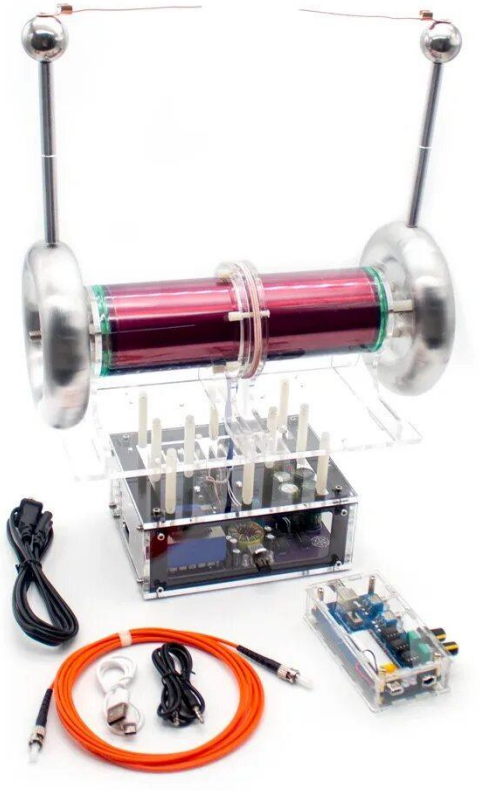
Оформление работы: Отчет с осциллограммами и спектрограммами ключевых режимов, таблицей, выводами.

Продукт: Подборка аудиозаписей, демонстрирующая эволюцию звука при изменении параметров. Визуализации (осциллограммы и спектрограммы).

Защита: Доклад с проигрыванием характерных звуков и показом их визуального представления на экране. Объяснение физики каждого типа звука.

Необходимое оборудование и материалы: Управляемая катушка Тесла с генератором импульсов, микрофон, аудиоинтерфейс или осциллограф с USB, компьютер с ПО для анализа звука, амперметр/токовые клещи.

Возможное развитие проекта: Исследование звука разряда разной геометрии (стример, искра, корона). Запись звука разными типами микрофонов (электретный, динамический). Попытка синтезировать звук разряда по заданным электрическим параметрам.



Проектная работа №9

Тема: Измерение радиуса эффективного электромагнитного поля, образуемого трансформатором Тесла.
Цель проекта: Экспериментально определить пространственные границы области, в которой высокочастотное электромагнитное поле катушки Тесла способно индуцировать заметные эффекты (зажигание газоразрядных ламп, наведение токов).
Задачи:
Изучить природу переменного электромагнитного поля, излучаемого тороидом катушки Тесла.
Выбрать чувствительный и наглядный индикатор поля (люминесцентная лампа).
Разработать методику измерения радиуса действия поля в разных направлениях.
Провести измерения максимального расстояния, на котором наблюдается эффект, построить диаграмму направленности.
Проанализировать форму полученной диаграммы и факторы, на нее влияющие.
Гипотеза: Интенсивность электромагнитного поля катушки Тесла будет убывать с расстоянием от тороида. Область эффективного воздействия будет иметь форму, близкую к сферической, но может быть искажена заземлением, формой тороида и окружающими предметами. Радиус действия будет разным для разных направлений.
Этапы работы:
1. **Подготовительный этап** (1 неделя)
Выбор темы: Проект развивает понимание распространения полей и навыки картографирования физических явлений.
Постановка проблемы: Насколько далеко «простирается» невидимая сила катушки Тесла? Какова форма этой зоны?
Планирование: Катушка Тесла, люминесцентная лампа-индикатор (неоновая или миниатюрная линейная), измерительная рулетка (3-5 м), штатив для лампы или помощник, компас для ориентации по сторонам света, лист бумаги для построения диаграммы.
2. **Проектировочный этап** (1 неделя)
Теоретическое исследование: Катушка Тесла как излучатель электромагнитных волн очень низкой частоты (десятки-сотни кГц). Тороид – емкостная нагрузка и антенна. Электрическая составляющая поля вызывает свечение лампы за счет наведения токов в газе. Теоретически поле точечного диполя убывает как $1/r^3$ в ближней зоне.
Разработка методики: Катушка устанавливается в центре условного круга. Индикаторная лампа перемещается по радиальным направлениям (например,

через 45°: Север, С-В, Восток и т.д.). Фиксируется расстояние, на котором свечение лампы становится едва заметным или исчезает. Это расстояние считается радиусом действия R_эфф в данном направлении.
Техника безопасности: Стандартные правила для работы с катушкой Тесла. Перемещаться с лампой осторожно, не задевая проводов.
3. **Практический этап** (1-2 недели)
Подготовка: Разметка на полу (или земле) лучей-направлений с помощью мела или маркеров. Установка катушки в центре.
Проведение эксперимента:
Включить катушку в стабильном режиме.
Взять лампу и, двигаясь по направлению на Север, отдаляться от катушки.
Зафиксировать расстояние R_С, на котором свечение пропадает.
Вернуться к центру, повторить для направления Северо-Восток (R_СВ).
Провести измерения по 8 или 16 направлениям.
Повторить эксперимент с лампой, ориентированной по-разному (вдоль поля, перпендикулярно).
Фиксация данных: Таблица: «Направление (азимут) – Радиус действия, R (см) – Яркость свечения на последней точке (ярко/слабо) – Примечания».
Схематическая зарисовка.
4. **Аналитический этап** (1 неделя)
Обработка данных: Перенос данных на полярную диаграмму (лепестковую диаграмму направленности). На лучах, соответствующих направлениям, откладываются в выбранном масштабе значения R.
Анализ результатов: Полученная диаграмма, скорее всего, не будет идеальным кругом. Могут быть вытянутые «лепестки» в сторону заземления или в направлении, где меньше металлических предметов. Область над тороидом может иметь больший радиус, чем у пола. Это объясняется влиянием земли (проводящей поверхности) и окружающих объектов на распределение поля.
Выводы:
Электромагнитное поле катушки Тесла имеет ограниченный радиус действия, измеряемый десятками сантиметров или метрами.
Распределение поля в пространстве не изотропно (не одинаково по всем направлениям).
На форму диаграммы направленности существенно влияют заземление и окружающая обстановка.
Гипотеза подтвердилась.
Рефлексия: Трудность – в субъективной оценке момента «исчезновения» свечения. Помехи от фонового света. Проект учит систематическому подходу к исследованию пространственных явлений.
5. **Презентационный этап**

Оформление работы: Отчет с теорией, описанием методики, таблицей и ключевым продуктом – построенной полярной диаграммой направленности.
Продукт: Наглядная лепестковая диаграмма (радиальная карта) поля катушки Тесла.
Защита: Презентация, в которой демонстрируется процесс измерений и итоговая диаграмма, с объяснением причин ее формы.
Необходимое оборудование и материалы: Катушка Тесла, люминесцентная индикаторная лампа, длинная рулетка (3-5 м), компас, маркеры для разметки, бумага для построения полярного графика.
Возможное развитие проекта: Сравнение диаграмм направленности для тороидов разной формы и размеров. Измерение радиуса для разных типов индикаторов (светодиод, радиоприемник). Попытка количественно оценить напряженность поля с помощью измерительной катушки и осциллографа.

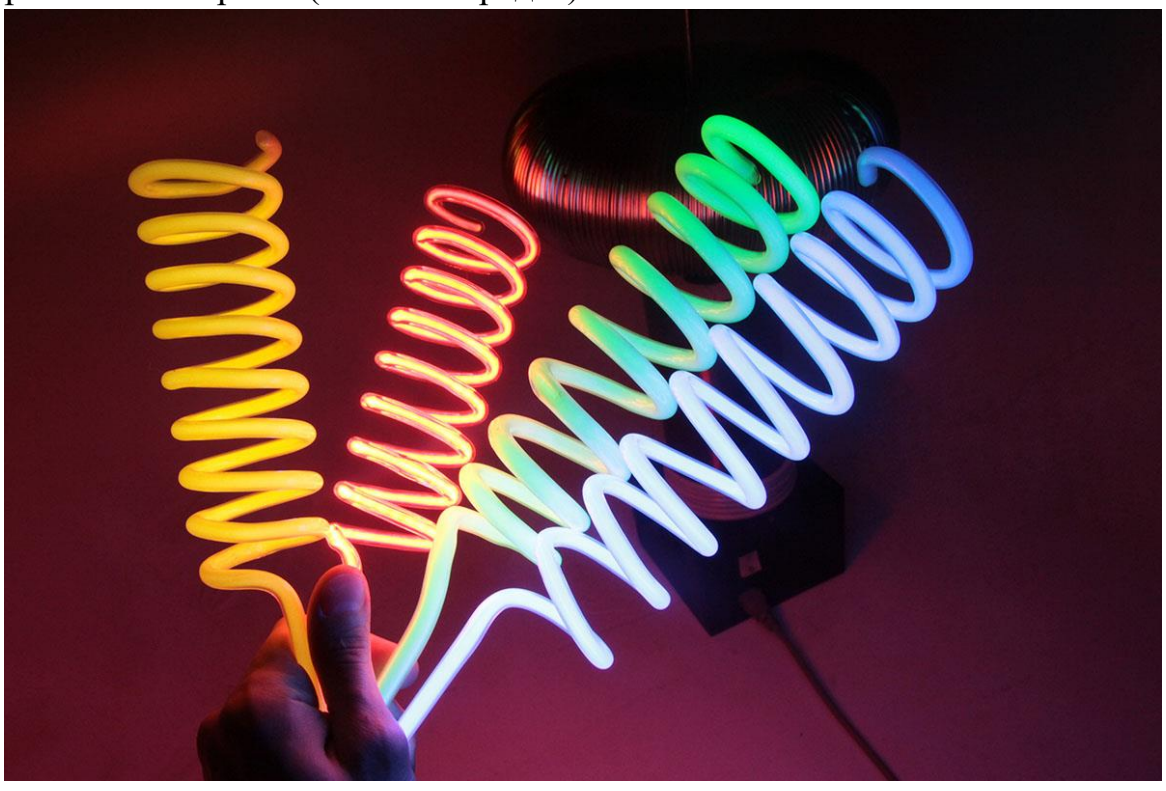


Проектная работа №10

Тема: Сравнение свечения газоразрядных ламп разного типа в электромагнитном поле трансформатора Тесла.
Цель проекта: Исследовать и сопоставить реакцию различных газоразрядных источников света на внешнее высокочастотное электромагнитное поле, объяснив различия составом газа, давлением и наличием люминофора.
Задачи:
Изучить принцип работы газоразрядных ламп, явление ионизации газа и люминесценции.
Собрать коллекцию газоразрядных ламп разного типа (неоновая, люминесцентная, энергосберегающая, натриевая ДНаТ (с осторожностью!)).
Разработать методику безопасного и сравнительного тестирования ламп в поле катушки Тесла.
Провести эксперимент, зафиксировав яркость, цвет, характер и равномерность свечения каждой лампы.
Проанализировать результаты, связав особенности свечения с внутренним устройством ламп.
Гипотеза: Разные типы газоразрядных ламп будут по-разному реагировать на поле Теслы. Лампы, не требующие для работы поджига (неоновые), будут светиться ярко и равномерно. Лампы с люминофором (дневного света) будут светиться за счет его возбуждения. Лампы высокого давления (ДНаТ) могут не зажечься или светиться неравномерно из-за условий ионизации.
Этапы работы:
1. **Подготовительный этап** (1-2 недели)
Выбор темы: Тема представляет собой наглядное сравнительное исследование, раскрывающее физику привычных источников света.
Постановка проблемы: Почогда к катушке Тесла подносят лампу дневного света, она светится. А что будет с другими «энергосберегайками» или неоновой вывеской?
Планирование: Подбор коллекции ламп: неоновая индикаторная (NE-2), линейная люминесцентная лампа (ЛД-20), компактная люминесцентная лампа (КЛЛ) , лампочка от solarium (УФ-А, строго в защитных очках!). Катушка Тесла, темное помещение, фотоаппарат для съемки в темноте, маркеры для подписей.
2. **Проектировочный этап** (1 неделя)
Теоретическое исследование: Газовый разряд: ионизация, пробой, свечение. Спектры излучения: неон (красный), аргон+ртуть+люминофор (белый), натрий (желтый). Устройство люминесцентной лампы: пары ртути, УФ-излучение, люминофор. Катушка Тесла создает достаточную напряженность поля для ионизации газа или возбуждения люминофора без штатной схемы запуска.

Разработка методики: Каждую лампу поочередно подносить к катушке (работающей в стабильном режиме) на одинаковое расстояние (например, 50 см). Фиксировать: загорается/нет, цвет свечения, яркость (субъективно), равномерность (вся лампа/часть). Особое внимание технике безопасности с УФ-лампой.
Техника безопасности: Не прикасаться к лампам во время работы катушки. УФ-лампу не направлять на людей и смотреть на нее только в защитных очках, блокирующих ультрафиолет. Лампы типа ДНаТ содержат пары натрия под высоким давлением, при повреждении опасны – работу с ними лучше исключить.
3. **Практический этап** (1 неделя)
Подготовка: Организация темного фона для съемки. Проверка работы катушки.
Проведение эксперимента:
Поднести неоновую лампу. Наблюдать яркое красное свечение по всей длине электродов.
Поднести линейную люминесцентную лампу. Наблюдать белое свечение люминофора по всей длине трубки.
Поднести компактную КЛЛ. Наблюдать свечение в виде отдельных дуг или по всей спирали.
С большой осторожностью и в защитных очках: поднести УФ-лампу. Наблюдать голубовато-фиолетовое свечение самой трубки (излучение ртути).
Для каждой лампы сделать фотографию с одинаковыми настройками камеры.
Фиксация данных: Таблица: «Тип лампы – Загорается (Да/Нет) – Цвет свечения – Яркость (высокая/средняя/низкая) – Характер свечения (равномерное/пятнами/дугами) – Фото». Запись наблюдений.
4. **Аналитический этап** (1 неделя)
Обработка данных: Создание фотоколлажа для наглядного сравнения.
Анализ таблицы.
Анализ результатов:
Неон: Светится ярко-красным, легко – низкое давление, низкий потенциал ионизации.
Люминесцентные: Светятся белым из-за люминофора, возбуждаемого УФ-излучением от ионизированных паров ртути внутри. Поле Теслы заменяет штатный пускорегулирующий аппарат.
УФ-лампа: Светится голубым (видимое излучение ртути) + невидимое УФ. Люминофора нет.
Общее: все лампы, содержащие газ/пары под низким давлением, зажигаются.
Выводы:
Высокочастотное поле катушки Тесла способно инициировать газовый разряд в лампах без их подключения к электрической сети.

Цвет свечения определяется составом газа (неон) или люминофора (ртутные лампы).
Разный характер свечения (равномерность) связан с конструкцией лампы и распределением поля внутри нее.
Гипотеза подтвердилась.
Рефлексия: Проект эффектен и информативен. Главный риск – работа с УФ-излучением, требующая дисциплины. Понимание устройства ламп перестает быть абстрактным.
5. **Презентационный этап**
Оформление работы: Отчет с теорией газового разряда, описанием каждого типа ламп, сравнительной таблицей и выводами.
Продукт: Фотоколлаж со свечением всех исследованных ламп в поле катушки Тесла. Сами лампы с подписями.
Защита: Доклад с демонстрацией свечения 1-2 наиболее безопасных ламп (неоновой и КЛЛ) и показом фотоколлажа. Объяснение различий.
Необходимое оборудование и материалы: Катушка Тесла, коллекция газоразрядных ламп (неоновая, линейная люминесцентная, компактная люминесцентная), защитные очки от УФ-излучения, темное помещение, фотоаппарат.
Возможное развитие проекта: Исследование зависимости яркости свечения от расстояния до катушки для разных ламп. Спектральный анализ свечения (если есть спектрограф). Изучение возможности зажигания ламп через различные экраны (клетка Фарадея).



Проектная работа №11

Тема: Изучение принципа действия клетки Фарадея на примере трансформатора Тесла.
Цель проекта: Экспериментально продемонстрировать и исследовать эффект электростатического экранирования с помощью самодельной клетки Фарадея под воздействием высокочастотного поля катушки Тесла.
Задачи:
Изучить теорию электростатической индукции, скин-эффекта и принцип работы клетки Фарадея.
Сконструировать модель клетки Фарадея из различных материалов (металлическая сетка, сплошная фольга).
Использовать катушку Тесла в качестве источника сильного переменного электромагнитного поля.
Провести серию опытов по помещению различных индикаторов (люминесцентная лампа, радиоприемник) внутрь и снаружи клетки.
Проанализировать эффективность экранирования в зависимости от конструкции клетки и сделать выводы о практическом применении.
Гипотеза: Замкнутая проводящая оболочка (клетка Фарадея) будет эффективно экранировать внутреннее пространство от электрической составляющей высокочастотного поля катушки Тесла. Эффективность экранирования сетчатой клетки будет зависеть от размера ячейки относительно длины волны излучения.
Этапы работы:
1. **Подготовительный этап** (1 неделя)
Выбор темы: Тема объединяет фундаментальный физический принцип и зрелищный эксперимент, позволяя наглядно показать защиту от электромагнитных полей.
Постановка проблемы: Как защитить чувствительную электронику или человека от мощных электромагнитных полей? Почему микроволновая печь не излучает наружу?
Планирование: Составление списка оборудования: катушка Тесла (малой/средней мощности), материалы для клеток (алюминиевая фольга, металлическая сетка с разным размером ячейки, картон для каркаса), индикаторы (неоновая или люминесцентная лампа, портативный FM-радиоприемник), изолента, ножницы.
2. **Проектировочный этап** (1 неделя)
Теоретическое исследование: Явление электростатической индукции. Перераспределение зарядов на проводнике во внешнем поле. Скин-эффект – вытеснение переменного тока на поверхность проводника. Условие эффективного экранирования: толщина материала >> глубина скин-слоя, размер отверстий << длины волны.

Разработка методики: Изготовление двух клеток: 1) из сплошной фольги (без зазоров), 2) из крупной сетки (ячейка > 1 см). План эксперимента: наблюдать за свечением лампы и помехами в радиоприемнике в трех положениях: вне клетки, внутри цельной клетки, внутри сетчатой клетки.
Техника безопасности: Соблюдение правил работы с катушкой Тесла (не прикасаться к разрядам, работать в сухом помещении). Клетка не должна иметь острых краев.
3. **Практический этап** (1-2 недели)
Изготовление клеток: Создание картонных каркасов кубической формы с последующей их оклейкой фольгой или обтягиванием сеткой. Важно обеспечить хороший электрический контакт на стыках граней.
Проведение эксперимента:
Включить катушку Тесла. Убедиться, что лампа загорается в поле, а в радиоприемнике слышны сильные помехи.
Поместить лампу внутрь клетки из сплошной фольги и закрыть ее. Поднести к катушке. Фиксировать: свечение отсутствует.
Поместить лампу внутрь клетки из крупной сетки. Поднести к катушке. Фиксировать: слабое свечение, особенно вблизи сетки.
Повторить п.2-3 с радиоприемником, оценивая уровень помех.
Дополнительный опыт: Сделать в цельной клетке большое отверстие (>10 см) и наблюдать появление свечения лампы напротив этого отверстия.
Фиксация данных: Ведение журнала с зарисовками и описаниями. Таблица: «Тип клетки / Наличие отверстия – Свечение лампы (ярко/слабо/нет) – Помехи в радио (сильные/слабые/нет) – Фото».
4. **Аналитический этап** (1 неделя)
Обработка данных: Систематизация наблюдений, подготовка сравнительных фотоколлажей.
Анализ результатов: Цельная проводящая оболочка полностью экранировала поле. Крупная сетка экранировала хуже из-за того, что размер ячейки был сравним с длиной волны поля Теслы (порядка метров). Большое отверстие в цельной оболочке стало «слабым местом», куда проникало поле.
Выводы:
Клетка Фарадея действительно защищает от внешних электростатических и высокочастотных полей.
Эффективность экранирования зависит от целостности проводящего слоя и размера отверстий.
Для экранирования полей с большей длиной волны (НЧ) можно использовать сетку, для полей с малой длиной волны (ВЧ, СВЧ) нужен сплошной экран.
Гипотеза подтвердилась полностью.
Рефлексия: Трудность – создание клетки с идеальным контактом всех сторон. Успех – наглядная демонстрация принципа, лежащего в основе работы

микроволновых печей, экранированных кабелей и Faraday bags для защиты электроники.

5. **Презентационный этап**

Оформление работы: Отчет с объяснением теории, схемами клеток, таблицей результатов и выводами.

Продукт: Демонстрационные модели клеток Фарадея, видеозапись ключевых экспериментов (лампочка гаснет внутри клетки).

Защита: Презентация с живой демонстрацией эффекта экранирования, объяснением практической пользы в современных технологиях.

Необходимое оборудование и материалы: Катушка Тесла, алюминиевая фольга, металлическая сетка (например, москитная), картон, скотч, неоновая индикаторная лампа, FM-радиоприемник.

Возможное развитие проекта: Исследование эффективности экранирования разными материалами (фольга, медная лента), изучение влияния заземления клетки, попытка экранировать магнитную составляющую поля (что гораздо сложнее).



Проектная работа №12

Тема: Анализ магнитных свойств алюминия при движении постоянного магнита (явление вихревых токов).
Цель проекта: Исследовать эффект магнитного торможения, возникающий при движении постоянного магнита вблизи немагнитного, но проводящего материала (алюминия), и объяснить его природу.
Задачи:
Изучить теорию электромагнитной индукции (закон Фарадея-Ленца) и понятие вихревых токов Фуко.
Создать установку для демонстрации замедления падения магнита в алюминиевой трубке.
Провести сравнительные эксперименты с трубками из разных материалов (алюминий, медь, пластик, стекло).
Измерить время падения магнита в различных трубках.
Проанализировать зависимость силы торможения от электропроводности материала трубки и силы магнита.
Гипотеза: При падении сильного неодимового магнита внутри алюминиевой трубки его движение будет заметно замедлено по сравнению с падением в немагнитной и непроводящей трубке (пластиковой) из-за возникновения вихревых токов, создающих противоположное магнитное поле.
Этапы работы:
1. **Подготовительный этап** (5-7 дней)
Выбор темы: Явление наглядно, красиво и демонстрирует фундаментальный закон физики на простом опыте.
Постановка проблемы: Почему мощный магнит падает внутри медной или алюминиевой трубки так медленно, словно в густом меду, хотя эти металлы не магнитятся?
Планирование: Поиск и подготовка трубок одинаковой длины (30-50 см) и диаметра (на 5-10 мм больше магнита): алюминиевая, пластиковая, стеклянная. Приобретение нескольких неодимовых магнитов цилиндрической формы разной силы. Секундомер или приложение для видеосъемки с замедленной съемкой для точного замера времени.
2. **Проектировочный этап** (1 неделя)
Теоретическое исследование: Закон электромагнитной индукции: изменяющееся магнитное поле порождает вихревое электрическое поле, которое вызывает ток в проводнике. Правило Ленца: индукционный ток всегда направлен так, чтобы противодействовать причине, его вызвавшей. Вихревые токи (токи Фуко) и их преобразование в тепловую энергию.
Разработка методики: Трубка устанавливается вертикально. Магнит сбрасывается строго по оси. Измеряется время его полного прохождения. Каждый опыт повторяется 5-7 раз для усреднения. План: сравнить время

падения в алюминиевой и пластиковой трубке, затем проверить зависимость от силы магнита.
Техника безопасности: Осторожность при работе с сильными неодимовыми магнитами (риск защемления кожи, повреждения электроники). Трубки должны быть надежно закреплены.
3. **Практический этап** (1-2 недели)
Подготовка установки: Закрепление трубок в штативе или вертикальном держателе строго вертикально. Разметка верхней и нижней точки для точного старта и финиша.
Проведение эксперимента:
Контрольный опыт: сбросить магнит в пластиковую трубку, замерить время падения (t_пласт).
Основной опыт: сбросить тот же магнит в алюминиевую трубку, замерить время (t_ал).
Повторить п.1-2 для другого магнита (сильнее/слабее).
Дополнительно: Попробовать трубку из меди (если есть), наблюдать еще более сильное торможение.
Фиксация данных: Таблица: «Материал трубки – Сила магнита (можно обозначить №1, №2) – Время падения, с (среднее из N попыток) – Отношение t_ал / t_пласт». Видеосъемка опытов.
4. **Аналитический этап** (1 неделя)
Обработка данных: Расчет среднего времени и стандартного отклонения для каждой серии. Построение столбчатой диаграммы «Время падения vs Материал трубки».
Анализ результатов: Время падения в алюминиевой трубке в 2-5 раз больше, чем в пластиковой. Более сильный магнит тормозится сильнее. В медной трубке (если была) торможение максимально (медь имеет лучшую проводимость).
Выводы:
Наблюдаемый эффект является прямым следствием закона электромагнитной индукции.
В алюминиевой трубке при движении магнита возникают вихревые токи, магнитное поле которых противодействует движению магнита (правило Ленца).
Сила торможения зависит от проводимости материала и скорости изменения магнитного потока (силы магнита).
Гипотеза подтвердилась.
Рефлексия: Ключевой успех – получение количественных данных. Трудность – обеспечение точного старта магнита без начальной скорости и его ориентации (магнит-диск может вращаться, что влияет на результат).
5. **Презентационный этап**

Оформление работы: Отчет с теоретическим обоснованием, таблицами, графиками, кадрами из видео.
Продукт: Видеоролик с замедленной съемкой, наглядно сравнивающий падение в разных трубках. Сами трубки с магнитами для демонстрации.
Защита: Доклад с демонстрацией эффекта и объяснением его связи с важными технологиями (магнитные тормоза в поездах, велотренажерах, балансировка дисков).
Необходимое оборудование и материалы: Алюминиевая трубка (длина ~40 см, внутренний диаметр ~15 мм), пластиковая трубка аналогичных размеров, неодимовые магниты-цилиндры (2-3 шт. разного размера), штатив с лапкой для зажима, секундомер, видеокамера (смартфон) с возможностью замедленной съемки.
Возможное развитие проекта: Исследование зависимости времени падения от толщины стенки трубки, от диаметра магнита, от наличия прорезей вдоль трубки (прерывание вихревых токов). Попытка измерить нагрев трубки от токов Фуко.



Проектная работа №13

Тема: Исследование эвтектического сплава Розе и его компонентов по отдельности.
Цель проекта: Познакомиться с понятием эвтектики на примере сплава Розе (висмут-свинец-олово-кадмий), изучить его уникальное свойство – низкую температуру плавления, и сравнить его со свойствами чистых металлов.
Задачи:
Изучить теорию фазовых диаграмм, понятия «эвтектика», «температура плавления сплава».
Приобрести или самостоятельно приготовить (с соблюдением строжайшей безопасности!) небольшое количество сплава Розе.
Определить температуру плавления сплава Розе и сравнить ее с температурами плавления его компонентов (теоретически).
Провести демонстрационные опыты, показывающие низкую температуру плавления сплава (плавление в горячей воде, отливка простых фигур).
Изучить и сравнить внешний вид, плотность, хрупкость сплава и его компонентов.
Гипотеза: Эвтектический сплав Розе будет плавиться при температуре значительно более низкой, чем любой из его компонентов в отдельности (примерно при 70-95°C), что позволит легко демонстрировать его плавление в кипятке.
Этапы работы:
1. **Подготовительный этап** (1-2 недели)
Выбор темы: Тема интересна как демонстрация того, как химический состав радикально меняет физические свойства.
Постановка проблемы: Почему некоторые сплавы плавятся при температуре ниже, чем исходные металлы? Как это используется на практике?
Планирование: ВАЖНО: сплав содержит свинец и кадмий – токсичные металлы. Работа с ним допустима ТОЛЬКО под руководством опытного педагога в химической лаборатории с вытяжкой, в перчатках и очках. Лучше приобрести готовый сплав в виде слитка или шариков у специализированных поставщиков для учебных целей. Оборудование: термометр до 150°C, электроплитка или водяная баня, металлическая ложка или тигель, форма для отливки (например, ложка), весы.
2. **Проектировочный этап** (1 неделя)
Теоретическое исследование: Понятие сплава. Фазовые диаграммы «состав-температура». Эвтектическая точка – состав с минимальной температурой плавления. Компоненты сплава Розе: Bi, Pb, Sn, Cd, их свойства и температуры плавления (Bi-271°C, Pb-327°C, Sn-232°C, Cd-321°C). Температура плавления сплава Розе ~94°C (для классического состава) или даже ~70°C (для некоторых модификаций).

Разработка методики: Определение температуры плавления методом фиксации момента полного расплавления маленького шарика сплава в стакане с нагреваемой водой, в которую погружен термометр.
Техника безопасности: Критический раздел. Запрещено вдыхать пары, принимать пищу, трогать лицо руками. Все работы – в перчатках и очках. После работы – тщательное мытье рук. Хранение сплава в герметичной таре с маркировкой.
3. **Практический этап** (1 неделя под руководством)
Подготовка: Организация рабочего места в вытяжном шкафу. Приготовление водяной бани.
Проведение эксперимента:
Взвесить небольшой шарик сплава (1-2 г).
Налить воду в стакан, поставить на плитку, начать нагрев.
Погрузить шарик сплава и термометр в воду.
Зафиксировать температуру, при которой шарик теряет форму и превращается в каплю (T_плавл).
Продемонстрировать заливку расплава в холодную металлическую ложку – он мгновенно затвердевает.
Сравнить внешний вид сплава (серый, матовый) и чистых металлов (если есть образцы).
Фиксация данных: Фотографии процесса. Запись измеренной температуры плавления. Зарисовки или фото кристаллической структуры на изломе (сплав хрупкий).
4. **Аналитический этап** (1 неделя)
Обработка данных: Сравнение табличных температур плавления компонентов и полученного результата.
Анализ результатов: Измеренная температура плавления сплава (около 90-100°C) оказалась в 2.5-3 раза ниже, чем у самого легкоплавкого компонента (олова, 232°C). Это и есть проявление эвтектического эффекта.
Выводы:
Эвтектический сплав – это не просто смесь, а особая фаза с уникальными свойствами.
Сплавы могут иметь температуру плавления, гораздо более низкую, чем исходные компоненты.
Сплав Розе плавится в кипящей воде, что подтверждает гипотезу.
Такие сплавы используются в предохранителях, припоях для чувствительных компонентов, в качестве теплоносителей.
Рефлексия: Проект требует строжайшего соблюдения ТБ. Главный результат – понимание фундаментального принципа материаловедения на ярком примере.
5. **Презентационный этап**

Оформление работы: Отчет с особым акцентом на меры безопасности, теоретическое объяснение эвтектики, фотоотчет.
Продукт: Видеозапись опыта плавления сплава в стакане с горячей водой. Образцы сплава в твердом и (на фото) жидком состоянии.
Защита: Доклад с демонстрацией плавления сплава (если позволяет организация защиты) или показом видео. Объяснение практической значимости.
Необходимое оборудование и материалы: Образец сплава Розе (приобретенный готовый), электроплитка, стеклянный стакан, термометр (до 150°C), металлическая ложка, средства индивидуальной защиты (перчатки, очки), вытяжной шкаф.
Возможное развитие проекта: Изучение других легкоплавких сплавов (сплав Вуда, сплав Липовица). Исследование зависимости температуры плавления от состава для бинарной системы (например, олово-висмут).

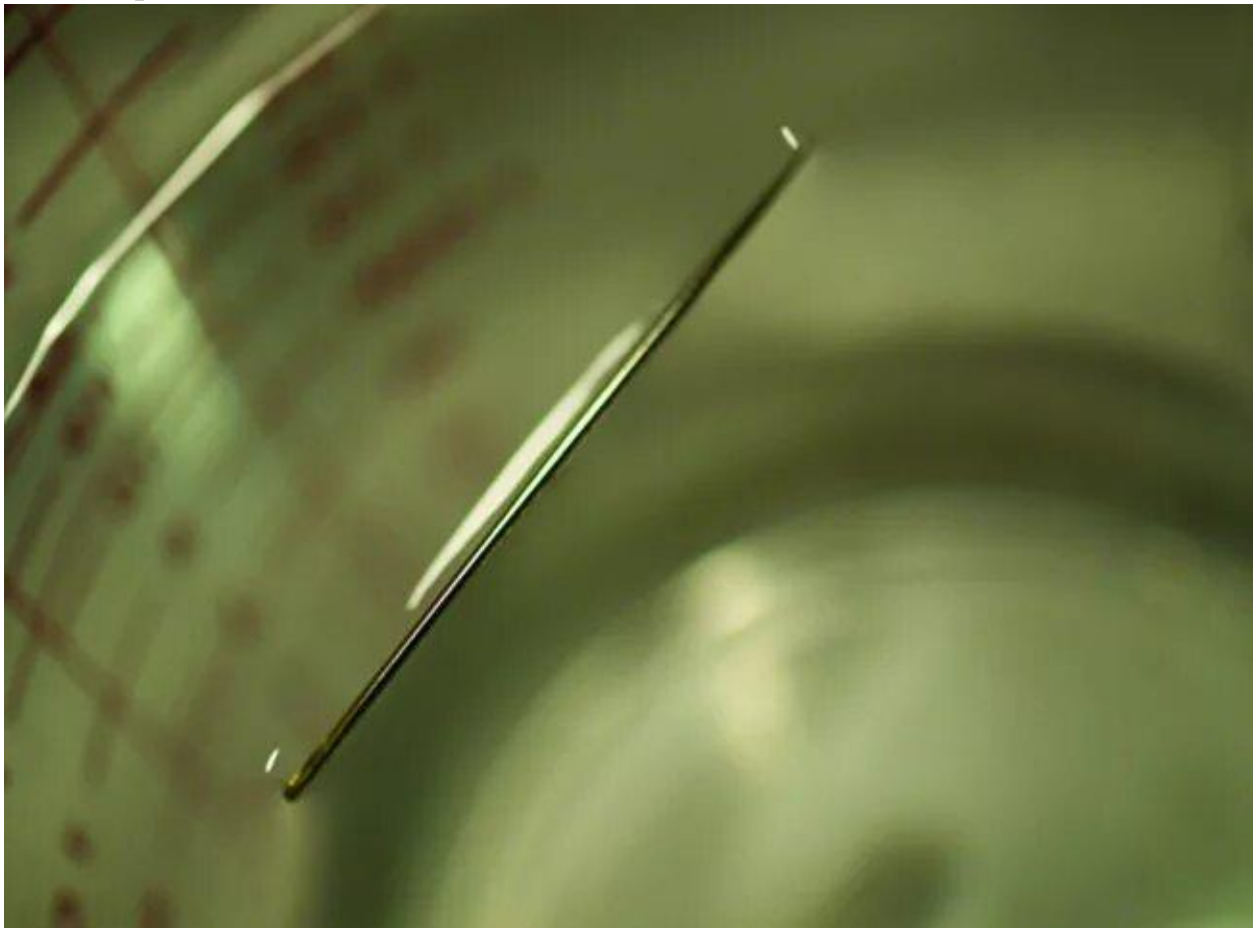


Проектная работа №14

Тема: Изучение влияния магнитных свойств планеты на иголку в воде (создание простейшего компаса и исследование его работы).
Цель проекта: Сконструировать простейший жидкостной компас и экспериментально исследовать факторы, влияющие на его способность ориентироваться в магнитном поле Земли.
Задачи:
Изучить природу магнитного поля Земли, понятие магнитных полюсов и силовых линий.
Изготовить несколько моделей жидкостных компасов из подручных материалов.
Проверить их работоспособность и точность ориентации.
Исследовать, какие факторы мешают работе компаса (близость металлов, других магнитов, несимметричность конструкции).
Сравнить точность самодельного компаса с промышленным.
Гипотеза: Намагниченная швейная игла, помещенная на плавающую опору в сосуд с водой, будет устойчиво ориентироваться вдоль линии «север-юг» благодаря взаимодействию с магнитным полем Земли. На точность ориентации будет влиять степень намагниченности иглы и отсутствие помех.
Этапы работы:
1. **Подготовительный этап** (3-5 дней)
Выбор темы: Проект позволяет на практике прикоснуться к геофизике и понять работу одного из древнейших навигационных приборов.
Постановка проблемы: Как можно определить направление на Север без современного GPS, используя только знания о Земле?
Планирование: Подбор материалов: швейные иглы, мощный неодимовый магнит, пробка или пенопласт, неглубокая широкая емкость (блюдце, крышка), вода, промышленный компас для сверки.
2. **Проектировочный этап** (3-5 дней)
Теоретическое исследование: Магнитное поле Земли: магнитные полюса, магнитное склонение. Намагничивание ферромагнетиков. Взаимодействие магнитной стрелки с полем. Конструкция жидкостного компаса: уменьшение трения за счет плавучести.
Разработка методики: 1) Намагничивание иглы одним концом к северному полюсу магнита. 2) Закрепление иглы на кусочке пробки (проткнуть или приклеить). 3) Налить воду в емкость, дать устояться. 4) Аккуратно опустить пробку с иглой на воду. 5) После успокоения, определить, какой конец иглы указывает на Север (с помощью заводского компаса).
Техника безопасности: Осторожность при работе с иглами и магнитами.
3. **Практический этап** (5-7 дней)

Изготовление компасов: Создание 2-3 моделей: с разными иглами, разными способами крепления (поперек пробки, вдоль).
Проведение эксперимента:
Калибровка: с помощью промышленного компаса пометить, какой конец самодельной стрелки указывает на Север.
Проверить устойчивость: слегка повернуть пробку, дать ей установиться. Зафиксировать, возвращается ли она в исходное положение.
Исследование помех: Поднести сбоку на расстояние 10-20 см металлический предмет (ножницы), другой магнит. Наблюдать отклонение стрелки.
Проверить работу в разных местах (в центре комнаты, у окна, на бетонном полу).
Фиксация данных: Зарисовки или фото итогового положения стрелок.
Таблица помех: «Возмущающий объект – Расстояние – Угол отклонения стрелки». Оценка времени установления равновесия.
4. **Аналитический этап** (5-7 дней)
Обработка данных: Определение среднего направления, которое показывает самодельный компас. Оценка погрешности (в градусах) по сравнению с эталоном.
Анализ результатов: Хорошо намагниченная игла на легкой, симметричной опоре четко ориентируется. Близость металла/магнита вызывает сильные отклонения, что доказывает, что стрелка реагирует именно на магнитные поля.
Выводы:
Магнитное поле Земли достаточно сильное, чтобы ориентировать небольшую магнитную стрелку.
Конструкция жидкостного компаса эффективно уменьшает трение.
Работе компаса мешают локальные магнитные поля, создаваемые ферромагнитными предметами.
Гипотеза подтвердилась: созданный прибор работает как компас.
Рефлексия: Важным оказался симметричный дизайн поплавка, чтобы игла лежала горизонтально. Проект развивает навыки конструирования и понимание природных явлений.
5. **Презентационный этап**
Оформление работы: Отчет с теорией, инструкцией по изготовлению, результатами тестов на помехи.
Продукт: Действующая модель жидкостного компаса, демонстрационная установка для показа влияния помех (магнит под столом).
Защита: Демонстрация работы компаса, объяснение принципа и факторов, влияющих на точность.
Необходимое оборудование и материалы: Швейные иглы, неодимовый магнит, пробка или тонкий пенопласт, неглубокая пластиковая емкость, вода, промышленный компас, линейка.

Возможное развитие проекта: Исследование зависимости точности от длины магнитной стрелки. Попытка измерить горизонтальную составляющую магнитного поля Земли (сложно). Создание «живого» компаса, вскрыв стебель растения и поместив в него магнитные наночастицы.



Проектная работа №15

Тема: Изучение особенностей строения черепов млекопитающих (сравнительно-анатомическое исследование).
Цель проекта: Провести сравнительный анализ строения черепов млекопитающих, относящихся к разным экологическим группам (хищники, грызуны, приматы), и выявить связь между особенностями строения и образом жизни.
Задачи:
Изучить общий план строения черепа млекопитающих, основные кости и их функции.
Подобрать или создать сравнительную коллекцию черепов (реплики, 3D-модели, качественные фотографии) как минимум трех видов: хищник (собака/кошка), грызун (крыса/белка), приматообразное (обезьяна/человек).
Провести морфометрические измерения (длина лицевого/мозгового отдела, размер глазниц, характер зубной системы).
Проанализировать полученные данные, связав особенности строения со способом питания, обоняния, зрения и типом передвижения.
Сделать выводы о влиянии образа жизни на эволюцию формы черепа.
Гипотеза: Черепа выбранных животных будут существенно различаться: у хищника будут мощные клыки и развитые скуловые дуги; у грызуна – крупные резцы и массивные челюсти; у примата – крупная мозговая коробка и глаза, направленные вперед.
Этапы работы:
1. **Подготовительный этап** (1-2 недели)
Выбор темы: Тема лежит на стыке биологии, анатомии и эволюции, развивает навыки наблюдения и сравнения.
Постановка проблемы: Почему черепа волка, бобра и обезьяны выглядят по-разному? Как форма черепа связана с тем, чем животное питается и как воспринимает мир?
Планирование: Поиск источников для сравнения. Идеально – 3D-модели черепов на сайтах музеев или качественные таксидермические реплики.
Подготовка измерительного инструмента (циркуль-измеритель, линейка, транспортир для углов), фотоаппарата.
2. **Проектировочный этап** (1 неделя)
Теоретическое исследование: Анатомия черепа: мозговой и лицевой отделы. Типы зубов (резцы, клыки, премоляры, моляры) и их функции. Особенности: сагиттальный гребень (для крепления жевательных мышц), посторбитальная перегородка, размер и положение глазниц, форма черепной коробки.
Разработка методики: Составление таблицы для сравнения. Параметры: 1) Общая форма. 2) Соотношение длины лицевого отдела к мозговому. 3)

Размер и положение глазниц. 4) Наличие/отсутствие сагиттального гребня. 5) Характер зубной системы (какие зубы развиты сильнее).
Техника безопасности: При работе с настоящими (остеологическими) образцами использовать перчатки, мыть руки. 3D-модели и реплики безопасны.
3. **Практический этап** (2-3 недели)
Сбор материала: Создание коллекции изображений/моделей выбранных черепов с разных ракурсов (вид сбоку, сверху, снизу).
Проведение исследования:
Для каждого черепа зарисовать или сфотографировать общий вид.
Провести измерения (например, длину от кончика носовых костей до затылка (L1) и длину мозговой коробки (L2), вычислить соотношение L1/L2).
Внимательно изучить и описать зубную систему, сделать зарисовки зубных рядов.
Отметить другие особенности: форма скуловых дуг, размер слуховых булл (у грызунов).
Фиксация данных: Заполнение сравнительной таблицы. Создание фототаблицы или коллажа для наглядного сравнения.
4. **Аналитический этап** (1-2 недели)
Обработка данных: Анализ таблицы, расчет соотношений.
Анализ результатов:
Хищник: Длинный лицевой отдел, большие клыки, режущие хищные зубы (P4/M1), мощные скуловые дуги. Связь: хватание и разрывание добычи.
Грызун: Огромные, постоянно растущие резцы, диастема (промежуток), массивные челюсти. Связь: грызение.
Приматообразное: Короткий лицевой отдел, крупная округлая мозговая коробка, глазницы направлены впewards (бинокулярное зрение), зубы универсальные. Связь: сложное поведение, всеядность, стереоскопическое зрение.
Выводы:
Строение черепа тесно связано с экологической нишей животного.
Форма и размеры челюстей и зубов прямо отражают тип питания.
Развитие мозгового отдела коррелирует с уровнем развития высшей нервной деятельности.
Гипотеза подтвердилась, различия носят ярко выраженный адаптивный характер.
Рефлексия: Проект требует усидчивости и внимательности. Интересно было находить менее очевидные черты (например, строение слуховых капсул). Работа похожа на труд настоящего палеонтолога или зоолога.
5. **Презентационный этап**
Оформление работы: Научный отчет с подробными описаниями, зарисовками, фото и итоговой таблицей.

Продукт: Сравнительная таблица-плакат с изображениями черепов и подписями ключевых адаптаций. Коллекция 3D-моделей (если создавались).
Защита: Презентация, построенная как экскурсия в сравнительную анатомию, с наглядным сравнением и объяснением «формы и функции».
Необходимое оборудование и материалы: Изображения или 3D-модели черепов (собака/лиса, крыса/бобр, макака/гиббон), измерительные инструменты (циркуль, линейка), бумага для зарисовок, фотоаппарат, компьютер для обработки изображений.
Возможное развитие проекта: Изучение черепов других групп (копытные, насекомоядные). Фокус на эволюции черепа человека. Палеонтологическая реконструкция мягких тканей по черепу.



Проектная работа №16

Тема: Изучение явления биолюминесценции на примере реакции люциферина и люциферазы.
Цель проекта: Экспериментально исследовать явление биолюминесценции in vitro, воспроизведя химическую реакцию с использованием коммерческого набора реагентов, и изучить факторы, влияющие на ее интенсивность и кинетику.
Задачи:
Изучить биохимические основы биолюминесценции, роль АТФ как источника энергии и каталитическую функцию люциферазы.
Приобрести готовый набор для демонстрации биолюминесценции (на основе люциферазы светлячка).
Провести базовую реакцию, качественно и количественно (при возможности) зафиксировав параметры свечения.
Исследовать влияние внешних факторов (температура, pH среды) на ход реакции.
Сделать выводы об условиях, оптимальных для проявления биолюминесценции, и объяснить их с точки зрения энзимологии.
Гипотеза: Реакция окисления люциферина, катализируемая ферментом люциферазой в присутствии АТФ, кислорода и ионов магния, будет сопровождаться испусканием квантов света (голубовато-зеленое свечение). Понижение температуры замедлит реакцию, увеличив длительность свечения, но снизив его пиковую интенсивность. Изменение pH среды от оптимального (около 7.5-8.0) снизит активность фермента.
Этапы работы:
1. **Подготовительный этап** (1-2 недели)
Выбор темы: Тема объединяет биохимию, молекулярную биологию и удивительное природное явление «холодного света», лежащее в основе современных биотехнологий.
Постановка проблемы: Как светлячки и некоторые медузы излучают свет, почти не выделяя тепла? Можно ли воссоздать этот «живой свет» в пробирке и управлять им?
Планирование: Поиск и заказ коммерческого набора для биолюминесценции (часто называется «Набор Светлячок» или «Luciferase Assay System»).
Подготовка оборудования: абсолютно темное помещение или светонепроницаемая коробка, пробирки или планшеты для опытов, микропипетки или точные шприцы, термостат или водяная баня с термометром, буферные растворы с разным pH (6.0, 7.0, 8.0, 9.0), фотоаппарат с возможностью длительной выдержки, секундомер.
2. **Проектировочный этап** (1 неделя)

Теоретическое исследование: Биолюминесценция как частный случай хемилюминесценции. Схема реакции: Люциферин + ATP + O_2 → (Люцифераза, Mg^{2+}) → Оксилюциферин + CO_2 + AMP + PPi + СВЕТ (λ~560 нм). Роль АТФ как источника энергии для активации люциферина. Зависимость активности ферментов (люциферазы) от температуры и pH (колоколообразная кривая с оптимумом).
Разработка методики: Точное следование инструкции к набору для базового опыта. Для исследования температуры: предварительная инкубация реакционных смесей при 4°C (лед), 20°C (комната), 37°C (водяная баня) в течение 5 минут, затем быстрое смешивание компонентов и наблюдение в темноте. Для исследования pH: использование разных буферных растворов для приготовления рабочей смеси люциферазы.
Техника безопасности: Работа с биохимическими реагентами – в перчатках. Реагенты, как правило, нетоксичны, но могут вызывать раздражение. Избегать попадания в рот и глаза.
3. **Практический этап** (1-2 недели)
Подготовка: Организация полностью темного места для наблюдений (например, фотолаборатория или шкаф, обклеенный черной бумагой). Приготовление всех растворов согласно протоколу. Калибровка фотоаппарата для съемки в темноте.
Проведение эксперимента:
Базовый опыт: В темноте смешать в пробирке буфер, люциферазу, люциферин, раствор АТФ. Наблюдать характерную вспышку и последующее медленное затухающее свечение. Засечь время от смешивания до полного исчезновения видимого света. Сфотографировать.
Опыт с температурой: Провести три параллельные реакции с компонентами, выдержанными при разных температурах. Субъективно или путем сравнения фотографий с одинаковыми настройками оценить пиковую яркость и общую длительность свечения.
Опыт с pH: Провести реакции, где буферный компонент имеет разный pH. Сравнить интенсивность начальной вспышки.
Фиксация данных: Ведение лабораторного журнала с точным временем всех манипуляций. Таблица: «Условия (температура/pH) – Время появления свечения – Пиковая яркость (оценка) – Длительность заметного свечения (сек) – Фото №». Аудиозапись устных комментариев во время опыта в темноте.
4. **Аналитический этап** (1 неделя)
Обработка данных: Сравнение серий фотографий, ранжирование по яркости. Построение простых графиков: «Длительность свечения от температуры», «Относительная яркость от pH».
Анализ результатов: Наибольшая яркость, скорее всего, будет наблюдаться при 20-25°C (комнатная температура близка к оптимуму для фермента

светлячка). При 4°С свечение будет тусклым, но очень длительным (замедление метаболизма фермента). При 37°С – очень ярким, но быстротечным (ускорение реакции, быстрое расходование субстрата). Оптимум pH будет в слабощелочной области (7.5-8.0).

Выводы:

Явление биолюминесценции успешно воспроизведено в лабораторных условиях in vitro.

Свечение является результатом ферментативной реакции окисления люциферина, где АТФ выступает источником энергии.

Интенсивность и кинетика свечения зависят от температуры и pH, что характерно для всех ферментативных процессов и подтверждает гипотезу.

Данная реакция служит яркой иллюстрацией преобразования химической энергии в световую с высоким КПД.

Рефлексия: Главная трудность – объективная регистрация яркости без специального прибора (люминометра). Проект требует аккуратности и точности в приготовлении растворов. Дает фундаментальное понимание связи между структурой белка (фермента) и его функцией в живой природе и биотехнологии.

5. **Презентационный этап**

Оформление работы: Научный отчет с химической схемой реакции, подробным протоколом экспериментов, таблицами, графиками зависимостей и фотодоказательствами.

Продукт: Серия фотографий светящихся пробирок, сделанных в темноте, наглядно демонстрирующих влияние температуры и pH. Видеозапись базовой реакции.

Защита: Доклад, начинающийся с демонстрации свечения в затемненной аудитории. Объяснение биохимических основ и практического значения реакции (использование в качестве «репортерной системы» для изучения активности генов, тестов на загрязнение АТФ).

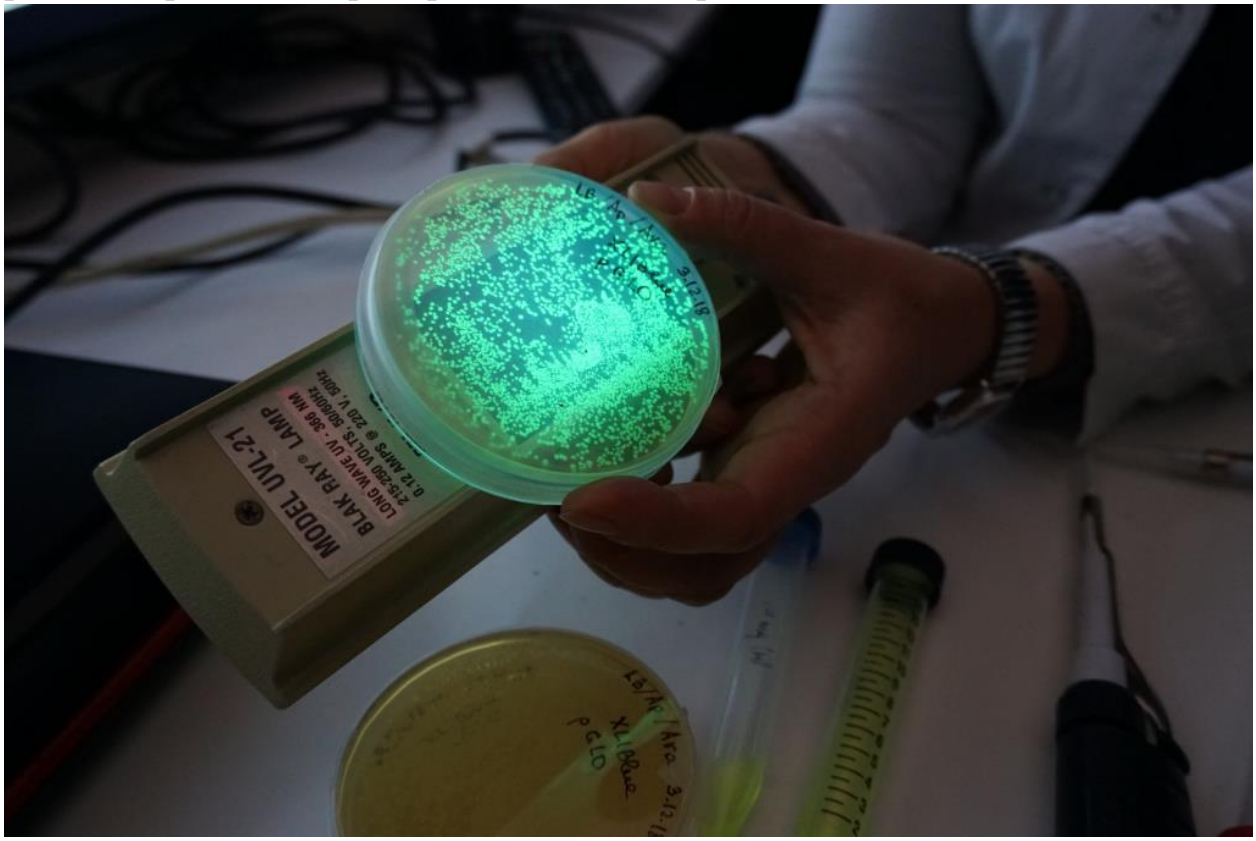
Необходимое оборудование и материалы: Коммерческий набор для биолюминесценции (люциферин, люцифераза, буфер, АТФ), пробирки или микропланшеты, микропипетки или точные шприцы, темная комната или бокс, термостат/водяная баня, термометр, лед, буферные растворы разного pH, фотоаппарат с ручным режимом.

Возможное развитие проекта: Количественное измерение интенсивности света с помощью фотодиода, подключенного к осциллографу или Arduino.

Исследование влияния ингибиторов или активаторов фермента.

Использование реакции для сравнительной оценки содержания АТФ в

разных образцах (например, в свежем и старом мясе).

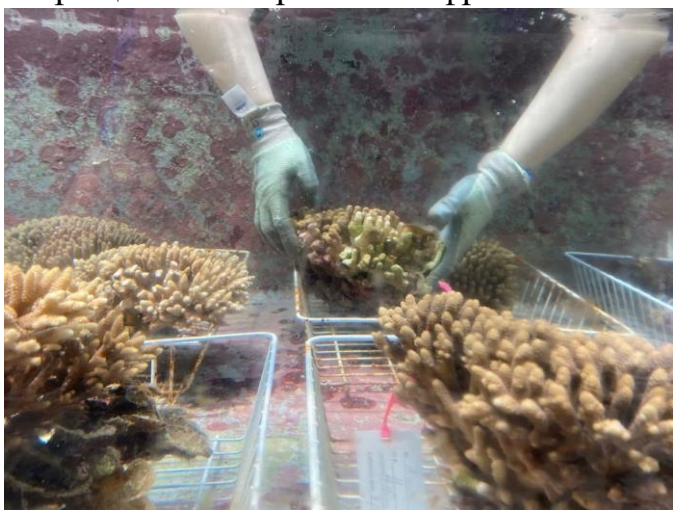


Проектная работа №17

Тема: Изучение процесса роста кораллов.
Цель проекта: Создать модель рифовой экосистемы в условиях морского аквариума (рифариума) и провести долгосрочные наблюдения за ростом и развитием коралловых полипов, изучив ключевые факторы, влияющие на этот процесс.
Задачи:
Изучить биологию коралловых полипов (Anthozoa), их симбиоз с зооксантеллами, и процессы кальцификации (образования скелета).
Создать стабильную аквариумную систему с необходимыми параметрами воды (температура, соленость, pH, щелочность, содержание кальция, магния).
Приобрести несколько видов неприхотливых кораллов для наблюдения (например, грибовидные кораллы, кораллы-звезды, мягкие кораллы).
В течение 2-3 месяцев проводить регулярные замеры параметров воды и документировать видимые изменения в кораллах (увеличение размера, рост новых ветвей, окраска).
Проанализировать взаимосвязь между стабильностью параметров среды и скоростью роста кораллов.
Гипотеза: Кораллы способны успешно расти в искусственных условиях при точном поддержании параметров воды, близких к природным. Основными лимитирующими факторами роста будут стабильная температура, достаточная освещенность (для фотосинтеза зооксантелл) и концентрация ионов кальция и бикарбоната в воде. Нарушение параметров приведет к остановке роста или болезням.
Этапы работы:
1. **Подготовительный этап** (3-4 недели)
Выбор темы: Проект представляет собой долгосрочное экологическое и биологическое исследование, требующее ответственности и систематичности, аналогичное реальной научной работе.
Постановка проблемы: Почему коралловые рифы гибнут в океане и можно ли создать их аналог «в банке»? Что нужно для жизни кораллов?
Планирование: Это ресурсоемкий проект. Необходимо: аквариум (50-100 л), система фильтрации и течения (помпа), система освещения полного спектра (с синими и белыми светодиодами), нагреватель с термостатом, гидрометр (ареометр) для измерения солености, тесты для морской воды на pH, KH (карбонатная жесткость), Ca (кальций), NO_3 (нитраты), PO_4 (фосфаты).
Приобретение готовой морской соли, живых камней, и самих кораллов.
Важно: Проект должен быть согласован с родителями/учителем из-за затрат и длительности.
2. **Проектировочный этап** (2 недели)

Теоретическое исследование: Коралл как колония полипов. Симбиоз с динофлагеллятами (зооксантеллами), которые обеспечивают полипа органическими веществами via фотосинтез. Процесс кальцификации: полип извлекает ионы Ca^{2+} и HCO_3^- из воды, формируя каркас из арагонита ($CaCO_3$). Ключевые параметры: температура 24-27°C, соленость 33-35 ppt, pH 8.1-8.4, KH 8-12 dKH, Ca 400-450 ppm.
Разработка методики: Составление графика обслуживания: ежедневная проверка температуры и работы оборудования, еженедельные подмены 10% воды, еженедельные замеры параметров тестами. Метод фиксации роста: еженедельная фотосъемка кораллов с одного ракурса с линейкой или объектом для масштаба. Ведение подробного аквариумного журнала.
Техника безопасности: Работа с электроприборами рядом с водой. Аккуратность при обращении с хрупкими кораллами.
3. **Практический этап** (2-3 месяца – основной этап наблюдений)
Запуск системы: Приготовление морской воды, установка оборудования, запуск цикла азота с помощью живых камней («созревание» аквариума в течение 3-4 недель до внесения кораллов).
Проведение эксперимента (наблюдений):
После созревания аквариума внести выбранные кораллы, зафиксировать их исходное состояние (фото).
Еженедельно в один и тот же день: измерять все параметры воды, заносить в таблицу.
Проводить фотофиксацию кораллов.
Отмечать любые изменения: появление новых полипов, удлинение ветвей, изменение цвета, признаки стресса (сжатие, побледнение).
Реагировать на отклонения параметров (подмены воды, добавление добавок для Ca и KH).
Фиксация данных: Аквариумный журнал: таблицы с датами и параметрами. Фотоархив: еженедельные снимки каждого коралла с меткой даты. Записи о всех действиях (подмена, кормление, etc.).
4. **Аналитический этап** (2 недели после окончания наблюдений)
Обработка данных: Создание коллажей из фотографий для каждого коралла, наглядно показывающих рост. Построение графиков изменения ключевых параметров воды (например, уровня нитратов) с течением времени.
Анализ результатов: Успешный рост будет наблюдаться в периоды максимальной стабильности параметров. Рост может замедляться или останавливаться при скачках температуры, падении KH или Ca. Мягкие кораллы могут расти быстрее, чем мадрепоровые (каменные). Изменение окраски может указывать на уровень освещенности.
Выводы:
Кораллы могут расти в искусственной системе при тщательном контроле и поддержании параметров, что подтверждает гипотезу.

Стабильность среды важнее, чем абсолютно идеальные, но колеблющиеся значения.
Процесс роста (кальцификации) напрямую зависит от доступности ионов кальция и бикарбоната.
Наблюдения подтверждают хрупкость коралловых экосистем и их уязвимость к изменениям условий.
Рефлексия: Проект учит долгосрочному планированию, терпению, ответственности за живые организмы и навыкам системного мониторинга. Основная трудность – финансовые и временные затраты, необходимость постоянного участия даже в выходные.
5. **Презентационный этап**
Оформление работы: Объемный отчет, напоминающий полевой дневник исследователя, с теорией, подробным описанием системы, таблицами параметров, графиками и, главное, наглядными коллажами, демонстрирующими рост кораллов.
Продукт: Фото- и видеодневник роста кораллов. Сама действующая мини-рифовая экосистема (аквариум) как наглядный результат.
Защита: Презентация в формате рассказа о научной экспедиции «домашний риф», с демонстрацией «артефактов» (журнал, пробы воды) и главного доказательства – живых растущих кораллов.
Необходимое оборудование и материалы: Аквариум (от 50 л), фильтр, помпа течения, светильник для рифа, нагреватель, гидрометр, набор тестов для морской воды (pH, KH, Ca, NO_3, NO_2, PO_4), морская соль, живой камень, 2-3 вида неприхотливых кораллов, аквариумный скребок, сифон для подмен.
Возможное развитие проекта: Исследование влияния разных спектров света на рост и окраску кораллов. Эксперимент по воздействию повышенной температуры или пониженного pH (имитация окисления океана) на кораллы. Выращивание кораллов из фрагментов.

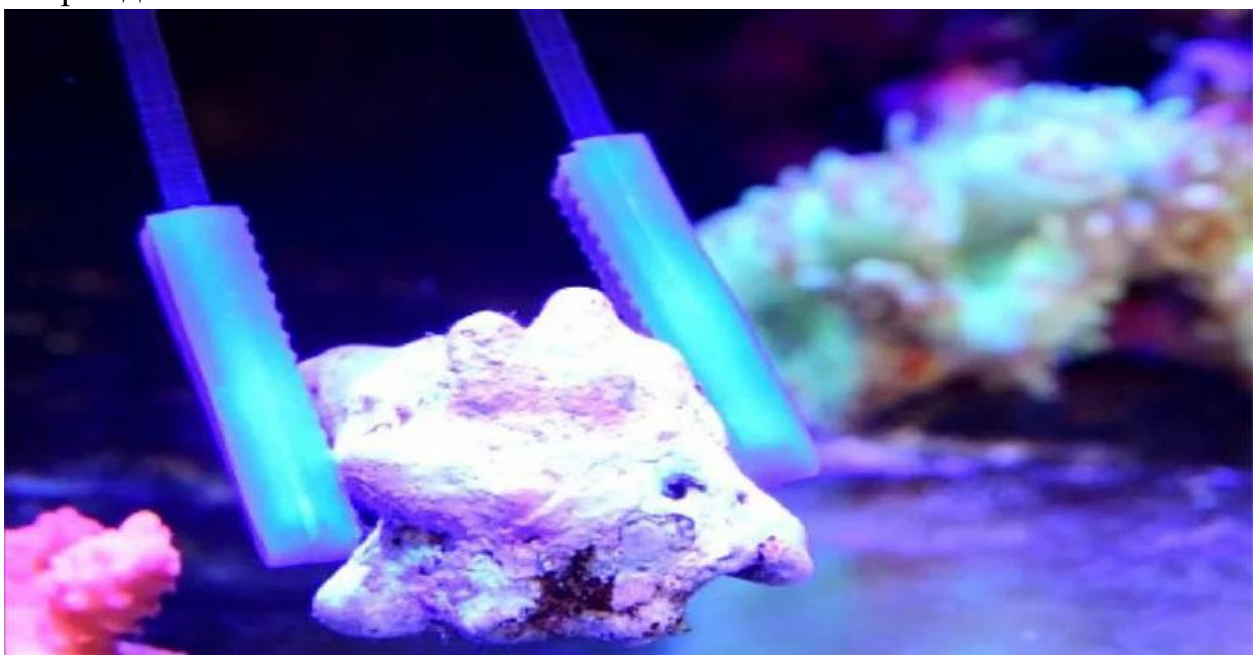


Проектная работа №18

Тема: Изучение защитного механизма кораллов.
Цель проекта: Исследовать стрессовые реакции коралловых полипов на неблагоприятные воздействия (физическое прикосновение, изменение освещенности, ухудшение качества воды) и объяснить их биологический смысл.
Задачи:
Изучить анатомию кораллового полипа, строение его клеток (нематоциты) и механизмы защиты.
Наблюдать за поведением кораллов в аквариуме в состоянии покоя.
Провести серию неинвазивных стресс-тестов, фиксируя реакцию полипов.
Сравнить реакцию разных видов кораллов на одинаковые воздействия.
Сделать выводы об адаптивной роли наблюдаемых защитных механизмов.
Гипотеза: Коралловые полипы обладают комплексом защитных реакций на стресс. При физическом прикосновении или тряске они будут втягивать щупальца и сокращаться. При резком изменении освещения (затенении) также может произойти сокращение. При ухудшении качества воды (например, попадании пресной воды) произойдет выделение защитной слизи. Более «агрессивные» виды кораллов могут иметь более выраженную реакцию.
Этапы работы:
1. **Подготовительный этап** (2-3 недели)
Выбор темы: Проект позволяет изучать поведение примитивных животных, их реакцию на среду, что является основой этологии и экологии.
Постановка проблемы: Как кораллы, будучи прикрепленными организмами, защищаются от врагов, осадка или изменений в окружающей среде?
Планирование: Требуется стабильный морской аквариум с несколькими видами кораллов (желательно иметь как минимум один «агрессивный» вид с длинными щупальцами, например, Galaxea, и один «мирный», например, грибовидный). Оборудование: пипетка, пинцет с мягкими наконечниками, маленький фонарик, секундомер, фото/видеокамера с возможностью макросъемки. Важно: Все воздействия должны быть минимальными и не причинять вреда кораллам!
2. **Проектировочный этап** (1 неделя)
Теоретическое исследование: Защитные механизмы кораллов: 1) Сокращение – втягивание мягкого тела в скелет для защиты от хищников и осадка. 2) Нематоцисты – стрекательные клетки в щупальцах для поражения добычи и конкурентов. 3) Выделение слизи – для удаления осадка, патогенов, при осмотическом стрессе. 4) Флуоресценция – возможная защита от избыточного света. Реакция должна быть кратковременной, иначе это признак болезни.

Разработка методики: Разработка трех невредящих тестов:
Тест на тактильный раздражитель: Легкое прикосновение мягким пинцетом к краю полипа.
Тест на световой раздражитель: Резкое затенение полипа рукой или предметом на 2-3 секунды.
Тест на химический/осмотический раздражитель: Осторожное выдувание из пипетки небольшой струи пресной воды на расстояние 2-3 см от полипа (НЕ прямо на него!).
Техника безопасности: Не проводить тесты слишком часто, чтобы не изнурять кораллы. Не прикасаться к кораллам голыми руками. Не направлять струю пресной воды непосредственно на ткань коралла.
3. **Практический этап** (2-3 недели)
Подготовка: Наблюдение за кораллами в состоянии покоя в течение нескольких дней, чтобы знать их «расправленный» вид. Выбор конкретных полипов для тестирования.
Проведение эксперимента:
Для каждого выбранного коралла сделать контрольное фото в состоянии покоя.
Тактильный тест: Легко прикоснуться, засечь время, через которое полип полностью сократится. Зафиксировать время восстановления.
Световой тест: Резко затенить, наблюдать за реакцией. Не все кораллы на это реагируют.
Осмотический тест: Выдуть небольшую струйку пресной воды вблизи полипа (не попадая на соседние!). Наблюдать за выделением слизи или сокращением.
Между тестами давать кораллу не менее 48 часов на отдых.
Фиксация данных: Таблица: «Вид кораллов – Тип теста – Реакция (сокращение/слизь/нет) – Время до полной реакции (сек) – Время восстановления (сек) – Фото/видео». Подробные описания.
4. **Аналитический этап** (1 неделя)
Обработка данных: Сравнение реакций разных видов. Расчет среднего времени реакции и восстановления для каждого теста (если проводились повторения).
Анализ результатов: «Агрессивные» кораллы (с мощными нематоцистами) могут реагировать быстрее и сильнее на тактильный раздражитель. Некоторые кораллы могут не реагировать на свет. Пресная вода, скорее всего, вызовет выделение слизи у большинства видов как защиту от осмотического шока. Все реакции носят кратковременный характер, что подтверждает их защитную, а не патологическую природу.
Выводы:
Кораллы демонстрируют четкие поведенческие реакции на различные стресс-факторы.

Наблюдаемые реакции (сокращение, выделение слизи) являются адаптивными защитными механизмами.
Скорость и выраженность реакции могут варьироваться в зависимости от вида коралла и типа раздражителя, что подтверждает гипотезу.
Данные наблюдения помогают понять уязвимость кораллов к антропогенным воздействиям (загрязнение, опреснение стоков).
Рефлексия: Проект требует тонкого, бережного подхода к живым организмам. Интересно было наблюдать, что кораллы — это не просто «камни», а реагирующие животные. Важно было не перейти грань между наблюдением и причинением вреда.
5. **Презентационный этап**
Оформление работы: Отчет, написанный в стиле исследования поведения, с фотографиями «до» и «после» каждого теста, таблицей результатов и биологическим объяснением.
Продукт: Видеоролик, смонтированный из коротких клипов, демонстрирующих разные защитные реакции кораллов. Фотоподборка.
Защита: Доклад с демонстрацией видеоролика, объяснением биологического смысла каждой реакции и ее значения для выживания рифа.
Необходимое оборудование и материалы: Стабильный морской аквариум с кораллами, пипетка, мягкий пинцет (аквариумный), маленький фонарик, секундомер, фото/видеокамера с макрорежимом.
Возможное развитие проекта: Изучение реакции на химические сигналы от других кораллов (аллелопатия). Наблюдение за кормовым поведением. Исследование скорости регенерации после очень легкого контролируемого повреждения.



Проектная работа №19

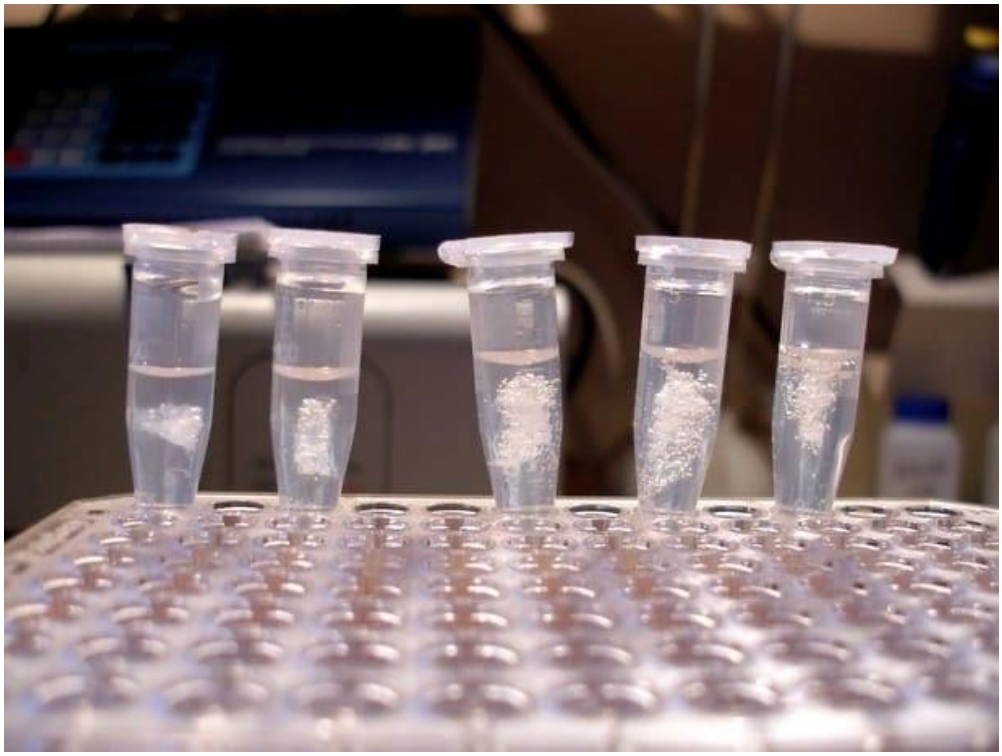
Тема: Анализ процесса выделения ДНК.
Цель проекта: Освоить базовую методику выделения дезоксирибонуклеиновой кислоты (ДНК) из растительных и/или животных тканей в условиях школьной лаборатории, визуализировать результат и понять лежащие в основе процесса биохимические принципы.
Задачи:
Изучить строение и функции ДНК, ее локализацию в клетке, а также химические свойства (растворимость в воде, осаждение в спирте).
Подобрать оптимальный протокол выделения для доступного сырья (банан, киви, клубника, лук, ротовой эпителий).
Провести выделение ДНК, соблюдая этапы: разрушение клеточных оболочек, осаждение белков и отделение ДНК от клеточного дебриса.
Визуализировать выделенную ДНК и сравнить ее количество и вид из разных источников.
Объяснить роль каждого используемого компонента протокола (моющее средство, соль, этанол).
Гипотеза: ДНК можно выделить из любых живых тканей с помощью простых химических агентов. Наибольший выход будет наблюдаться из мягких плодов, богатых клетками (клубника, киви), а сам продукт будет виден как белые нитевидные хлопки на границе водного и спиртового слоев.
Этапы работы:
1. **Подготовительный этап** (3-5 дней)
Выбор темы: Классический, эффектный и фундаментальный эксперимент, являющийся «визитной карточкой» молекулярной биологии.
Постановка проблемы: Что такое ДНК и как ее можно увидеть невооруженным глазом, имея под рукой обычные кухонные и бытовые реагенты?
Планирование: Подбор сырья: лучше всего подходят клубника или киви (содержат ферменты, разрушающие клеточные стенки, и много ядер).
Реагенты: средство для мытья посуды (10% раствор), поваренная соль, этиловый или изопропиловый спирт (охлажденный в морозилке), вода.
Оборудование: ступка и пестик или блендер, мерный стакан, стеклянные палочки, конические колбы или высокие узкие стаканы, фильтр (марля, ситечко для чая), пипетка.
2. **Проектировочный этап** (3-5 дней)
Теоретическое исследование: ДНК как полимер, находящийся в ядре и митохондриях клеток. Цель каждого этапа:
Физическое разрушение: измельчение — нарушение целостности ткани.
Моющее средство (детергент): разрушение липидных клеточных и ядерных мембран (образует мицеллы), высвобождение ДНК.

Соль (NaCl): нейтрализует отрицательный заряд ДНК, экранируя фосфатные группы, что способствует ее агрегации; также осаждает белки.
Холодный спирт: ДНК нерастворима в спирте. При наслаивании спирта на водный экстракт ДНК выпадает в осадок на границе фаз, где концентрация спирта достаточна, а вода еще присутствует.
Разработка методики: Стандартный протокол: 1) Приготовить экстракционный буфер (вода + соль + моющее средство). 2) Измельчить плод, смешать с буфером, нагреть на водяной бане (55-60°C, 10-15 мин). 3) Охладить, профильтровать. 4) Осторожно наслоить холодный спирт по стенке. 5) Наблюдать осаждение ДНК.
Техника безопасности: Работа со спиртом – в проветриваемом помещении, не допускать открытого огня. Стеклянную посуду использовать осторожно.
3. **Практический этап** (3-7 дней)
Подготовка: Охладить спирт в морозильной камере (чем холоднее, тем лучше). Приготовить экстракционный буфер.
Проведение эксперимента:
Измельчить 50 г клубники/киви в пюре.
Добавить 50 мл экстракционного буфера, аккуратно перемешать.
Нагревать смесь на водяной бане 10-15 мин при 60°C (не кипятить!).
Охладить.
Профильтровать через марлю в высокий узкий стакан, отжав жмых.
По стенке стакана осторожно добавить охлажденный спирт (объем, равный фильтрату), чтобы получилось два слоя.
Подождать 1-2 минуты. На границе фаз появятся белые нитевидные хлопья и облачка – это ДНК.
Аккуратно намотать ДНК на стеклянную палочку.
Повторить опыт с другим видом сырья (лук, банан).
Фиксация данных: Фотографирование ключевых этапов: смесь после нагрева, два слоя до появления осадка, нити ДНК, ДНК на палочке. Запись наблюдений: из какого сырья получилось больше ДНК, какова ее консистенция.
4. **Аналитический этап** (3-5 дней)
Обработка данных: Создание фотоколлажа, иллюстрирующего процесс. Сравнение фотографий результатов из разного сырья.
Анализ результатов: Клубника/киви дают много ДНК, так как у них мягкие ткани, много клеток и они диплоидны. Лук дает меньше, ДНК может быть окрашена пигментами. Банан дает осадок, но часто меньше. Роль каждого компонента подтверждается: без детергента мембраны не разрушатся, без соли ДНК не агрегирует, без холодного спирта – не выпадет в осадок.
Выводы:
Метод выделения ДНК с помощью детергента, соли и спирта является эффективным и наглядным.

Выход ДНК зависит от вида биологического материала.
Каждый этап протокола имеет четкое биохимическое обоснование, что подтверждает понимание процесса на молекулярном уровне.
Гипотеза подтвердилась: ДНК была успешно выделена и визуализирована.
Рефлексия: Ключ к успеху – аккуратное наслаивание спирта и его температура. Проект впечатляет и дает чувство причастности к настоящей науке, демонстрируя, что сложные молекулы можно изучать простыми методами.

5. **Презентационный этап**

Оформление работы: Четкий, пошаговый отчет-инструкция с объяснением химии каждого шага, фотографиями и выводами.
Продукт: Фотографии стадий процесса и итогового продукта – ДНК на палочке. Возможно, заспиртованный образец в маленькой пробирке.
Защита: Яркая презентация с демонстрацией фотографий или даже живого проведения ключевого момента (осаждения ДНК). Объяснение процесса простыми словами.
Необходимое оборудование и материалы: Клубника/киви/лук, средство для мытья посуды, поваренная соль, этиловый или изопропиловый спирт (90-96%), вода, ступка и пестик или блендер, мерный стакан, стеклянные стаканы или колбы, стеклянная палочка, марля, водяная баня, термометр.
Возможное развитие проекта: Количественное сравнение выхода ДНК (взвешивание осадка). Очистка ДНК от РНК с помощью РНКазы. Попытка провести простейшую гель-электрофорезу для оценки размера фрагментов выделенной ДНК. Выделение ДНК из собственных клеток щеки.

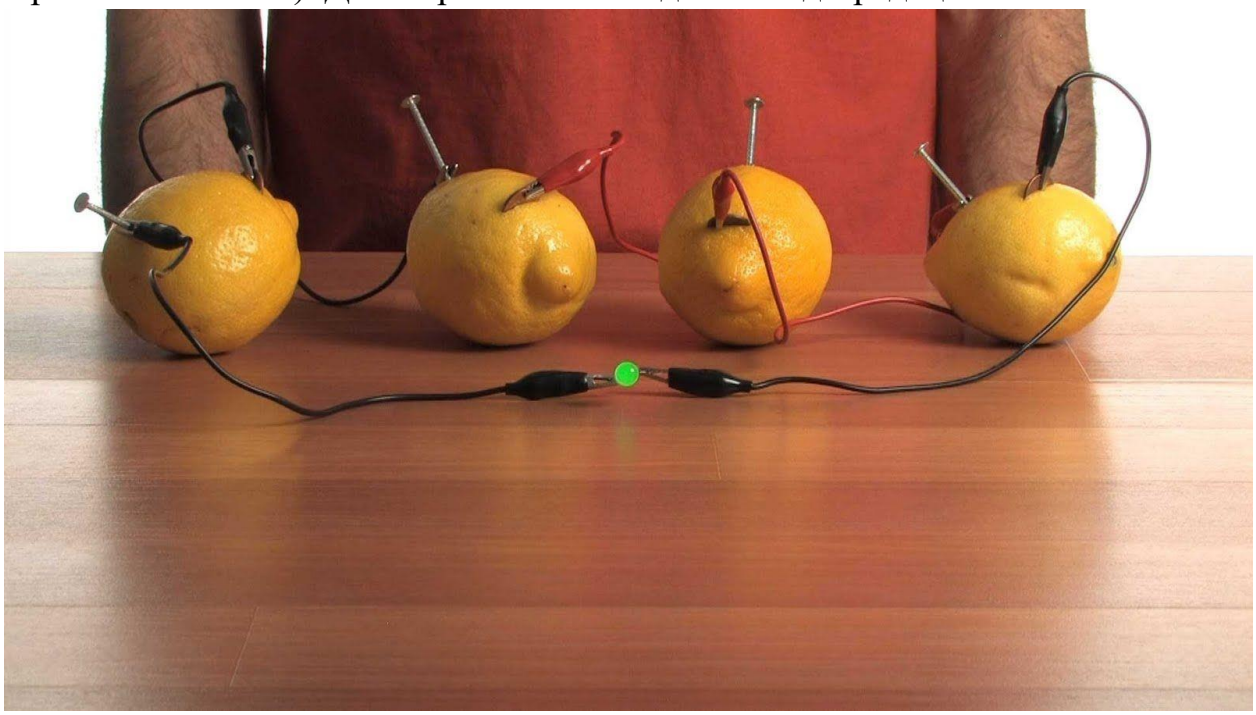


Проектная работа №20

Тема: Исследование электрических цепей на примере растворов из овощей и фруктов (создание «овощных» и «фруктовых» батареек).
Цель проекта: Исследовать способность различных овощей и фруктов выступать в роли гальванического элемента (батарейки), измерить их электрохимические параметры и определить факторы, влияющие на эффективность.
Задачи:
Изучить принцип работы гальванического элемента, понятия электрода, электролита, электродвижущей силы (ЭДС).
Подобрать пары электродов из разных металлов (медь-цинк, медь-алюминий, цинк-железо) и различные фрукты/овощи в качестве электролита.
Собрать простейшие «батарейки» и измерить их напряжение и ток короткого замыкания.
Провести сравнительный анализ полученных данных, выявив наиболее эффективные пары «электрод-электролит».
Создать батарею из нескольких последовательно соединенных элементов для выполнения полезной работы (зажигание светодиода, работа часов).
Гипотеза: Наибольшее напряжение будет генерироваться парой электродов с максимальной разностью стандартных электродных потенциалов (медь-цинк). Наибольший ток будет давать элемент, где фрукт/овощ обладает высокой кислотностью (лимон, яблоко, кислая капуста) и где площадь электродов максимальна. Последовательное соединение нескольких таких элементов позволит зажечь светодиод.
Этапы работы:
1. **Подготовительный этап** (5-7 дней)
Выбор темы: Проект на стыке химии и физики, демонстрирующий практическое применение электрохимии на доступных материалах.
Постановка проблемы: Может ли картошка или лимон быть батарейкой? Что в них является источником тока?
Планирование: Подбор «электролитов»: лимон, яблоко, картофель, помидор, соленый огурец. Приготовление электродов: медные (монеты, проволока), цинковые (оцинкованные шайбы, гвозди), алюминиевые (фольга, проволока), стальные (гвозди). Оборудование: цифровой мультиметр, соединительные провода с зажимами, светодиод (красный, 1.5-2 В), возможно, электронные часы с батарейным отсеком.
2. **Проектировочный этап** (1 неделя)
Теоретическое исследование: Устройство гальванического элемента. Электроды: анод (отрицательный, окисляется – $Zn \rightarrow Zn^{2+} + 2e^-$) и катод (положительный, восстанавливается – $2H^+ + 2e^- \rightarrow H_2$ в кислой среде). Роль электролита – обеспечение ионной проводимости. ЭДС элемента равна

разности потенциалов катода и анода. Сила тока зависит от скорости электрохимических реакций и сопротивления электролита.
Разработка методики: Для каждого фрукта/овоща и каждой пары электродов: воткнуть электроды на расстоянии 1-2 см, измерить напряжение холостого хода (U_xx) мультиметром в режиме вольтметра. Затем измерить ток короткого замыкания (I_кз), переключив мультиметр в режим амперметра (на пределе 200мА). Внимание: измерение I_кз должно быть кратковременным (1-2 сек)!
Техника безопасности: Аккуратное обращение с металлическими электродами. Кратковременные измерения тока для избегания поляризации и повреждения элемента.
3. **Практический этап** (1-2 недели)
Подготовка: Зачистка и обезжиривание электродов. Нарезка фруктов/овощей на одинаковые дольки или использование целых плодов.
Проведение эксперимента:
Сравнение пар электродов: В один лимон воткнуть пару Cu-Zn, измерить U_xx и I_кз. Заменить цинк на алюминий (Al), измерить. Заменить медь на сталь (Fe), измерить.
Сравнение «электролитов»: Используя лучшую пару электродов (Cu-Zn), провести измерения для лимона, яблока, картофеля, помидора.
Влияние площади: В один плод воткнуть маленькие и большие по площади электроды, сравнить ток.
Создание батареи: Соединить последовательно 3-4 «лимонных» элемента. Измерить суммарное напряжение. Попробовать зажечь красный светодиод или запустить маломощные электронные часы.
Фиксация данных: Таблица 1: «Пара электродов (в лимоне) – U_xx (В) – I_кз (мА)». Таблица 2: «Фрукт/овощ (с парой Cu-Zn) – U_xx (В) – I_кз (мА) – pH (если есть лакмус)». Фото рабочих элементов и батареи.
4. **Аналитический этап** (1 неделя)
Обработка данных: Построение столбчатых диаграмм для наглядного сравнения U_xx и I_кз.
Анализ результатов: Пара Cu-Zn даст наибольшее напряжение (~0.8-1.0 В). Наибольший ток дадут кислые плоды (лимон) – больше ионов H^+. Картофель и огурец, особенно соленый, могут дать хороший ток из-за высокой ионной силы, но меньшее напряжение. Увеличение площади электродов увеличивает ток. Батарея из 3-4 элементов зажжет светодиод (требует ~2 В).
Выводы:
Овощи и фрукты могут служить основой для простейших гальванических элементов.
Напряжение элемента определяется материалом электродов, а сила тока – кислотностью/ионной силой электролита и площадью электродов.

Последовательное соединение элементов позволяет суммировать напряжение для выполнения полезной работы.
Гипотеза подтвердилась: лучшие результаты показала пара Cu-Zn в кислом лимоне.
Рефлексия: Проект очень нагляден. Сложность – в нестабильности самодельных элементов (быстрая поляризация, высыхание). Развивает понимание связи между химическими свойствами и физическими явлениями.
5. **Презентационный этап**
Оформление работы: Отчет с теорией электрохимии, схемами элементов, таблицами, диаграммами и выводами.
Продукт: Демонстрационная батарея из нескольких фруктов, зажигающая светодиод или питающая часы. Сравнительная таблица в виде плаката.
Защита: Яркая презентация с живой демонстрацией работы «лимонной батареи», питающей какой-либо прибор. Объяснение принципа на пальцах.
Необходимое оборудование и материалы: Лимон, яблоко, картофель, медная проволока/пластина, цинковые пластины/оцинкованные гвозди, алюминиевая фольга, стальные гвозди, цифровой мультиметр, соединительные провода с зажимами, светодиод (красный, низковольтный), возможно, электронные часы.
Возможное развитие проекта: Исследование зависимости параметров от расстояния между электродами. Измерение внутреннего сопротивления элемента. Попытка создать элемент из непищевых электролитов (земля, вода с разными солями). Долгосрочное наблюдение за деградацией элемента.



Проектная работа №21

Тема: Исследование почвы при помощи шкалы Манселла и pH-метра.
Цель проекта: Провести комплексный анализ образцов почвы, собранных в разных биотопах, определив их цвет по стандартной шкале Манселла и кислотность (pH) для оценки плодородия и возможного использования.
Задачи:
Изучить значение цвета и кислотности почвы как ключевых показателей ее состава, происхождения и свойств.
Отработать методику отбора и подготовки почвенных образцов.
Освоить работу с цветовым атласом Манселла для почв и электронным pH-метром (или индикаторной бумагой).
Провести анализ не менее 5 образцов почвы, взятых в различных локациях (лес, луг, огород, берег водоема и т.д.).
Сравнить полученные данные, связать их с условиями местообитания и сделать выводы о пригодности почв для разных типов растительности.
Гипотеза: Почвы из разных мест обитания будут существенно различаться по цвету и кислотности. Темные (черные, темно-серые) почвы будут иметь нейтральную или слабокислую реакцию и высокое потенциальное плодородие. Почвы хвойного леса и верховых болот будут иметь кислую реакцию и светлую окраску. Почва с берега водоема может иметь нейтральный pH и специфический цвет из-за органики.
Этапы работы:
1. **Подготовительный этап** (1-2 недели)
Выбор темы: Проект лежит в области экологии и почвоведения, развивает навыки полевых исследований и лабораторного анализа.
Постановка проблемы: Почему почва в лесу, на лугу и в огороде выглядит и «ведет себя» по-разному? Как по ее внешнему виду и простым тестам можно судить о качестве?
Планирование: Составление плана отбора проб: выбор 5-7 контрастных локаций в доступной местности (например, смешанный лес, сосновый бор, луг, культурный огород, берег реки/пруда). Подготовка оборудования: лопаточка или совок, чистые пластиковые пакеты или контейнеры с этикетками, атлас (шкала) Манселла для почв (можно найти цифровые аналоги или распечатки), электронный pH-метр для почвы или набор индикаторной бумаги высокой точности, дистиллированная вода, стаканчики, воронка, фильтровальная бумага.
2. **Проектировочный этап** (1 неделя)
Теоретическое исследование: Факторы, определяющие цвет почвы: содержание гумуса (черный/темно-серый), соединения железа (красные, желтые, охристые оттенки), карбонаты (белесые). Шкала Манселла: система описания цвета по трем параметрам – тон (Hue), светлота (Value),

насыщенность (Chroma). Кислотность почвы (pH): влияние на доступность элементов питания для растений. Шкала pH: сильнокислые (<4.5), кислые (4.5-5.5), слабокислые (5.5-6.5), нейтральные (6.5-7.5), щелочные (>7.5).
Разработка методики:
Отбор проб: В каждой локации снять верхний слой подстилки и взять пробу почвы с глубины 10-15 см в 3-5 точках, смешать для получения среднего образца.
Подготовка: Образцы высушить на воздухе, растереть в ступке, просеять через сито (2 мм).
Определение цвета: При дневном освещении сравнить высушенную почву с эталонами шкалы Манселла, записать код (например, 10YR 4/3).
Определение pH: Приготовить водную вытяжку (1 часть почвы + 2.5 части дистиллированной воды), взболтать, дать отстояться, отфильтровать. Измерить pH фильтрата прибором или индикаторной бумагой.
Техника безопасности: Работа в перчатках при отборе проб. Аккуратность при работе с химическими индикаторами.
3. **Практический этап** (2-3 недели)
Полевой этап: Посещение выбранных локаций, отбор проб с точной привязкой к месту (фото, описание растительности).
Лабораторный этап:
Подготовка всех образцов: сушка, измельчение, просеивание.
Определение и запись цвета каждого образца по шкале Манселла.
Приготовление водных вытяжек для каждого образца.
Измерение pH каждой вытяжки (3 раза для усреднения).
Фиксация данных: Ведение полевого и лабораторного журнала. Таблица: «№ образца / Локация – Цвет (код Манселла и описание) – Значение pH (среднее) – Описание места (растительность)».
4. **Аналитический этап** (1 неделя)
Обработка данных: Создание карты-схемы местности с нанесенными точками отбора и их характеристиками. Построение диаграммы (столбчатой) распределения pH по локациям.
Анализ результатов: Образец из огорода, скорее всего, будет самым темным (высокий гумус) с нейтральным pH. Образец из хвойного леса (особенно соснового) – светлым (песчаным, подзолистым) с кислой реакцией. Луговая почва будет иметь умеренный цвет и слабокислую реакцию. Болотная или торфяная – темной, но очень кислой.
Выводы:
Существует четкая взаимосвязь между типом экосистемы, цветом почвы и ее кислотностью.
Методы определения цвета по Манселла и pH являются простыми и информативными инструментами первичной оценки почвы.

Полученные данные можно использовать для рекомендаций по подбору растений (кислолюбивые – для хвойного леса, нейтральные – для огорода). Гипотеза о различии почв подтвердилась; их свойства закономерно меняются в зависимости от условий формирования.
Рефлексия: Проект учит системному подходу от сбора данных в поле до их обработки в лаборатории. Трудность – точное определение цвета при разном освещении. Проект имеет явную практическую направленность (садоводство, экология).
5. **Презентационный этап**
Оформление работы: Отчет, структурированный как исследовательская работа по почвоведению, с картой местности, фотографиями локаций, таблицей результатов, диаграммой и выводами.
Продукт: Коллекция подготовленных и промаркированных почвенных образцов в пробирках, размещенных рядом с их «паспортами» (цветовой код и pH). Карта исследованной территории.
Защита: Презентация в формате отчета экспедиции, демонстрация коллекции образцов, объяснение взаимосвязей между местом, цветом и кислотностью.
Необходимое оборудование и материалы: Лопаточка, чистые контейнеры для проб, этикетки, атлас Манселла для почв (или распечатки), pH-метр или индикаторная бумага высокой точности (pH 3-9), дистиллированная вода, стаканчики, воронки, фильтровальная бумага, ступка и пестик, сито.
Возможное развитие проекта: Дополнительное определение механического состава почвы (песок, ил, глина) методом отмучивания. Измерение содержания гумуса по методу Тюрина (в школьной лаборатории). Сравнение почв городских и природных территорий.



Проектная работа №22

Тема: Исследование дифракции и полного внутреннего отражения лазерного излучения.
Цель проекта: Экспериментально изучить волновые свойства света (дифракцию и интерференцию) и явление полного внутреннего отражения на примере лазерного луча, подтвердив их соответствие теоретическим законам волновой оптики.
Задачи:
Изучить теорию волновой оптики: принцип Гюйгенса-Френеля, условия дифракции и интерференции, закон Снеллиуса, понятие критического угла и полного внутреннего отражения.
Собрать установки для наблюдения дифракции на щели и дифракционной решетке, а также полного внутреннего отражения в оптически плотной среде.
Провести серию опытов по дифракции, измерив периоды решеток по известной длине волны лазера.
Провести эксперименты по наблюдению полного внутреннего отражения в струе воды и акриловом световоде, измерив критический угол.
Сравнить экспериментальные данные с теоретическими расчетами.
Гипотеза: Лазерный луч, являясь когерентным монохроматическим излучением, будет демонстрировать четкие дифракционные картины при прохождении через узкие щели и решетки. При падении из оптически более плотной среды (вода, стекло) в менее плотную (воздух) под углом, большим критического, луч будет полностью отражаться, не выходя в воздух.
Этапы работы:
1. **Подготовительный этап** (1-2 недели)
Выбор темы: Классические и наглядные эксперименты, лежащие в основе понимания природы света и работы современных оптических устройств.
Постановка проблемы: Является ли свет волной? Как можно доказать это и измерить его длину волны? Почему свет может «течь» внутри струи воды, как по проводу?
Планирование: Подбор оборудования: лазерная указка (красная, $\lambda = 650$ нм, желательно с коллиматором), дифракционная решетка (например, 100, 300 штрихов/мм), набор щелей переменной ширины (можно изготовить из бритвы и фольги), экран (белый лист), линейка, транспортир. Для опытов с полным внутренним отражением: аквариум или прозрачная емкость, лазер, молоко или взвесь для визуализации луча, гибкая трубка от капельницы, источник воды.
2. **Проектировочный этап** (1 неделя)
Теоретическое исследование:
Дифракция: Условие максимумов для решетки: $d \cdot \sin\varphi = m \cdot \lambda$, где d – период решетки, φ – угол отклонения, m – порядок максимума.

Полное внутреннее отражение: Условие $\sin(\alpha_кр) = n_2/n_1$, где $n_1 > n_2$. Для вода-воздух $\alpha_кр \approx 48.7°$, для стекло-воздух $\approx 41.8°$.
Разработка методики:
Дифракция: Лазер и решетка закрепляются на оптической скамье (линейке) на известном расстоянии L до экрана. Измеряется расстояние между нулевым и первым максимумом (x). Угол φ вычисляется как arctg(x/L). По формуле вычисляется d и сравнивается с заявленным.
Полное внутреннее отражение в струе: Воду в аквариуме подслащивают молоком. Лазерный луч направляют в воду сверху под разными углами, наблюдая за лучем на дне и стенке. Фиксируют угол, при котором луч перестает выходить в воздух.
Световод: Направляют луч в торец изогнутой акриловой палочки или струи воды, вытекающей из отверстия в сосуде.
Техника безопасности: Главное правило – никогда не направлять лазерный луч в глаза людям или животных! Работать с лазером только в направлении, исключающем случайное попадание в глаза. Использовать лазер малой мощности (I-II класс).
3. **Практический этап** (1-2 недели)
Сборка установок: Надежное крепление лазера, решеток, экрана.
Организация темного или полутемного помещения для лучшей видимости лучей.
Проведение эксперимента:
Дифракция на решетке: Для каждой решетки (с известным и неизвестным периодом) измерить расстояние x для максимумов 1-го и 2-го порядка. Повторить для разных L.
Дифракция на щели: Наблюдать, как меняется картина при уменьшении ширины щели (расширение центрального максимума).
Критический угол: В аквариуме с подкрашенной водой направлять луч со дна на поверхность под увеличивающимся углом. С помощью транспортира, закрепленного на стенке, определить угол, при котором луч скользит по поверхности (преломляется под 90°).
Струя-световод: Направить луч в падающую струю воды. Наблюдать, как свет «захватывается» и повторяет изгибы струи благодаря многократному полному внутреннему отражению.
Фиксация данных: Зарисовки или фотографии дифракционных картин. Таблицы измерений для решеток: «d (заявл.) – L – x – sinφ – d (вычисл.)». Фото и видео опытов с отражением.
4. **Аналитический этап** (1 неделя)
Обработка данных: Расчет периодов решеток, сравнение с заявленными. Расчет критического угла для воды по измеренным данным, сравнение с теоретическим.

Анализ результатов: Рассчитанные периоды решеток будут близки к реальным, что подтверждает волновую природу света и справедливость формулы. Измеренный критический угол будет около 49°, что соответствует теории. Опыт со струей наглядно демонстрирует принцип работы волоконной оптики.

Выводы:

Наблюдение четких дифракционных картин является неопровержимым доказательством волновой природы света.

Дифракционную решетку можно использовать как измерительный прибор для определения длины волны света или периода решетки.

Явление полного внутреннего отражения полностью описывается законом Снеллиуса и является основой для работы световодов.

Гипотеза подтвердилась: лазерный луч ведет себя как волна и подчиняется законам волновой и геометрической оптики.

Рефлексия: Проект требует аккуратности в измерениях углов и расстояний. Самые яркие впечатления – от красоты дифракционных картин и «магии» светящейся струи. Проект фундаментален и прикладной одновременно.

5. **Презентационный этап**

Оформление работы: Отчет с теоретической частью, схемами установок, таблицами расчетов, фотографиями и выводами.

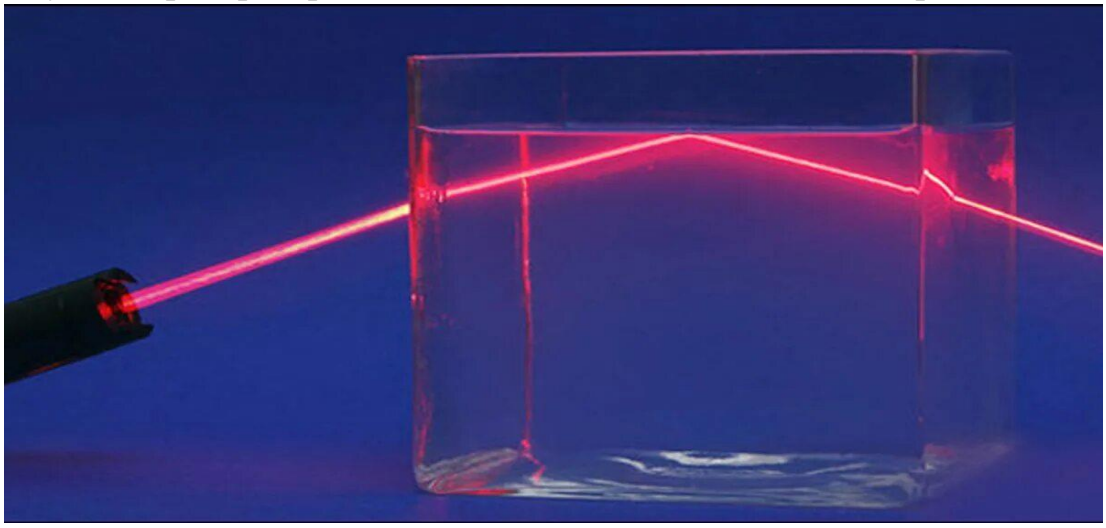
Продукт: Фотографии и видеозапии ключевых опытов (дифракционная картина, светящаяся струя). Рассчитанные образцы решеток с неизвестным периодом.

Защита: Демонстрация одного из самых зрелищных опытов (например, световода из струи) в затемненной аудитории. Объяснение дифракции с помощью слайдов.

Необходимое оборудование и материалы: Лазерная указка (красная, 650 нм), дифракционные решетки (100, 300 штрихов/мм), щели, экран, линейка, транспортир, аквариум, молоко или мыльный раствор, гибкая прозрачная трубка, источник воды, штативы.

Возможное развитие проекта: Исследование дифракции на двумерных структурах (CD-диск, ткань). Измерение длины волны лазеров разного цвета. Создание модели простого спектрометра на основе дифракционной решетки.

Изучение распространения света в оптических волокнах разного типа.



Проектная работа №23

Тема: Анализ характеристик жидкого азота.
Цель проекта: Экспериментально исследовать основные физические и химические свойства жидкого азота (температура кипения, объемное расширение при испарении, влияние на материалы) и объяснить их с позиций молекулярно-кинетической теории.
Задачи:
Изучить теорию фазовых переходов (кипение, испарение), свойства газов и влияние сверхнизких температур на вещества.
Отработать правила безопасной работы с криогенной жидкостью.
Провести серию демонстрационных экспериментов, характеризующих свойства жидкого азота.
Измерить температуру кипения жидкого азота при атмосферном давлении.
Пронаблюдать и объяснить эффекты, возникающие при контакте различных материалов с жидким азотом.
Гипотеза: Жидкий азот будет кипеть при температуре около -196°C при нормальном атмосферном давлении. При контакте с комнатнотемпературными предметами он будет бурно испаряться, отнимая у них большое количество теплоты. Это приведет к глубокому охлаждению материалов, изменению их механических (хрупкость) и электрических (сверхпроводимость) свойств.
Этапы работы:
1. **Подготовительный этап** (1-2 недели)
Выбор темы: Проект знакомит с криогеникой и позволяет проводить впечатляющие и информативные эксперименты, требующие строгого соблюдения ТБ.
Постановка проблемы: Что такое жидкий азот и почему он так сильно «дымит»? Какие необычные явления можно наблюдать при температурах около -200°C?
Планирование: Ключевой момент – обеспечение безопасности и легальное приобретение жидкого азота. Работа возможна только в специально оборудованной лаборатории (химической/физической) под постоянным контролем преподавателя. Необходимо: криогенный сосуд (дьюар) с жидким азотом, средства защиты (криогенные перчатки, защитные очки, закрытая обувь и одежда), термометр для низких температур (медный-константановая термопара), предметы для опытов: воздушный шарик, резиновая трубка, цветок, банан, свинцовая или керамическая сверхпроводящая таблетка, магнит.
2. **Проектировочный этап** (1 неделя)
Теоретическое исследование: Азот – инертный газ, составляющий 78% воздуха. Сжижение при температуре -195.8°C (77.4 К). Кипение при

постоянной температуре за счет поглощения теплоты парообразования из окружающей среды. Резкое охлаждение: причина хрупкости (потеря пластичности полимерами и металлами), увеличения хрупкости. Эффект Лейденфроста. Сверхпроводимость некоторых материалов при низких температурах.
Разработка методики: Составление плана демонстрационных опытов с четким описанием действий и ожидаемого результата:
Измерение температуры кипения.
«Исчезновение» воздуха из надутого шарика (сжижение воздуха внутри).
Потеря эластичности резины и цветов (становятся хрупкими).
Заморозка банана и его использование как молотка.
Демонстрация левитации магнита над охлажденным сверхпроводником (если есть набор).
Техника безопасности: Исчерпывающий инструктаж и постоянный надзор. Основные правила: не герметично закрывать сосуды с азотом (риск взрыва от давления), не трогать жидкий азот и охлажденные предметы голыми руками (ожоги), работать в хорошо проветриваемом помещении (риск удушья от паров азота).
3. **Практический этап** (1 день – работа с азотом, 1 неделя – подготовка и анализ)
Подготовка: Организация рабочего места: чистый, негорючий пол, хорошая вентиляция. Подготовка всех предметов для опытов.
Проведение эксперимента (под руководством):
Температура кипения: Погрузить термопару в дьюар, зафиксировать показания.
Объемное расширение: Налить небольшое количество азота в пластиковый стаканчик – наблюдать бурное кипение и «туман» (конденсат воздуха).
Воздушный шарик: Опустить надутый шарик в азот – он сожмется, затем вынуть – он снова надуется (воздух внутри сжижается, затем снова испаряется).
Изменение свойств материалов: Быстро окунуть резиновую трубку, розу, банан – после извлечения продемонстрировать их хрупкость.
Сверхпроводимость (если есть набор): Поместить сверхпроводящую таблетку в азот, затем положить на нее магнит – наблюдать левитацию.
Фиксация данных: Фото- и видеосъемка всех этапов (очень важно!). Запись показаний термометра. Подробное описание наблюдений в журнале.
4. **Аналитический этап** (1 неделя)
Обработка данных: Монтаж короткого видеоролика-демонстрации. Анализ видео для детального описания явлений.
Анализ результатов: Измеренная температура будет близка к -196°C. Бурное кипение и туман объясняются интенсивным теплообменом и конденсацией паров воды из воздуха. Потеря эластичности материалов – следствие

«заморозки» молекулярной подвижности. Эффект Лейденфроста наблюдается при быстром погружении влажного пальца (не делать!). Левитация магнита – прямое доказательство эффекта Мейснера в сверхпроводнике.

Выводы:

Жидкий азот является удобным и наглядным источником сверхнизких температур.

Его основные свойства (температура кипения, интенсивное испарение) полностью соответствуют теоретическим представлениям.

Сверхнизкие температуры радикально меняют механические свойства привычных материалов, делая их хрупкими.

На примере азота можно изучать фундаментальные физические явления: фазовые переходы, сверхпроводимость.

Гипотеза подтвердилась.

Рефлексия: Проект требует высочайшей дисциплины и ответственности. Самые яркие впечатления – от наглядности и зрелищности опытов. Важно подчеркивать научное объяснение за «фокусами».

5. **Презентационный этап**

Оформление работы: Отчет с акцентом на технику безопасности, теоретическим объяснением каждого опыта, фотографиями и выводами.

Продукт: Видеофильм-демонстрация свойств жидкого азота (лучший продукт, так как сами опыты на защите проводить крайне опасно). Коллекция «пострадавших» предметов (разбитый замороженный цветок, банан).

Защита: Презентация в формате научно-популярной лекции с показом смонтированного видео. Подробный разбор физики каждого показанного явления.

Необходимое оборудование и материалы: Жидкий азот в дьюаре, криогенные перчатки и защитные очки, термопара или криогенный термометр, набор предметов для опытов (шарик, резина, цветы, фрукты), набор для демонстрации сверхпроводимости (опционально), фото- и видеокамера.

Возможное развитие проекта: Количественное измерение теплоты парообразования азота. Изучение зависимости температуры кипения от давления. Сравнительное исследование воздействия на разные полимеры и металлы. Создание «азотной морозилки» для демонстрации явлений.



Проектная работа №24

Тема: Исследование влияния низкой температуры жидкого азота на растения.
Цель проекта: Изучить последствия сверхбыстрого глубокого замораживания тканей растений с помощью жидкого азота и объяснить наблюдаемые повреждения с точки зрения криобиологии и клеточной физики.
Задачи:
Изучить строение растительной клетки, роль воды в клетке и механизмы повреждения при замораживании (образование кристаллов льда).
Подобрать различные объекты для исследования (листья, лепестки цветов, сочные плоды).
Провести эксперимент по кратковременному погружению образцов в жидкий азот с последующим размораживанием.
Сравнить внешний вид и свойства замороженных и контрольных образцов (на ощупь, под микроскопом).
Объяснить причины необратимых повреждений, ведущих к гибели тканей.
Гипотеза: Быстрое замораживание в жидком азоте приведет к образованию мелких кристаллов льда как внутри клеток, так и в межклеточном пространстве. Эти кристаллы механически разрушат клеточные структуры (мембраны, органеллы). После оттаивания ткани потеряют тургор, станут водянистыми и темными, что визуально проявится как «ожог» и гибель образца.
Этапы работы:
1. **Подготовительный этап** (1-2 недели)
Выбор темы: Проект на стыке биологии и физики, объясняющий, почему мороз губителен для растений, и знакомящий с основами криоконсервации.
Постановка проблемы: Почему растения погибают от мороза? Что происходит с клетками при быстром замораживании до -196°C? Можно ли после этого их «оживить»?
Планирование: Работа с жидким азотом – строго под руководством в лаборатории. Подбор растительного материала: листья традесканции, пеларгонии (герани), лепестки роз или тюльпанов, ягоды клубники или винограда, кусочки яблока. Оборудование: дьюар с азотом, защитные средства, пинцеты, чашки Петри, микроскоп (желательно с возможностью фотосъемки), предметные и покровные стекла, дистиллированная вода, фильтровальная бумага.
2. **Проектировочный этап** (1 неделя)
Теоретическое исследование: Вода в клетке: свободная и связанная. При медленном замораживании вода выходит из клеток, кристаллы льда растут внеклеточно, вызывая обезвоживание. При быстром замораживании вода не успевает выйти, и кристаллы образуются внутри клеток, разрывая мембраны

и органеллы. Это несовместимо с жизнью. Явление плазмолиза и деплазмолиза. Процедура криоконсервации требует использования криопротекторов (глицерин, ДМСО) для предотвращения образования внутриклеточного льда.
Разработка методики: Для каждого вида образца подготовить контрольный (нетронутый) и опытный. Опытный образец пинцетом погрузить в жидкий азот на 30-60 секунд, затем извлечь и дать оттаять при комнатной температуре. Сравнить внешний вид, консистенцию, цвет. Приготовить микропрепараты из живых тканей контрольного и погибших тканей опытного образца для микроскопирования.
Техника безопасности: Стандартные правила работы с жидким азотом. Работа с микроскопом. Использование пинцетов для манипуляций.
3. **Практический этап** (1 день – работа с азотом, 1 неделя – анализ)
Подготовка: Приготовление всех образцов, этикетирование. Настройка микроскопа.
Проведение эксперимента:
Зафиксировать исходный вид всех образцов (фото).
Быстро погрузить каждый опытный образец в азот, засечь время, извлечь.
Наблюдать за процессом оттаивания: появление воды, изменение цвета, потеря формы.
Сравнить опытные и контрольные образцы: попробовать разорвать лист, надавить на ягоду.
Для листа традесканции или нижнего эпидермиса лука приготовить микропрепараты: контрольный (с каплей воды) и из оттаявшей ткани. Рассмотреть под микроскопом при малом и большом увеличении.
Фиксация данных: Фотографирование образцов на всех этапах: до, сразу после извлечения (покрытые инеем), после оттаивания. Фотографии микропрепаратов. Таблица: «Образец – Изменения после оттаивания (цвет, форма, тургор) – Вывод (ткань мертва/повреждена)».
4. **Аналитический этап** (1 неделя)
Обработка данных: Создание сравнительных фотоколлажей. Анализ микрофотографий.
Анализ результатов: Все опытные образцы потеряют упругость, потемнеют (особенно зеленые листья – разрушение хлорофилла и выход содержимого клеток), станут водянистыми. Под микроскопом в опытном образце будут видны разрушенные клетки: клеточные стенки могут остаться, но содержимое будет представлять собой бесструктурную массу, хлоропласты разрушены.
Выводы:
Сверхбыстрое замораживание жидким азотом без криопротекторов приводит к необратимым повреждениям и гибели растительных тканей.

Основная причина гибели – образование внутриклеточных кристаллов льда, механически разрушающих тонкие клеточные структуры.
Нарушение целостности мембран приводит к потере тургора и смешиванию клеточного содержимого, что проявляется в изменении цвета и консистенции.
Гипотеза подтвердилась: наблюдаемые эффекты полностью объясняются теорией криоповреждений.
Рефлексия: Проект сочетает эффектность макроэксперимента с глубиной микроскопического анализа. Важно провести четкую границу между этим разрушительным процессом и научной криоконсервацией, которая позволяет сохранять клетки живыми.
5. **Презентационный этап**
Оформление работы: Отчет, построенный как исследование в области криобиологии, с фотографиями макро- и микроизменений, их теоретическим объяснением.
Продукт: Коллекция образцов «до и после» в заспиртованном виде или на фото. Сравнительные микрофотографии. Видеозапись опыта с замораживанием листа или цветка.
Защита: Презентация с демонстрацией наглядных последствий (можно принести замороженный и оттаявший лист). Показ микрофотографий и объяснение того, что происходит на клеточном уровне.
Необходимое оборудование и материалы: Жидкий азот в дьюаре, средства защиты, разнообразный растительный материал (листья, цветы, ягоды), пинцеты, чашки Петри, световой микроскоп, предметные и покровные стекла, фотоаппарат/смартфон для макро- и микросъемки.
Возможное развитие проекта: Исследование влияния разных скоростей замораживания (азот vs морозильная камера). Попытка использования криопротекторов (замачивание в растворе сахарозы или глицерина перед заморозкой) и оценка их эффективности под микроскопом. Изучение морозостойкости разных растений (хвойные vs лиственные).



Проектная работа №25

Тема: Исследование эффекта Лейденфроста с помощью жидкого азота.
Цель проекта: Экспериментально исследовать и продемонстрировать эффект Лейденфроста – образование паровой прослойки между очень горячей поверхностью и жидкостью – в «обращенном» виде, используя сверххолодный жидкий азот и объекты комнатной температуры.
Задачи:
Изучить физику эффекта Лейденфроста: образование изолирующего слоя пара, температура Лейденфроста.
Освоить правила безопасной работы с жидким азотом.
Провести серию опытов, демонстрирующих «обратный» эффект Лейденфроста: поведение капель воды и других жидкостей на поверхности жидкого азота, а также поведение жидкого азота на теплой поверхности.
Измерить время испарения капли в разных режимах (контактное кипение vs левитация).
Объяснить наблюдаемые явления с позиций теплообмена и фазовых переходов.
Гипотеза: При контакте теплого объекта (например, капли воды) с поверхностью жидкого азота происходит столь интенсивное кипение, что образуется сплошная газовая прослойка из паров азота. Эта прослойка изолирует каплю от непосредственного контакта с жидкостью, заставляя ее левитировать и замедляя дальнейшее охлаждение и замерзание. Аналогично, капля жидкого азота, попавшая на теплый пол, будет «бегать» по нему на паровой подушке.
Этапы работы:
1. **Подготовительный этап** (1-2 недели)
Выбор темы: Проект позволяет изучить красивое и контринтуитивное физическое явление в экстремальных температурных условиях.
Постановка проблемы: Почему капля воды «пляшет» на раскаленной сковороде и не испаряется мгновенно? Работает ли этот принцип, если поменять местами горячее и холодное?
Планирование: Работа с жидким азотом – только в лаборатории под руководством. Оборудование: дьюар с азотом, средства защиты, металлический или стеклянный поднос с низкими бортиками, пипетки, вода, спирт, растительное масло, термопара (опционально), секундомер, высокоскоростная камера или смартфон с режимом замедленной съемки (желательно).
2. **Проектировочный этап** (1 неделя)
Теоретическое исследование: Классический эффект Лейденфроста: при контакте жидкости с поверхностью, температура которой значительно превышает точку кипения жидкости, часть жидкости мгновенно испаряется,

создавая тонкую пароговую прослойку. Эта прослойка имеет плохую теплопроводность, что резко уменьшает теплообмен и скорость испарения оставшейся жидкости. Для воды температура Лейденфроста ~200°C. В «обращенном» случае поверхность жидкого азота (-196°C) на сотни градусов холоднее точки кипения воды (100°C) или замерзания (0°C). При контакте тепло от капли так интенсивно передается азоту, что он вскипает, образуя прослойку из газообразного азота.
Разработка методики:
Налить тонкий слой жидкого азота в поднос.
Капнуть с небольшой высоты каплю воды. Наблюдать: будет ли она левитировать или мгновенно замерзнет.
Капнуть каплю спирта (имеет более низкую температуру замерзания и кипения).
Капнуть каплю масла (не замерзает при -196°C).
Осторожно! Пролить несколько капель азота на пол (теплый) и наблюдать их поведение.
Измерить время от контакта до полного замерзания/испарения капли в разных режимах.
Техника безопасности: Стандартные правила работы с азотом. Особое внимание при проливании азота на пол – убедиться, что пол не лакированный и не треснет от перепада температуры. Не допускать попадания брызг азота на кожу.
3. **Практический этап** (1 день – работа с азотом)
Подготовка: Организация рабочего места с теплой, сухой и ровной поверхностью пола. Настройка камеры для замедленной съемки.
Проведение эксперимента (под руководством):
Налить азот в поднос.
Капнуть воду. Наблюдать: капля будет «бегать» по поверхности, вибрировать, постепенно замерзая. Возможно, часть капель мгновенно замерзнет (если недостаточно тепла для создания устойчивой прослойки).
Капнуть спирт: испарение и левитация будут еще более активными, замерзания может не произойти.
Капнуть масло: оно, скорее всего, просто растечется и загустеет, без активного кипения.
Аккуратно вылить немного азота из дьюара на пол. Наблюдать, как капли азота «скачут» и быстро испаряются на парковой подушке.
Фиксация данных: Обязательная высокоскоростная или замедленная видеосъемка – ключевой метод фиксации. Запись времени жизни капель. Фотографии.
4. **Аналитический этап** (1 неделя)

Обработка данных: Анализ видеозаписей: подсчет частоты вибрации капель, наблюдение за этапами их «жизни» (левитация, начало замерзания, превращение в ледяной шарик).
Анализ результатов: Капли воды действительно левитируют на поверхности азота благодаря интенсивному кипению и образованию газовой прослойки. Со временем они теряют тепло, замерзают и тогда уже лежат на поверхности. Спирт, имея более низкую теплоту парообразования и температуру кипения, может полностью испариться, так и не замерзнув. Поведение капель азота на теплом полу – прямая аналогия классического эффекта, где роль горячей поверхности играет пол, а роль жидкости – азот.
Выводы:
Эффект Лейденфроста наблюдается не только на горячих поверхностях, но и в системе «теплый объект – сверххолодная жидкость».
Физическая природа явления одинакова: быстрый фазовый переход создает изолирующую газовую прослойку, резко снижающую теплопередачу.
Устойчивость левитации зависит от разности температур и свойств жидкости (температура кипения/замерзания, теплоемкость).
Гипотеза подтвердилась: капли демонстрируют поведение, характерное для эффекта Лейденфроста.
Рефлексия: Проект требует хорошей техники съемки для анализа. Явление очень красивое и наглядное. Важно подчеркнуть универсальность физического принципа.
5. **Презентационный этап**
Оформление работы: Отчет, центральным элементом которого является анализ видеозаписей и их теоретическое объяснение.
Продукт: Видеоролик в замедленном воспроизведении, наглядно показывающий левитацию и замерзание капель. Лучшие кадры в виде гиф-анимаций.
Защита: Презентация, построенная вокруг показа видеоролика. Пошаговый разбор кадров с объяснением, что и почему происходит в каждый момент времени.
Необходимое оборудование и материалы: Жидкий азот в дьюаре, средства защиты, металлический или пластиковый поднос, пипетки или шприцы, вода, спирт, растительное масло, секундомер, высокоскоростная или способная на замедленную съемку камера (смартфон).
Возможное развитие проекта: Исследование зависимости времени левитации от объема и температуры капли. Попытка измерить толщину пароговой прослойки косвенными методами. Изучение поведения сферических твердых тел (шариков) при опускании на поверхность азота. Сравнение с

классическим эффектом на горячей плите (с соблюдением ТБ!).



Проектная работа №26

Тема: Анализ водяного тумана и пара, создаваемого при помощи кипятка и жидкого азота.
Цель проекта: Исследовать физические процессы образования видимых атмосферных явлений – тумана и пара – в двух противоположных температурных режимах: при смешивании кипятка с холодным воздухом и жидкого азота с теплым воздухом.
Задачи:
Изучить природу атмосферных аэрозолей, условия конденсации и сублимации водяного пара.
Разработать методики безопасного создания тумана с помощью кипятка и жидкого азота.
Провести сравнительные эксперименты по генерации тумана, фиксируя его плотность, время жизни и поведение.
Проанализировать и объяснить разницу в механизмах образования «горячего» и «холодного» тумана.
Смоделировать природные явления (образование тумана над водоемом, ледяной туман) в лабораторных условиях.
Гипотеза: При выливании кипятка в холодный воздух образуется видимый «пар» (туман), представляющий собой мелкие капли воды, сконденсировавшиеся из пересыщенного водяного пара при его охлаждении. При контакте жидкого азота с воздухом образуется плотный белый туман, состоящий из мельчайших кристалликов льда, возникших как из-за конденсации атмосферной влаги, так и из-за сублимации паров азота.
Этапы работы:
1. **Подготовительный этап** (1-2 недели)
Выбор темы: Проект соединяет метеорологию, физику фазовых переходов и зрелищные эксперименты, объясняя природу привычных и экзотических явлений.
Постановка проблемы: Почему над чашкой чая виден пар, а при открытии морозильной камеры – туман? Что общего у этих явлений и чем они отличаются? Как создать самый густой туман?
Планирование: Работа с жидким азотом и кипятком требует строгого соблюдения ТБ. Необходимо: термос с кипятком, дьюар с жидким азотом, средства защиты (термостойкие перчатки, очки), широкий металлический или пластиковый таз, мерный цилиндр, фото- и видеокамера, термометр (для воздуха), возможно, гигрометр для измерения влажности воздуха в помещении. Работать в хорошо проветриваемом помещении или на улице.
2. **Проектировочный этап** (1 неделя)
Теоретическое исследование:

Пар – газообразное состояние воды, невидимо. То, что мы называем «паром» над чайником – это уже туман (аэрозоль) – взвесь мельчайших капель жидкой воды, образовавшихся при конденсации пара при его охлаждении ниже точки росы.
Точка росы – температура, при которой пар становится насыщенным и начинается конденсация.
С жидким азотом: При контакте с теплым воздухом азот бурно кипит, охлаждая окружающий воздух далеко ниже 0°C. Влага из воздуха конденсируется и мгновенно замерзает, образуя ледяной туман. Кроме того, пары азота сами по себе, будучи холоднее точки кипения кислорода, могут вызывать конденсацию и замерзание кислорода из воздуха.
Разработка методики: План сравнительных экспериментов:
«Горячий» туман: Вылить 100 мл кипятка из термоса в холодный таз или на морозный воздух. Снимать на видео процесс образования и рассеивания тумана.
«Холодный» туман: Налить 100 мл жидкого азота в таз при комнатной температуре. Наблюдать и снимать образование плотного, стелющегося по полу тумана.
Комбинированный опыт (с особой осторожностью!): Добавить небольшое количество жидкого азота в емкость с теплой (НЕ кипящей!) водой. Наблюдать взрывное образование тумана.
Техника безопасности: Критически важно. Запрещено лить азот в кипяток или наливать кипяток в азот – взрывоопасно из-за мгновенного парообразования. Комбинированный опыт проводить только с теплой водой и микродозами азота, на расстоянии, в защитной маске. Избегать вдыхания чистого тумана от азота (риск удушья).
3. **Практический этап** (1 день – проведение опытов)
Подготовка: Выбор безопасного места (например, пустой двор, лаборатория с мощной вытяжкой). Измерение температуры и влажности воздуха.
Подготовка камер.
Проведение эксперимента:
Опыт с кипятком: Провести на улице в прохладный день или в холодном помещении. Медленно вылить кипяток. Зафиксировать, как облако пара поднимается вверх, расширяется и исчезает.
Опыт с азотом: Поставить таз на пол. Аккуратно налить в него азот. Наблюдать, как плотный белый туман образуется над тазом и «стекает» на пол, ползая по нему. Измерить время, за которое испарится порция азота.
Комбинированный опыт (опционально и с максимальной осторожностью): В пластиковую бутылку налить 50 мл теплой воды (~40°C). Надеть защитную маску и очки. Добавить в бутылку пипеткой 5-10 мл жидкого азота, быстро отойти. Наблюдать выброс тумана.

Фиксация данных: Видеосъемка всех опытов с разных ракурсов.
Фотографии. Запись наблюдений: плотность тумана, направление движения (поднимается/стелется), время жизни, поведение (клубится, рассеивается).
4. **Аналитический этап** (1 неделя)
Обработка данных: Монтаж сравнительного видео. Анализ видеозаписей: скорость образования, динамика рассеивания.
Анализ результатов:
Кипяток: Теплый влажный воздух от кипятка, поднимаясь вверх, смешивается с холодным воздухом, пар конденсируется в капли – образуется быстро рассеивающийся туман, который поднимается вверх (теплый).
Азот: Образуется очень плотный, тяжелый туман. Он холоднее окружающего воздуха, поэтому не поднимается, а стелется по полу, как жидкость. Состоит в основном из кристалликов льда и, возможно, замерзшего кислорода/углекислого газа. Существует дольше, пока не испарится азот и туман не прогреется.
Комбинированный опыт: Демонстрирует максимальную скорость парообразования и создает очень густое облако за счет мгновенного охлаждения и конденсации огромного объема водяного пара из теплой воды.
Выводы:
Видимый «пар» и туман от азота – это разные агрегатные состояния воды (капли vs кристаллы), образованные в результате противоположных процессов (охлаждение пара vs сверхбыстрое замораживание влаги).
Поведение тумана (подъем/стеление) определяется его температурой относительно окружающего воздуха.
Интенсивность и плотность тумана зависят от разности температур и влажности.
Гипотеза подтвердилась, механизмы образования «горячего» и «холодного» тумана принципиально различны.
Рефлексия: Проект требует безупречного соблюдения ТБ, особенно в комбинированном опыте. Самый впечатляющий результат – наблюдение за поведением «тяжелого» тумана от азота. Проект развивает навыки наблюдения и анализа динамических процессов.
5. **Презентационный этап**
Оформление работы: Отчет, построенный как сравнительное исследование, с детальным объяснением физики каждого случая, схемами процессов и выводами.
Продукт: Сравнительный видеоролик, наглядно демонстрирующий разницу между двумя типами тумана. Фотографии в контрасте.
Защита: Презентация с показом смонтированного видео. Объяснение разницы на примере кадров: почему один туман идет вверх, а другой – вниз.
Необходимое оборудование и материалы: Термос с кипятком, жидкий азот в дьюаре, средства защиты (термостойкие перчатки, очки, маска), широкий

металлический/пластиковый таз, мерный цилиндр, термометр, гигрометр (опционально), фото- и видеокамера.
Возможное развитие проекта: Исследование зависимости плотности тумана от азота от влажности воздуха. Попытка собрать и рассмотреть под микроскопом кристаллы льда из «азотного» тумана. Создание устойчивой кольцевой струи тумана (тороидальный вихрь) с помощью азота.



Проектная работа №27

Тема: Анализ процессов кипения жидкого азота и воды.
Цель проекта: Провести сравнительное экспериментальное исследование процесса кипения двух жидкостей с радикально разными температурами кипения (вода при +100°C и азот при -196°C), выявить общие закономерности и специфические особенности этого фазового перехода.
Задачи:
Изучить теорию кипения: понятие температуры кипения, зависимость от давления, механизм образования пузырьков пара, скрытая теплота парообразования.
Разработать методики безопасного наблюдения и регистрации кипения воды и жидкого азота.
Провести эксперименты по визуализации кипения, фиксируя характер образования и роста пузырьков, интенсивность процесса.
Измерить температуру кипения обеих жидкостей при атмосферном давлении.
Сравнить поведение жидкостей при кипении и объяснить различия, исходя из их физико-химических свойств.
Гипотеза: Несмотря на гигантскую разницу в температурах, процессы кипения воды и жидкого азота будут подчиняться общим физическим законам: кипение начнется при достижении определенной температуры (соответствующей давлению), будет проходить с образованием пузырьков пара по всему объему и сопровождаться поглощением тепла. Кипение азота будет гораздо более интенсивным и бурным при контакте с комнатнотемпературными предметами из-за колоссальной разности температур.
Этапы работы:
1. **Подготовительный этап** (1-2 недели)
Выбор темы: Проект позволяет изучить фундаментальное явление в экстремальных условиях, развивая понимание универсальности физических законов.
Постановка проблемы: Кипит ли жидкий азот так же, как вода? Что общего между пузырьками в кипящем чайнике и «бульканьем» в сосуде с азотом?
Планирование: Работа с жидким азотом требует соблюдения ТБ.
Оборудование: электроплитка или спиртовка, термостойкий стакан с водой, термометр до 150°C, дьюар с жидким азотом, средства защиты, прозрачный сосуд из жаропрочного стекла (например, химический стакан на 500 мл) для наблюдения за кипением азота, термопара для низких температур, секундомер, фото/видеокамера с возможностью макросъемки.
2. **Проектировочный этап** (1 неделя)
Теоретическое исследование: Кипение – процесс интенсивного парообразования по всему объему жидкости, происходящий при

температуре, когда давление насыщенного пара равно внешнему давлению. Ключевые этапы: образование зародышей пара на неоднородностях (центры кипения), рост и отрыв пузырьков. Скрытая теплота парообразования воды огромна (2260 кДж/кг), азота – сравнительно невелика (199 кДж/кг), но теплоемкость окружающей среды (воздуха, предметов) при -196°C колоссальна.
Разработка методики:
Для воды: Нагревать воду на плитке, измеряя температуру. Фиксировать момент появления первых пузырьков на дне (начало кипения), затем установившееся бурное кипение. Снять на видео макросъемку пузырьков.
Для азота: Налить азот в прозрачный стакан (он начнет сразу бурно кипеть). Измерить его температуру термопарой. Наблюдать кипение: со дна и стенок. Провести опыт с погружением теплого предмета (металлический болт) – наблюдать взрывное кипение.
Техника безопасности: Стандартные меры при работе с кипятком и открытым огнем. При работе с азотом – перчатки, очки. Прозрачный сосуд для азота должен быть термостойким (боросиликатное стекло), чтобы не лопнул от перепада температуры.
3. **Практический этап** (1 день – проведение опытов)
Подготовка: Настройка камеры для макросъемки пузырьков. Калибровка термометров.
Проведение эксперимента:
Кипение воды: Нагревать воду, снимая показания термометра каждые 10°C. При ~90°C начать видеосъемку поверхности и боковой стенки. Зафиксировать температуру начала кипения. Продолжить съемку при установившемся кипении.
Кипение жидкого азота: Налить азот в прозрачный стакан. Быстро погрузить термопару, зафиксировать температуру. Снять на видео процесс кипения: пузырьки образуются преимущественно на стенках и дне. Добавить в стакан несколько гранул пенопласта или риса для визуализации потоков.
Интенсивное кипение: Аккуратно опустить в азот металлический болт комнатной температуры. Наблюдать и снимать взрывное, почти мгновенное кипение вокруг него.
Фиксация данных: Видеозаписи процессов кипения. Показания термометров. Фотографии. Таблица: «Жидкость – Температура кипения (измеренная) – Температура кипения (табличная) – Характер кипения (спокойное/бурное) – Наличие центров кипения».
4. **Аналитический этап** (1 неделя)
Обработка данных: Анализ видеозаписей: сравнение размера, скорости образования и отрыва пузырьков. Сравнение показаний температуры.
Анализ результатов:

Температура: Измеренная температура кипения воды будет близка к 100°C, азота – к -196°C.
Процесс: Кипение воды начинается с образования отдельных пузырьков на дне, затем переходит в бурное. Кипение азота в стакане похоже на кипение воды, но пузырьки мельче и их больше из-за огромного количества центров кипения (микронеровности стенок при такой разнице температур).
Интенсивность: При погружении теплого предмета кипение азота становится взрывным, так как тепловой поток огромен, а скрытая теплота парообразования относительно мала – азот мгновенно переходит в газ.
Общее: В обоих случаях кипение – это образование пузырьков пара внутри жидкости при достижении определенной температуры.

Выводы:

Процессы кипения воды и жидкого азота подчиняются одним и тем же фундаментальным физическим законам.
Основное различие заключается в температуре кипения, скрытой теплоте парообразования и, как следствие, в интенсивности процесса при контакте с окружающей средой.
Наблюдаемое «бурление» азота – это именно кипение, а не химическая реакция.
Гипотеза подтвердилась: обнаружены как универсальные закономерности, так и специфические особенности.
Рефлексия: Проект требует хорошей техники видеосъемки для анализа деталей. Поражает, как один закон описывает явления с разницей в 300 градусов. Важно сделать акцент на физическом единстве явлений, несмотря на разницу в ощущениях.

5. **Презентационный этап**

Оформление работы: Отчет-сравнение, где процессы кипения воды и азота описаны параллельно, с выделением общих принципов и различий.
Продукт: Сравнительный видеоролик, смонтированный из кадров кипения воды и азота (можно в split-screen). Фотографии пузырьков.
Защита: Презентация, построенная на противопоставлении и последующем объединении двух процессов. Показ видео с объяснением, что общего у пузырька в чайнике и пузырька в дьюаре.

Необходимое оборудование и материалы: Электроплитка, термостойкий стакан, вода, термометр (0-150°C), жидкий азот в дьюаре, средства защиты, прозрачный термостойкий стакан (боросиликатное стекло), термопара для низких температур, металлический предмет (болт), фото- и видеокамера с макрообъективом.
Возможное развитие проекта: Исследование зависимости температуры кипения азота от давления (если есть вакуумный насос). Измерение скорости испарения (кипения) азота в зависимости от площади открытой поверхности. Сравнение кипения других криогенных жидкостей (например, жидкого

кислорода – только в условиях спецлаборатории!).





Проектная работа №28

Тема: Исследование магнитной левитации при участии сверхпроводника и жидкого азота.
Цель проекта: Экспериментально продемонстрировать и изучить эффект Мейснера-Оксенфельда – полное вытеснение магнитного поля из объема сверхпроводника, приводящее к устойчивой левитации магнита над охлажденным сверхпроводящим материалом.
Задачи:
Изучить явление сверхпроводимости, его основные характеристики (критическая температура, ток, поле) и эффект Мейснера.
Приобрести или изготовить высокотемпературный сверхпроводник (ВТСП), способный переходить в сверхпроводящее состояние при охлаждении жидким азотом.
Отработать методику охлаждения сверхпроводника и демонстрации левитации.
Провести эксперименты по левитации различных магнитов, исследовав устойчивость и высоту левитации.
Объяснить наблюдаемое явление с позиций электродинамики и квантовой физики.
Гипотеза: При охлаждении высокотемпературного сверхпроводника (например, на основе иттрий-барий-медного оксида, YBCO) жидким азотом ниже его критической температуры (~90 K) он перейдет в сверхпроводящее состояние. Если над таким охлажденным сверхпроводником поместить постоянный магнит, то благодаря эффекту Мейснера в сверхпроводнике возникнут экранирующие токи, которые создадут магнитное поле, равное и противоположное полю магнита, что приведет к отталкиванию и устойчивой левитации магнита.
Этапы работы:
1. **Подготовительный этап** (2-3 недели)
Выбор темы: Один из самых зрелищных и фундаментальных экспериментов современной физики, демонстрирующий макроскопическое квантовое явление.
Постановка проблемы: Как заставить магнит парить в воздухе без постоянного подвода энергии и сложных систем управления? Что такое сверхпроводимость и почему она позволяет это сделать?
Плаширование: Проект требует приобретения специального набора. Необходимо: высокотемпературный сверхпроводник (обычно керамическая таблетка YBCO), жидкий азот в дьюаре, средство для охлаждения (пластиковая чашка Петри или специальная кювета), сильные неодимовые магниты разной формы (диск, кольцо, куб), пинцет, средства защиты

(перчатки, очки). Наборы «Сверхпроводимость и левитация» широко доступны для учебных целей.
2. **Проектировочный этап** (1 неделя)
Теоретическое исследование:
Сверхпроводимость: Состояние материала с нулевым электрическим сопротивлением и вытеснением магнитного поля (эффект Мейснера) ниже критической температуры (T_c).
Эффект Мейснера: В отличие от идеального проводника, сверхпроводник не просто не пропускает изменение поля, а активно выталкивает уже существующее поле из своего объема. Это приводит к отталкиванию от любого магнита.
«Запирание» магнитного потока (flux pinning): В неидеальных сверхпроводниках (как наша керамика) магнитные силовые линии могут «застревать» в дефектах. Это обеспечивает не просто отталкивание, а устойчивую левитацию в определенной позиции – магнит «запоминает» высоту и ориентацию.
Разработка методики:
Охладить сверхпроводник, погрузив его в жидкий азот на 2-3 минуты.
Быстро перенести его на сухую неглубокую подставку (чашку Петри).
Аккуратно поднести магнит (например, диск) сверху на расстояние 1-2 см и отпустить. Наблюдать левитацию.
Исследовать устойчивость: слегка подтолкнуть магнит, проверить, возвращается ли он в положение равновесия.
Попробовать левитировать разные магниты, измерить высоту левитации.
Техника безопасности: Работа с жидким азотом. Не прикасаться к охлажденному сверхпроводнику голыми руками. Использовать пинцет. Магниты должны быть достаточно сильными, но не гигантскими.
3. **Практический этап** (1 день – проведение опытов)
Подготовка: Организация рабочего места. Проверка всех компонентов.
Проведение эксперимента:
Охлаждение: Пинцетом поместить сверхпроводник в чашку с азотом. Дождаться прекращения бурного кипения.
Базовая левитация: Перенести сверхпроводник на сухое место. Поднести магнит – он начнет «проваливаться» вниз, а затем резко остановится и зависнет на высоте 0.5-2 см. Дать ему стабилизироваться.
Исследование устойчивости: Легко покрутить левитирующий магнит вокруг оси. Слегка надавить на него сверху и отпустить – он вернется на прежнюю высоту. Попробовать наклонить установку – магнит будет стараться сохранить свою позицию относительно сверхпроводника.
Эксперименты: Попробовать левитировать кольцевой магнит, несколько магнитов одновременно. Измерить линейкой высоту левитации для магнитов разного веса.

Фиксация данных: Обязательная качественная видеосъемка и фотографии левитирующего магнита с разных ракурсов. Таблица: «Тип/вес магнита – Высота левитации (мм) – Устойчивость (высокая/средняя) – Особые наблюдения (вращение и т.д.)».

4. **Аналитический этап** (1 неделя)

Обработка данных: Анализ видео, измерение высоты левитации по кадрам.

Анализ результатов: Магнит устойчиво левитирует. Его можно заставить вращаться, и он будет вращаться очень долго (минуты) из-за отсутствия трения. При наклоне магнит не падает, а смещается, стараясь остаться над сверхпроводником – это доказательство «запирания» потока, а не простого диамагнетизма. Более тяжелые магниты левитируют ниже. Все это – прямое доказательство перехода материала в сверхпроводящее состояние и проявления эффекта Мейснера.

Выводы:

Экспериментально продемонстрирован эффект Мейснера – ключевое свойство сверхпроводников.

Наблюдаемая устойчивая левитация обусловлена сочетанием полного выталкивания магнитного поля и «запирания» магнитного потока в неоднородностях сверхпроводника.

Опыт доказывает, что материал перешел в сверхпроводящее состояние при охлаждении жидким азотом.

Гипотеза подтвердилась полностью: магнит левитирует благодаря сверхпроводимости.

Рефлексия: Проект производит самое сильное впечатление. Сложность – в аккуратном обращении с хрупкой керамической таблеткой. Главный успех – не просто демонстрация «фокуса», а глубокое объяснение лежащих в основе квантово-механических явлений.

5. **Презентационный этап**

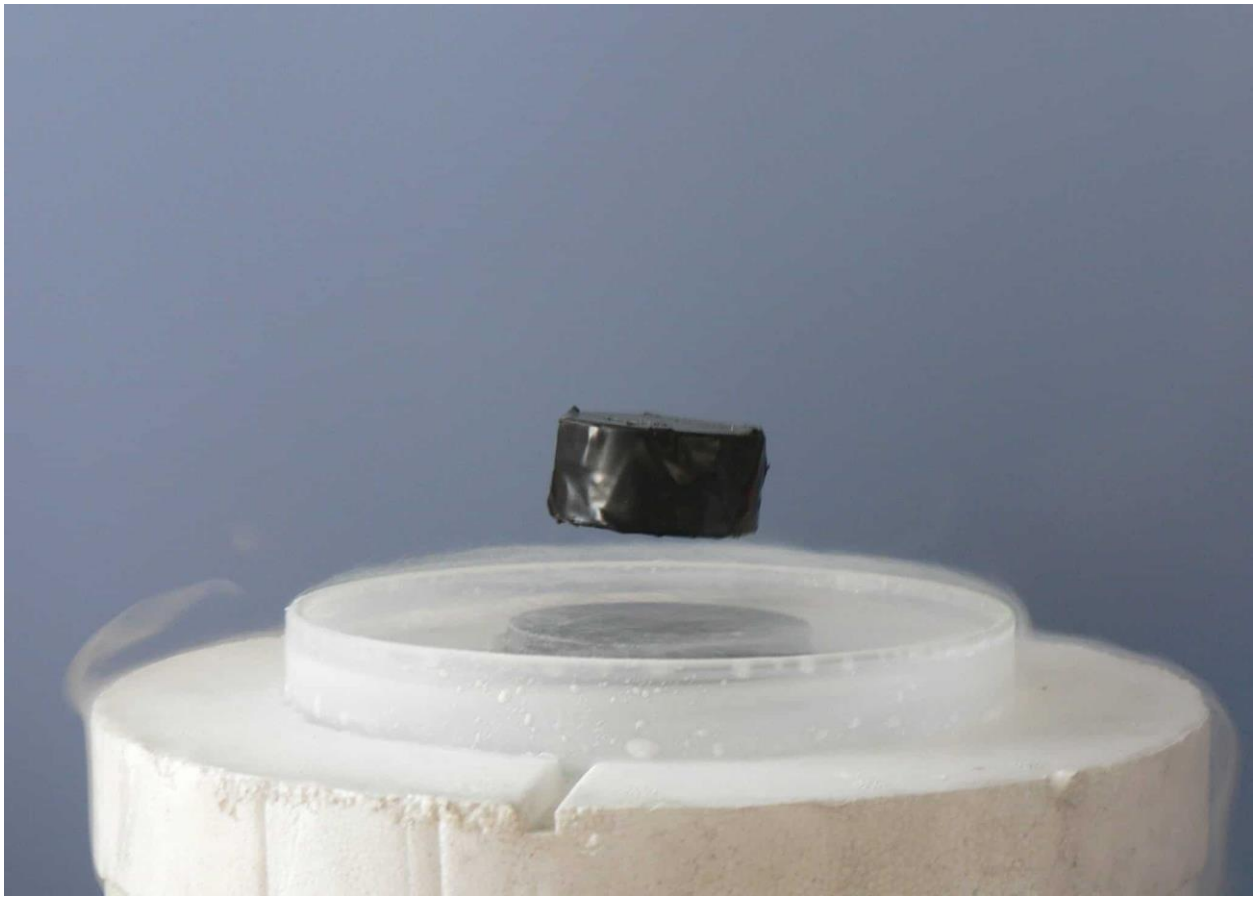
Оформление работы: Отчет, фокусирующийся на объяснении физики эффекта Мейснера и «запирания» потока, с фотографиями и описанием экспериментов.

Продукт: Видеоролик с левитирующим и вращающимся магнитом. Сама демонстрационная установка (охлажденный сверхпроводник с левитирующим магнитом) – лучший продукт для защиты.

Защита: Идеальная защита – живая демонстрация левитации. Если это невозможно – показ качественного видео. Доклад должен объяснять, почему левитация устойчива, в чем разница между сверхпроводником и просто хорошим проводником или диамагнетиком.

Необходимое оборудование и материалы: Набор «Сверхпроводимость и левитация» (ВТСП таблетка, чашка Петри), жидкий азот в дьюаре, неодимовые магниты разных форм, пинцет, средства защиты, линейка, фото- и видеокамера.

Возможное развитие проекта: Измерение критической температуры по исчезновению левитации при нагреве. Исследование зависимости высоты левитации от массы магнита. Создание модели поезда на магнитной подушке на сверхпроводящей дорожке. Изучение поведения сверхпроводника в магнитном поле с помощью датчика Холла.

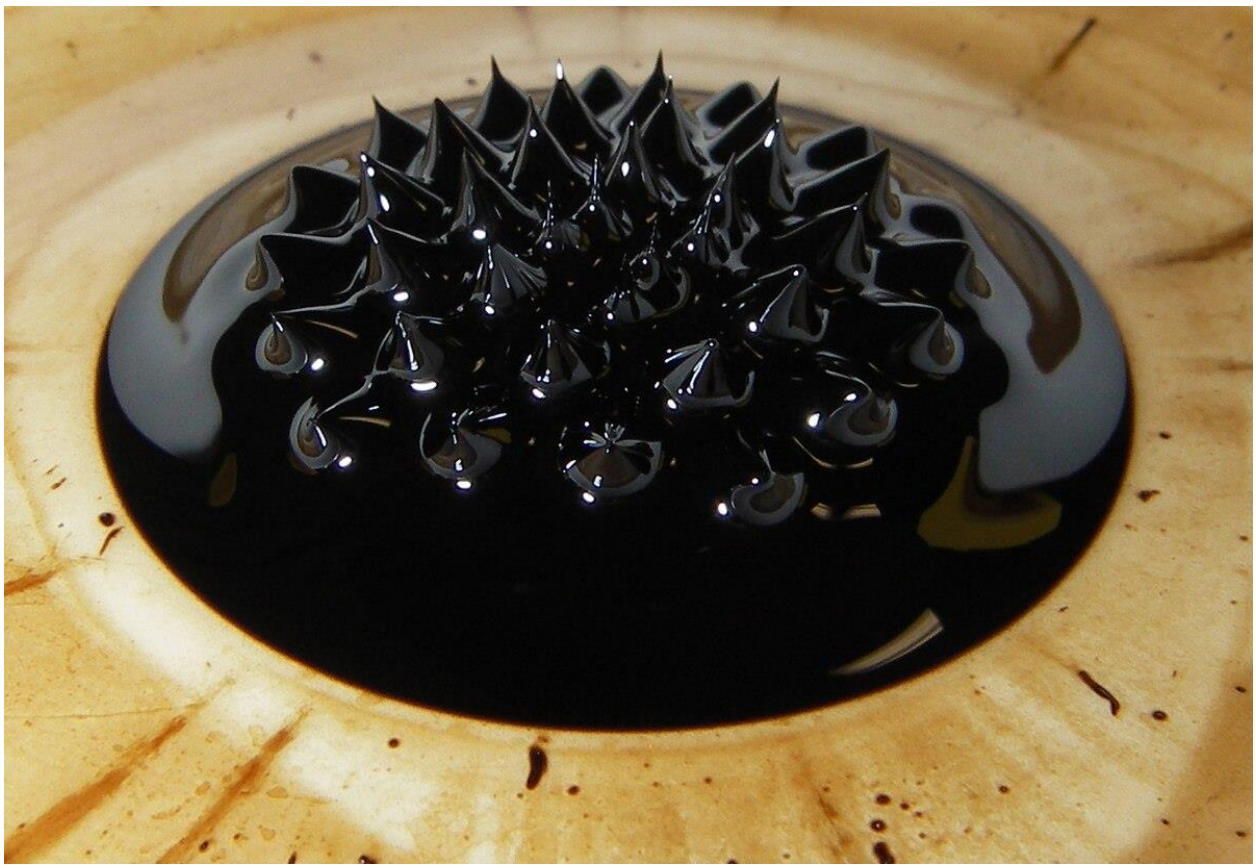


Проектная работа №29

Тема: Изучение свойств ферромагнитной жидкости и её применения.
Цель проекта: Исследовать уникальные физические свойства ферромагнитной жидкости (коллоидного раствора наночастиц ферромагнетика в жидкой среде) и продемонстрировать возможные принципы её применения в технике.
Задачи:
Изучить природу ферромагнетизма, понятие наночастиц и коллоидных систем.
Приготовить простейший аналог ферромагнитной жидкости или приобрести готовый образец.
Провести серию экспериментов по изучению поведения жидкости в магнитном поле (образование «ёжиков», структурирование).
Смоделировать возможные применения: уплотнитель, демпфер, сенсор, оптика.
Проанализировать преимущества и недостатки феррофлюидов по сравнению с традиционными материалами.
Гипотеза: Ферромагнитная жидкость будет вести себя как обычная жидкость в отсутствие магнитного поля, но под его воздействием её поверхность начнет структурироваться, образуя стабильные иглы и гребни («ежи»), а сама жидкость сможет удерживаться магнитом в любой пространственной ориентации. Эти свойства могут быть использованы для создания герметичных вращающихся уплотнений, демпфирующих систем и визуализации магнитных полей.
Этапы работы:
1. **Подготовительный этап** (1-2 недели)
Выбор темы: Проект объединяет нанотехнологии, магнетизм и гидродинамику, демонстрируя удивительный «умный» материал.
Постановка проблемы: Что это за черная жидкость, которая «оживает» под действием магнита? Как можно использовать жидкость, которая управляется магнитным полем?
Планирование: Вариант А (надежный): приобрести готовую безопасную ферромагнитную жидкость (например, на основе магнетита в керосине или минеральном масле). Вариант Б (экспериментальный): попытаться приготовить простейший аналог, смешав очень мелкий порошок магнетита (Fe_3O_4) с машинным или растительным маслом (результат будет менее стабильным). Оборудование: мощные неодимовые магниты, стеклянные пробирки и чашки Петри, шприц, микроскоп (желательно), камера для макросъемки.
2. **Проектировочный этап** (1 неделя)

Теоретическое исследование: Ферромагнитная жидкость – стабильная коллоидная система. Частицы магнетита (размером ~10 нм) покрыты поверхностно-активным веществом (ПАВ), которое предотвращает их слипание за счет броуновского движения. В магнитном поле частицы намагничиваются и стремятся выстроиться вдоль силовых линий, но броуновское движение мешает им осесть. Это приводит к балансу сил и образованию регулярных структур на поверхности жидкости – «ежей». Явление описывается безразмерным числом (отношение магнитной энергии к энергии теплового движения).
Разработка методики: План экспериментов:
Наблюдение поведения в пробирке: поднесение магнита сбоку и снизу.
Наблюдение поверхностных структур: каплю жидкости поместить в чашку Петри и поднести магнит снизу или сверху, изучая образующиеся иглы.
Модель уплотнения: намазать жидкость на вертикальную поверхность с вращающимся валом (например, карандашом) и показать, как магнит удерживает её на месте.
Визуализация поля: нанести тонкий слой жидкости на стекло и поднести снизу магнит, наблюдая картину силовых линий.
Техника безопасности: Готовые феррофлюиды обычно безопасны, но пачкают всё. Не допускать попадания в глаза и рот. При самостоятельном приготовлении – избегать вдыхания порошка магнетита. Работать в халате и перчатках.
3. **Практический этап** (1-2 недели)
Приготовление/приобретение: Получение рабочего образца жидкости.
Проведение эксперимента:
Пробирка: Налить жидкость в пробирку. Поднести магнит к стенке – жидкость потянется к магниту, образуя «живой» выступ. Поднести магнит ко дну и перевернуть пробирку – жидкость удержится у дна, не выливаясь.
Поверхностные структуры: Каплю (~0.5 мл) поместить в чашку Петри. Поднести магнит снизу на разном расстоянии. Наблюдать и снимать на видео образование острых пиков («ежей»). Поднести магнит сверху – капля «взберется» на магнит.
Модель уплотнения: Нанести полоску жидкости на вертикально закрепленный карандаш. Поднести кольцевой магнит, создавая поле вокруг карандаша. Показать, как жидкость фиксируется в зазоре.
Визуализация поля: Распределить тонкий слой жидкости по предметному стеклу. Подносить снизу магниты разной формы (стержневой, дугообразный, несколько магнитов), фотографирую получающиеся узоры.
Фиксация данных: Фото- и видеосъемка всех этапов. Особое внимание – на четкие снимки «ежей». Зарисовки узоров магнитного поля.
4. **Аналитический этап** (1 неделя)

Обработка данных: Создание галереи изображений поверхностных структур и визуализаций полей. Анализ зависимости высоты «ежей» от силы/расстояния магнита.
Анализ результатов: Жидкость действительно кардинально меняет поведение в магнитном поле: обретает «твердость», образует структуры, удерживается в невесомости. Узоры на стекле точно повторяют конфигурацию силовых линий магнитного поля (гуще над полюсами). Образующиеся пики – это результат минимизации суммарной энергии системы (магнитной + поверхностного натяжения).
Выводы:
Ферромагнитная жидкость является «умным материалом», чьи свойства (вязкость, форма поверхности) управляются внешним магнитным полем.
Наблюдаемые явления (левитация капли, образование «ежей») являются наглядной демонстрацией конкуренции магнитных сил, поверхностного натяжения и гравитации.
Эти свойства могут быть использованы для создания динамических уплотнений (в жёстких дисках), демпферов, систем доставки лекарств и визуализации невидимых полей.
Гипотеза подтвердилась полностью.
Рефлексия: Проект очень эффектен. Сложность – в получении качественной стабильной жидкости для чистых экспериментов. Самое удивительное – наблюдать, как жидкость обретает форму и твердость по «мановению» магнита. Проект стирает границу между жидкостью и твердым телом.
5. **Презентационный этап**
Оформление работы: Отчет, посвященный свойствам и применениям феррофлюидов, с качественными фотографиями экспериментов и схемами принципов работы устройств.
Продукт: Видеоролик, демонстрирующий ключевые опыты. Коллекция фотографий визуализации магнитных полей разных магнитов. Демонстрационный образец в пробирке.
Защита: Яркая презентация с живой демонстрацией нескольких опытов (например, удержание жидкости в перевернутой пробирке и создание «ежей»). Объяснение, как эти «фокусы» превращаются в полезные технологии.
Необходимое оборудование и материалы: Ферромагнитная жидкость (готовый образец), мощные неодимовые магниты разной формы, стеклянные пробирки, чашки Петри, предметные стекла, шприц, фото- и видеокамера с макрорежимом.
Возможное развитие проекта: Исследование зависимости вязкости жидкости от силы магнитного поля. Попытка синтеза собственного феррофлюида с различными ПАВ. Создание простейшей модели магнитного демпфера или замкнутого магнитного контура с жидкостью.

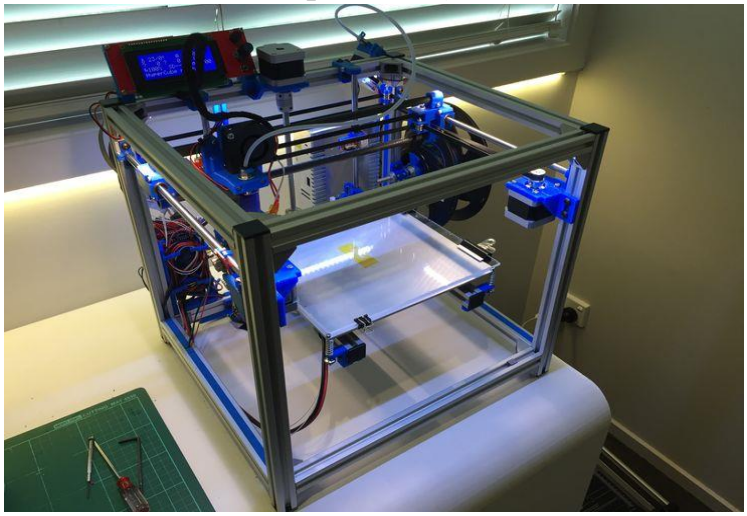


Проектная работа №30

Тема: Анализ принципов работы 3D-принтера.
Цель проекта: Изучить устройство и технологический процесс работы FDM (Fused Deposition Modeling) 3D-принтера, освоить полный цикл создания физического объекта от цифровой модели до готового изделия и проанализировать влияние ключевых параметров печати на качество результата.
Задачи:
Изучить основы аддитивных технологий, историю и основные типы 3D-печати, с фокусом на FDM.
Изучить устройство и кинематику принтера (оси, шаговые двигатели, экструдер, нагревательный блок).
Освоить базовые навыки 3D-моделирования в простой САПР (например, Tinkercad) или найти готовую модель.
Освоить работу со слайсером (Cura, PrusaSlicer): настройка параметров (высота слоя, температура, заполнение, поддержки).
Провести сравнительную печать одной модели с разными настройками, проанализировать качество, точность и прочность образцов.
Гипотеза: Качество и свойства напечатанной детали напрямую зависят от параметров, заданных в слайсере. Увеличение высоты слоя ускорит печать, но ухудшит точность и гладкость поверхности. Увеличение процента заполнения повысит прочность, но увеличит время печати и расход материала. Неправильная настройка температуры приведет к плохому сцеплению слоев или засорению сопла.
Этапы работы:
1. **Подготовительный этап** (2-3 недели)
Выбор темы: Проект носит ярко выраженный прикладной и технологический характер, развивая навыки цифрового производства, инженерии и анализа.
Постановка проблемы: Как из цифрового чертежа получается реальная вещь? Что происходит внутри принтера и как управлять качеством печати?
Планирование: Ключевое условие – доступ к 3D-принтеру (школьный, домашний, кружковый). Необходимо: сам принтер, филамент (PLA-пластик, 1.75 мм), компьютер с ПО: САПР (Tinkercad, Fusion 360) и слайсер (Cura), калибровочные модели (калибровочный куб, overhang test), инструменты для постобработки (бокорезы, наждачная бумага), штангенциркуль для измерений.
2. **Проектировочный этап** (1-2 недели)
Теоретическое исследование: FDM-технология: пластиковая нить (филамент) подается в экструдер, плавится в хот-энде и выдавливается через сопло, формируя слой за слоем. Основные компоненты: рама, шаговые двигатели, приводные ремни/винты, плата управления, нагревательный стол. Важность

калибровки (выравнивание стола). Роль слайсера – «нарезка» 3D-модели на слои и генерация G-кода – управляющей программы для принтера.
Разработка методики:
Калибровка: Провести первичную калибровку принтера (выравнивание стола, проверка экструдера).
Тестовая модель: Выбрать или создать простую, но показательную модель (например, калибровочный куб 20х20х20 мм с надписью).
План эксперимента: Напечатать эту модель 4 раза с разными настройками в слайсере:
Вариант 1: Высота слоя 0.1 мм (качественный режим).
Вариант 2: Высота слоя 0.3 мм (быстрый режим).
Вариант 3: Заполнение 20% (стандартное).
Вариант 4: Заполнение 80% (прочное).
Анализ: Сравнить время печати, внешний вид (лестничный эффект), измерить фактические размеры штангенциркулем, провести тест на прочность (сжатие в руках или падение с малой высоты).
3. **Практический этап** (2-3 недели)
Обучение и калибровка: Освоение основ работы в Tinkercad. Создание или скачивание тестовой модели. Калибровка принтера.
Проведение эксперимента:
Загрузить модель в слайсер. Для Варианта 1 задать слой 0.1 мм, заполнение 20%, скорость 50 мм/с. Сохранить G-код, отправить на печать. Засечь время.
Для Варианта 2 изменить только высоту слоя на 0.3 мм. Распечатать.
Для Варианта 3 (или нового) изменить заполнение на 80% при слое 0.2 мм. Распечатать.
Дополнительно: Попробовать напечатать модель с большими свесами без поддержек и с поддержками, чтобы увидеть разницу.
Фиксация данных: Фотографии каждого этапа печати и готовых образцов с разных ракурсов. Запись времени печати и настроек для каждого образца. Результаты измерений размеров. Видео проведения простого теста на прочность.
4. **Аналитический этап** (1 неделя)
Обработка данных: Создание сравнительной таблицы: «Образец – Настройки – Время печати – Отклонение размеров (мм) – Качество поверхности – Субъективная прочность».
Анализ результатов: Образец с высотой слоя 0.1 мм будет иметь более гладкие боковые поверхности, но печататься в 2-3 раза дольше. Образец 0.3 мм будет быстрым, но с ярко выраженными «ступеньками». Образец с 80% заполнения будет ощутимо тяжелее и прочнее на излом/сжатие, чем с 20%. Калибровочный куб покажет точность принтера: отклонения по осям X, Y, Z.
Выводы:

Работа FDM-принтера представляет собой точное позиционирование экструдера с послойным наплавлением термопласта.
Параметры слайсера являются критически важными для конечных характеристик изделия, подтверждая гипотезу о компромиссе «качество-время-прочность».
Для каждой задачи (прототип, финальная деталь, художественный объект) требуется свой набор настроек.
Проект демонстрирует полный цифровой производственный цикл «модель – настройка – изготовление – анализ».
Рефлексия: Проект практико-ориентирован. Сложности: возможные сбои печати (отслоение, забитое сопло), требующие навыков диагностики. Успех – создание осязаемого объекта своими руками из цифровой идеи.
5. **Презентационный этап**
Оформление работы: Технический отчет, включающий описание устройства принтера, скриншоты настроек слайсера, фотографии процесса и сравнительный анализ образцов.
Продукт: Коллекция напечатанных образцов с разными параметрами, подписанных и размещенных рядом для сравнения. Видео процесса печати.
Защита: Демонстрация работающего принтера (или видео). Показ образцов, объяснение, какие настройки к какому результату привели. Рассказ о цепочке от идеи до изделия.
Необходимое оборудование и материалы: FDM 3D-принтер, филамент PLA (1.75 мм), компьютер с доступом в интернет и установленным слайсером, калибровочные модели (STL файлы), штангенциркуль, бокорезы, фото- и видеокамера.
Возможное развитие проекта: Печать функциональных деталей (шестеренка, кронштейн) с испытанием на работоспособность. Исследование свойств разных материалов (ABS, PETG). Модификация принтера (установка другого сопла, кастомная прошивка). Создание собственной полезной модели с нуля.



Проектная работа №31

Тема: Исследование принципов очистки воды современными способами.
Цель проекта: Сравнить эффективность различных современных и традиционных методов очистки воды (механическая фильтрация, сорбция, ионный обмен, мембранные технологии) на модельных загрязнителях и предложить оптимальную схему для заданных условий.
Задачи:
Изучить виды загрязнений воды (механические, химические, биологические) и соответствующие им методы очистки.
Собрать установки, моделирующие работу разных типов фильтров: песчано-гравийного, угольного, ионообменного (на примере умягчения), мембранного (микрофильтрация).
Приготовить модельные загрязненные воды (взвесь, окрашенный раствор, жесткая вода).
Провести очистку каждой «грязной» воды через разные фильтры, оценивая эффективность по прозрачности, цвету, электропроводности или тестам.
Проанализировать результаты, выделив достоинства и ограничения каждого метода, и предложить комбинированную систему.
Гипотеза: Ни один метод очистки не является универсальным.
Механический фильтр удалит только нерастворимые примеси, угольный – окраску и органику, ионообменная смягчит воду, а мембранный фильтр обеспечит самую глубокую очистку, но может быть медленным. Наибольший эффект даст последовательное (каскадное) применение методов в определенном порядке.
Этапы работы:
1. **Подготовительный этап** (2-3 недели)
Выбор темы: Проект имеет высокую практическую и экологическую значимость, интегрируя знания химии, биологии и инженерии.
Проблема: Какую воду можно считать чистой? Как работают бытовые и промышленные фильтры и какой из них лучше?
Планирование: Подбор материалов для фильтров: песок, гравий, активированный уголь (гранулированный), ионообменная смола (катионит, например, для умягчителей), мембрана (можно использовать фильтр для кофе-машины или dialysis мембрану). Основа фильтров – пластиковые бутылки с отрезанным дном. Загрязнители: почва (взвесь), пищевой краситель или чернила (органика+цвет), раствор поваренной соли и хлорида кальция (соли жесткости). Оборудование: колбы, мерные цилиндры, TDS-метр (солемер) или кондуктометр, тесты на жесткость, pH-метр, фотоаппарат.
2. **Проектировочный этап** (1-2 недели)
Теоретическое исследование:

Механическая фильтрация: Задержка частиц размером больше пор фильтра.
Сорбция на активированном угле: За счет огромной площади поверхности удерживает молекулы органики, хлор, некоторые тяжелые металлы.
Ионный обмен: Смола замещает ионы кальция и магния (жесткость) на ионы натрия.
Мембранная фильтрация (микро/ультрафильтрация): Физический «барьер» с очень мелкими порами, задерживающий бактерии, коллоиды, крупные молекулы.
Разработка методики: Создание 4-х фильтрующих колонн из бутылок:
Механический: слой ваты + гравий + песок.
Угольный: слой ваты + гранулированный уголь + вата.
Ионообменный: слой ионообменной смолы.
Мембранный: мембрана, зажатая в воронке.
План эксперимента: пропустить каждый вид загрязненной воды через каждый фильтр. Оценивать результат: для взвеси – прозрачность (визуально, фото), для красителя – цвет (фото, спектрофотометр если есть), для солей – изменение электропроводности (TDS-метр) или тест на жесткость.
3. **Практический этап** (2-3 недели)
Изготовление фильтров: Засыпка и утрамбовка материалов в бутылки-колонны. Проверка на герметичность и скорость протекания чистой воды.
Проведение эксперимента:
Мутная вода (почва): Пропустить через каждый фильтр. Собрать фильтрат, сфотографировать на темном фоне. Механический и угольный дадут прозрачную воду, мембранный – тоже, ионообменный – не эффективен.
Окрашенная вода (краситель): Пропустить через фильтры. Угольный должен почти полностью обесцветить. Остальные – нет.
Жесткая вода (соли Ca^{2+}, Mg^{2+}): Пропустить через фильтры. Измерить электропроводность до и после. Ионообменный фильтр резко снизит проводимость (умягчит). Мембранный – немного снизит (задержит часть ионов). Угольный и механический – не повлияют.
Комбинированная очистка: Пропустить самый «грязный» раствор (муть+краситель+соли) последовательно через механический, затем угольный, затем ионообменный фильтры. Оценить итоговое качество.
Фиксация данных: Фотографии всех этапов, особенно рядов проб до и после очистки. Таблица: «Тип загрязнения – Тип фильтра – Результат (прозрачность, цвет, электропроводность) – Вывод».
4. **Аналитический этап** (1 неделя)
Обработка данных: Создание наглядных коллажей «до/после». Построение диаграмм снижения электропроводности.
Анализ результатов: Данные подтвердят гипотезу о специфичности методов. Механический фильтр очистит только от взвеси. Угольный – от цвета и запаха. Ионообменный – умягчит воду. Мембранный показал хорошие

результаты против взвеси и частично против солей. Комбинированная система дала наилучший комплексный результат.

Выводы:

Современные методы очистки воды высокоспецифичны и направлены на удаление определенных классов загрязнений.

Для получения воды высокого качества необходимо использовать каскад (последовательность) фильтров, где каждый последующий удаляет то, что не удалил предыдущий.

Типовая эффективная последовательность: механическая предварительная очистка → сорбция на угле → умягчение/обеззараживание → тонкая мембранная фильтрация.

Гипотеза подтвердилась: комбинированный подход является оптимальным.

Рефлексия: Проект нагляден и практически полезен. Сложность – в количественных измерениях (жесткость, TDS). Проект позволяет критически оценивать рекламу фильтров «на все случаи жизни» и понимать важность анализа исходной воды.

5. **Презентационный этап**

Оформление работы: Отчет в виде исследовательской работы с разбором каждого метода, схемами установок, таблицами и фотодоказательствами эффективности.

Продукт: Демонстрационные фильтрующие колонны. Набор пробирок с водой «до» и «после» очистки разными методами, выставленные в ряд для сравнения.

Защита: Презентация с демонстрацией работы одного из фильтров (например, угольного, окрашивая воду). Показ коллекции образцов и объяснение, почему для чистой воды нужна целая «фабрика» из разных фильтров.

Необходимое оборудование и материалы: Пластиковые бутылки (1.5 л), вата, речной песок, гравий, активированный уголь (гранулированный), ионообменная смола, мембранный фильтр почва, пищевой краситель, поваренная соль, хлорид кальция, мерные цилиндры, колбы, TDS-метр/кондуктометр, тесты на жесткость, фотоаппарат.

Возможное развитие проекта: Исследование эффективности против конкретных загрязнителей (нитраты, железо). Изучение явления сорбционной емкости угля (сколько красителя он может поглотить). Конструирование и испытание компактного проточного фильтра для дома.

Эксперименты с солнечной дистилляцией как методом опреснения.



Проектная работа №32

Тема: Исследование отличий лазерного излучения и видимого света.
Цель проекта: Провести экспериментальное сравнительное исследование свойств лазерного излучения и излучения от обычного теплового источника (лампы накаливания или светодиодного фонарика) для доказательства их принципиальных различий и объяснения уникальных свойств лазера.
Задачи:
Изучить теорию когерентного (лазерного) и некогерентного (теплового) излучения, понятия монохроматичности, направленности и плотности мощности.
Разработать установки и методики для наглядной демонстрации ключевых различий.
Провести серию сравнительных экспериментов по изучению пространственной когерентности (интерференция), направленности (расходимость пучка), спектрального состава и способности к локализации энергии.
Проанализировать результаты и сделать выводы о физических причинах уникальности лазерного излучения.
Объяснить, как эти свойства определяют области применения лазеров.
Гипотеза: Лазерное излучение будет обладать высокой степенью когерентности, что проявится в способности давать устойчивую интерференционную картину даже при рассеянии на неровной поверхности. Лазерный пучок будет иметь малую расходимость, сохраняя форму и интенсивность на большом расстоянии. Спектр лазера будет узкополосным (монохроматичным), в отличие от широкого спектра лампы.
Этапы работы:
1. **Подготовительный этап** (1-2 недели)
Выбор темы: Проект затрагивает фундаментальную оптику и объясняет, почему лазеры являются революционным изобретением, а не просто «цветными фонариками».
Постановка проблемы: Почему луч лазерной указки виден как тонкая линия, а луч фонарика – как расходящийся конус? Почему лазер может резать металл, а свет лампочки – нет?
Планирование: Подбор источников: лазерная указка (красная, 650 нм, малой мощности), светодиодный фонарик белого свечения (желательно с коллиматором для формирования пучка), лампа накаливания. Оборудование: экран, линейка (2 м), дифракционная решетка (100-300 штрихов/мм), CD/DVD-диск, линза, лист белой бумаги с мелкой шероховатостью (например, ватман), темное помещение, фотоаппарат.
2. **Проектировочный этап** (1 неделя)
Теоретическое исследование: Ключевые свойства лазерного излучения:

Когерентность: Волны согласованы по фазе. Позволяет наблюдать интерференцию даже от протяженных и хаотичных источников (пятно лазера на стене «искрит» – это интерференция на микронеровностях).
Направленность (малая расходимость): Связана с когерентностью и конструкцией резонатора. Пучок почти параллелен.
Монохроматичность: Очень узкий спектральный интервал. Связана с излучением на одном атомном переходе.
Высокая плотность мощности: Энергия сконцентрирована в узком пучке, что позволяет фокусировать ее в пятно с огромной интенсивностью.
Разработка методики:
Расходимость пучка: Направить лазер и фонарик на экран с расстояния 1 м и 5 м. Измерить диаметр светового пятна. Рассчитать угловую расходимость.
Интерференция (пятно «спекл-структура»): Направить лазер и фонарик на белую шероховатую поверхность (бумага) с расстояния 1-2 м. Наблюдать и фотографировать пятно. Лазер даст «зернистую» картину (спеклы), фонарик – равномерное пятно.
Спектральный анализ: Направить лазер и свет фонарика на дифракционную решетку или CD. Наблюдать спектр на экране. У лазера – одна четкая точка (или несколько для многомодового), у фонарика – сплошная радужная полоса.
Фокусировка: Сфокусировать луч лазера и свет фонарика линзой на лист бумаги. Сравнить размер и яркость светового пятна в фокусе.
3. **Практический этап** (1-2 недели)
Подготовка: Организация темной комнаты или затемненного коридора длиной 5-10 м. Закрепление экрана, разметка расстояний.
Проведение эксперимента:
Расходимость: Закрепить лазер и фонарик. С расстояния L1=1 м измерить диаметр пятна D1. С расстояния L2=5 м измерить D2. Рассчитать расходимость: $\theta = (D2 - D1) / 2*(L2 - L1)$. Для лазера она будет на порядки меньше.
Спекл-структура: Сфотографировать пятно лазера и фонарика на шероховатой поверхности. Приблизить камеру для детальной съемки «зернистости» лазерного пятна.
Дифракция на решетке: Установить решетку. Наблюдать и сфотографировать картину: для лазера – ряд ярких точек, для белого фонарика – радужные полосы.
Фокусировка: С помощью одной линзы попытаться получить самое маленькое пятно от лазера и фонарика на бумаге. Сравнить минимальные размеры.
Фиксация данных: Фотографии всех экспериментов (особенно спеклов и спектров). Таблица с измерениями диаметров пятен и расчетами расходимости. Зарисовки наблюдаемых картин.

4. **Аналитический этап** (1 неделя)
Обработка данных: Расчет угловой расходимости. Создание коллажей сравнительных фотографий (спеклы, спектры).
Анализ результатов: Лазерный пучок показал расходимость в пределах нескольких миллирадиан, луч фонарика – десятки или сотни. На шероховатой поверхности лазер дал четкую спекл-структуру, что является прямым доказательством высокой пространственной когерентности. Дифракционная картина лазера состоит из дискретных точек, фонарика – из сплошных полос, что доказывает монохроматичность лазера. Лазер легко фокусируется в ярчайшую точку, фонарик дает размытое пятно.
Выводы:
Лазерное излучение принципиально отличается от теплового по степени когерентности, монохроматичности и направленности.
Наблюдение спекл-структуры – простой и наглядный школьный метод доказательства когерентности лазера.
Эти уникальные свойства позволяют использовать лазеры для точных измерений (интерферометрия), передачи информации (оптоволокно), обработки материалов (резка, сварка) и создания мощных источников света.
Гипотеза подтвердилась полностью.
Рефлексия: Проект очень нагляден. Самый впечатляющий результат – наблюдение «живых», мерцающих спеклов, которые являются квантово-механическим явлением. Проект развивает понимание волновой природы света и ее практических следствий.
5. **Презентационный этап**
Оформление работы: Отчет, построенный как доказательное исследование, где каждое свойство лазера подтверждается отдельным экспериментом с фотографиями и измерениями.
Продукт: Сравнительные фотоколлажи: спеклы vs равномерное пятно; дискретный vs сплошной спектр. Видео, демонстрирующее расходимость пучка на большом расстоянии.
Защита: Презентация с демонстрацией ключевых опытов: показать спеклы на стене, спроецировать спектры. Объяснить, как из этих «красивых картинок» следуют революционные технологии.
Необходимое оборудование и материалы: Лазерная указка (красная, 5 мВт), светодиодный фонарик с коллиматором, лампа накаливания, дифракционная решетка, CD-диск, линза (с фокусным расстоянием 5-10 см), белый экран, рулетка (5-10 м), лист белой матовой бумаги, темное помещение, фотоаппарат.
Возможное развитие проекта: Количественное измерение длины когерентности лазера с помощью интерферометра Майкельсона (сложно). Исследование поляризации лазерного излучения. Сравнение лазеров разных типов (красный vs зеленый). Эксперимент по передаче звука с помощью

модулированного лазерного луча.



Проектная работа №33

Тема: Изучение принципов работы квантовых точек.
Цель проекта: Исследовать явление размерного квантования на примере коллоидных квантовых точек, изучить зависимость их спектра люминесценции (цвета свечения) от размера нанокристаллов и объяснить это явление с позиций квантовой механики.
Задачи:
Изучить теорию «частицы в яме», понятие экситона и явление фотолюминесценции в полупроводниках.
Приобрести готовые образцы коллоидных квантовых точек с разным размером (разным цветом свечения) или синтезировать их по упрощенной методике (с участием руководителя).
Провести эксперименты по возбуждению фотолюминесценции точек УФ-излучением и наблюдению их цвета свечения.
Измерить или проанализировать спектры излучения точек разного размера (если есть спектрофотометр) или зафиксировать цвет фотографически.
Сопоставить размер частиц (известный или измеренный по методике синтеза) с цветом их свечения и объяснить наблюдаемую зависимость.
Гипотеза: Коллоидные квантовые точки на основе селенида кадмия (CdSe) при облучении ультрафиолетом будут излучать видимый свет. Цвет этого свечения будет определяться размером нанокристаллов: самые мелкие точки будут светиться синим цветом, средние – зеленым, крупные – красным. Это связано с увеличением ширины запрещенной зоны при уменьшении размера кристалла из-за квантово-размерного эффекта.
Этапы работы:
1. **Подготовительный этап** (2-3 недели)
Выбор темы: Проект знакомит с нанотехнологиями и квантовой физикой на одном из самых ярких и коммерчески успешных примеров.
Постановка проблемы: Почему крошечные кристаллы одного и того же вещества светятся разными цветами? Как можно «настроить» цвет материала, меняя не его состав, а только размер?
Планирование: Рекомендуемый путь – использование готовых безопасных образцов. Можно приобрести набор для демонстрации (например, флаконы с квантовыми точками в полимерной матрице или растворе, светящиеся синим, зеленым, желтым, красным под УФ). Альтернатива – синтез в химической лаборатории под руководством (требует работы с токсичными соединениями кадмия). Оборудование: УФ-лампа (лучше всего длинноволновая УФ-А, 365 нм, в защитных очках!), темная комната, фотоаппарат, спектрофотометр (если доступен), пробирки, пипетки.
2. **Проектировочный этап** (1 неделя)

Теоретическое исследование: Квантовая точка – это нанокристалл полупроводника (обычно CdSe), размером 2-10 нм. В объемном полупроводнике электрон и дырка образуют экситон с определенной энергией связи (ширина запрещенной зоны). Если размер кристалла становится меньше, чем боровский радиус экситона (~5 нм для CdSe), электрон и дырка оказываются «запертыми» в потенциальной яме. Энергия основного состояния системы увеличивается (растет ширина эффективной запрещенной зоны) по мере уменьшения размера ямы. Формула для бесконечно глубокой ямы: $E \sim h^2/(8m^*R^2)$, где R – радиус точки. Более высокая энергия фотона соответствует синему свету.
Разработка методики: Если точки в растворе: налить в пробирки, облучить УФ-лампой в темноте, сфотографировать свечение. Если точки в полимерных блоках – просто осветить УФ. Для сравнения цвета можно использовать цветовую шкалу или, в идеале, снять спектр излучения с помощью спектрометра, подключенного к ПК (или даже самодельного на основе CD). Сравнить с табличными данными: для CdSe: ~2 нм – синий, ~3 нм – зеленый, ~5 нм – желтый, ~7 нм – красный.
Техника безопасности: Обязательны защитные очки, блокирующие УФ! Не смотреть на УФ-лампу и не направлять ее на людей. При работе с растворами точек – перчатки. При синтезе – строжайшие меры в вытяжном шкафу.
3. **Практический этап** (1-2 недели)
Подготовка: Организация темного места. Проверка работы УФ-лампы (можно посветить на банкноты или другие предметы с флуоресценцией). Приготовление образцов.
Проведение эксперимента:
Наблюдение фотолюминесценции: В темноте осветить УФ-лампой образцы квантовых точек. Наблюдать яркое, насыщенное свечение. Зафиксировать визуально разницу в цвете.
Фотодокументация: Сфотографировать все образцы, светящиеся в темноте, с одинаковыми настройками баланса белого камеры.
Качественное сравнение: Разместить пробирки в ряд от самой коротковолновой (синей) к длинноволновой (красной). Сделать общий снимок.
Спектральные измерения (если возможно): Направить свет от каждой светящейся точки в щель спектрометра или спроецировать изображение светящейся пробирки через дифракционную решетку на экран/камеру. Зафиксировать положение максимума излучения.
Фиксация данных: Фотографии светящихся образцов. Таблица: «Образец (предполагаемый размер/цвет) – Наблюдаемый цвет свечения – Длина волны максимума (нм, если измерено)».
4. **Аналитический этап** (1 неделя)

Обработка данных: Создание цветного коллажа. Если сняты спектры – построение графиков интенсивности от длины волны.
Анализ результатов: Наблюдается четкая зависимость: чем меньше размер квантовой точки, тем ближе цвет ее свечения к синей части спектра. Это прямое экспериментальное подтверждение квантово-размерного эффекта. Фотолюминесценция возникает из-за рекомбинации экситона, образовавшегося при поглощении УФ-фотона. Энергия излучаемого фотона равна ширине запрещенной зоны, которая зависит от размера.
Выводы:
Квантовые точки демонстрируют ярко выраженный размерный эффект, предсказанный квантовой механикой для системы «частица в яме».
Цвет их фотолюминесценции определяется не только химическим составом, но и физическим размером нанокристалла, что позволяет тонко настраивать оптические свойства материала.
Это свойство является основой для применения квантовых точек в дисплеях нового поколения (QLED), биомедицинской маркировке и солнечных элементах.
Гипотеза подтвердилась: наблюдается обратная зависимость между размером точки и длиной волны её излучения.
Рефлексия: Проект впечатляет визуально и глубок по содержанию. Сложность – в организации спектральных измерений. Главный успех – увидеть «материализованную» квантовую механику, где цвет напрямую говорит о размере невидимого глазу объекта.
5. **Презентационный этап**
Оформление работы: Отчет, сочетающий теорию квантовых явлений с яркими фотографиями эксперимента. Обязательно объяснить связь размера и цвета через схему энергетических уровней.
Продукт: Фотографии светящихся квантовых точек, лучше всего в УФ-подсветке. Если удалось получить спектры – их графики. Коллекция образцов для демонстрации.
Защита: Презентация с демонстрацией свечения точек в темноте (используя УФ-лампу). Объяснение явления через аналогию: «маленькая комната для электрона (синий свет) vs большая комната (красный свет)».
Необходимое оборудование и материалы: Набор коллоидных квантовых точек (CdSe) разного размера в растворе или полимере, УФ-лампа (длинноволновая, 365 нм), защитные очки от УФ, темная комната, пробирки, пипетки, фотоаппарат, спектрофотометр или CD-диск для самодельного спектрометра (опционально).
Возможное развитие проекта: Синтез квантовых точек по упрощенному методу (с участием химика). Исследование зависимости интенсивности свечения от концентрации точек или мощности УФ-излучения. Наблюдение тушения фотолюминесценции при добавлении некоторых веществ. Создание

простейшего «сенсора» на основе квантовых точек.



Проектная работа №34

Тема: Изучение свойств неньютоновской жидкости.
Цель проекта: Исследовать аномальное реологическое поведение неньютоновской жидкости (на примере суспензии крахмала в воде), определить её тип, измерить зависимость эффективной вязкости от скорости деформации и продемонстрировать практические следствия этих свойств.
Задачи:
Изучить основы реологии, понятия ньютоновской и неньютоновской жидкости, типы неньютоновского поведения (дилатантное, псевдопластичное).
Приготовить классическую неньютоновскую жидкость – смесь кукурузного крахмала и воды («ублук» или «oobleck»).
Провести серию качественных экспериментов, демонстрирующих её необычные свойства.
Разработать и провести простые количественные опыты по измерению «силы» сопротивления в зависимости от скорости воздействия.
Объяснить наблюдаемые явления с микроскопической точки зрения и обсудить возможные применения.
Гипотеза: Суспензия крахмала в воде будет проявлять дилатантные свойства: при медленном воздействии (переливание, погружение руки) она будет вести себя как жидкость, а при быстром ударе или резком сжатии – как твердое тело. Это связано с тем, что при быстром сдвиге частицы крахмала не успевают перемещаться относительно друг друга, образуя жесткую фрикционную структуру, которая разрушается при снятии нагрузки.
Этапы работы:
1. **Подготовительный этап** (3-5 дней)
Выбор темы: Проект прост в исполнении, крайне эффектен и демонстрирует, как микроскопические взаимодействия приводят к макроскопическим «чудесам».
Постановка проблемы: Почему смесь крахмала и воды твердеет от удара и растекается в покое? Можно ли одновременно быть и жидкостью, и твердым телом?
Планирование: Приготовление жидкости: кукурузный крахмал (примерно 1-1.5 кг), вода, большая миска для замеса. Оборудование для опытов: поднос, ложка, мерный стакан, секундомер, грузы разной массы (например, металлические шарики или болты), линейка, возможно, высокоскоростная камера (смартфон с режимом замедленной съемки).
2. **Проектировочный этап** (3-5 дней)
Теоретическое исследование: Ньютоновская жидкость (вода, масло) имеет вязкость, не зависящую от скорости сдвига. Неньютоновская – зависит. Дилатантная жидкость: вязкость растет с увеличением скорости деформации.

Микрообъяснение: в покое частицы крахмала окружены водной оболочкой и могут скользить. При резком сдвиге вода вытесняется, частицы вступают в прямой контакт, возникает сухое трение, структура «заклинивает». Также встречается псевдопластичное поведение (вязкость падает при сдвиге) – например, кетчуп.
Разработка методики:
Качественные опыты: Переливание из стакана в стакан; медленное погружение руки; удар по поверхности кулаком; быстрая попытка скатать шарик.
Количественный опыт «Падающий груз»: Сбросить грузы разной массы с одной высоты в стакан с жидкостью. Измерить глубину кратера или время погружения. Предполагается, что более тяжелый груз (имеющий бóльшую скорость при соприкосновении) встретит большее сопротивление и создаст меньший кратер/быстрее остановится.
Опыт «Бег по жидкости»: Налить жидкость тонким слоем в длинный поднос. Попытаться быстро пробежать по нему (или протопать на месте).
Техника безопасности: Весьма безопасный проект. Главное – не бросать грузы с большой высоты, чтобы не разбить стакан. Работать в легко моющемся помещении или на улице.
3. **Практический этап** (1-2 недели)
Приготовление жидкости: В миске смешивать крахмал с водой примерно в соотношении 2:1 по объему до консистенции очень густой сметаны. Консистенция критична – жидкость должна растекаться, но при ударе твердеть.
Проведение эксперимента:
Качественные тесты: Провести все запланированные демонстрации, снимая их на видео. Особенно эффектны удар по поверхности и бег по луже.
Количественный тест: Взять высокий прозрачный стакан, заполнить жидкостью. Отметить начальный уровень. Сбрасывать грузы (например, шарик для пинг-понга, металлический шарик, болт) с высоты 20 см. Измерять линейкой максимальную глубину образовавшейся воронки или фиксировать (на видео), провалился ли груз на дно или «завис».
Измерение времени затекания: Сделать в жидкости ямку, засечь время, за которое она сравняется с поверхностью.
Фиксация данных: Видеосъемка – основной метод. Фотографии состояния жидкости (твердое/жидкое). Таблица для количественного опыта: «Груз (масса) – Скорость у поверхности (оценочно) – Глубина кратера/результат (утонул/остановился)».
4. **Аналитический этап** (1 неделя)
Обработка данных: Анализ видеозаписей, измерение параметров по кадрам. Сравнение результатов для разных грузов.

Анализ результатов: При медленном воздействии жидкость течет. При ударе – ведет себя как твердое тело (можно даже «пройтись» по ней, если достаточно быстро переставлять ноги). Более тяжелый/быстрый груз может создать меньшую воронку или даже отскочить, что парадоксально с точки зрения обычной жидкости и подтверждает рост эффективной вязкости со скоростью.

Выводы:

Суспензия крахмала является ярким примером дилатантной неньютоновской жидкости.

Её механические свойства не являются постоянными, а динамически зависят от скорости деформации, что подтверждает гипотезу.

Это поведение обусловлено микроскопической перестройкой частиц от свободного скольжения в водной среде к образованию жесткой фрикционной сетки при быстром сдвиге.

Подобные принципы используются в технологиях жидких бронежилетов, интеллектуальных амортизаторов и в пищевой промышленности.

Рефлексия: Проект не требует сложного оборудования, но дает богатейший материал для наблюдений и размышлений. Самый яркий момент – возможность «обмануть» материал, заставив его проявить противоположные свойства. Проект развивает понимание связи между микро- и макромиром.

5. **Презентационный этап**

Оформление работы: Отчет, богато иллюстрированный фотографиями и кадрами из видео, с четким разделением на качественные демонстрации и попытку количественного анализа.

Продукт: Видеоролик, смонтированный из самых эффектных экспериментов (удар, бег, падение грузов). Сама жидкость в контейнере для живой демонстрации.

Защита: Идеальная защита – живая интерактивная демонстрация. Предложить комиссии медленно погрузить палец, а затем ударить по поверхности. Объяснить, почему это происходит.

Необходимое оборудование и материалы: Кукурузный крахмал (1-2 кг), вода, большая миска для замеса, поднос, стаканы, ложка, грузы разной массы, линейка, секундомер, видеокамера (смартфон) с возможностью замедленной съемки.

Возможное развитие проекта: Исследование зависимости свойств от соотношения крахмал/вода. Сравнение с другими неньютоновскими жидкостями (клей с тетраборатом натрия – псевдопластик). Попытка измерить «предел прочности» на сдвиг. Создание простейшей модели

амортизатора или демпфера.



Проектная работа №35

Тема: Исследование применения альгината натрия и лактата кальция в молекулярной кухне (сферификация).
Цель проекта: Освоить базовую технологию молекулярной кухни – сферификацию – для создания жидких сфер с гелевой оболочкой, изучить химические принципы, лежащие в основе процесса, и исследовать факторы, влияющие на качество получаемых сфер.
Задачи:
Изучить химическую природу альгината натрия (полисахарид из бурых водорослей) и лактата кальция, механизм ионного гелеобразования.
Приобрести пищевые ингредиенты: альгинат натрия, лактат кальция, подобрать жидкости для сферификации (соки, нектары, молоко).
Отработать методику прямого и обратного метода сферификации.
Провести серию экспериментов по получению сфер, варьируя концентрации растворов и время выдержки.
Проанализировать влияние параметров на толщину оболочки, прочность и вкус сфер, сделать выводы об оптимальных условиях.
Гипотеза: При взаимодействии раствора альгината натрия с ионами кальция (из лактата кальция) на границе раздела фаз мгновенно образуется гелевая мембрана за счет сшивания молекул альгината ионами Ca^{2+}. Концентрация растворов и время выдержки будут влиять на толщину и прочность оболочки: более концентрированный раствор альгината и большее время в ванне с кальцием приведут к получению более толстых и прочных, но менее нежных сфер.
Этапы работы:
1. **Подготовительный этап** (1-2 недели)
Выбор темы: Проект лежит на стыке химии, кулинарии и материаловедения, демонстрируя, как научные знания позволяют создавать новые формы и текстуры пищи.
Постановка проблемы: Как заключить жидкость в тонкую съедобную оболочку, чтобы она лопалась во рту? Какая химическая реакция лежит в основе создания «икры» из сока?
Планирование: Приобретение пищевых ингредиентов: альгинат натрия (Е401), лактат кальция (Е327) или хлорид кальция (для обратного метода, но он менее вкусен). Жидкости: сок без мякоти (яблочный, малиновый), молоко, газировка. Оборудование: блендер, мерные ложки и стаканы, ситечко, шприцы или пипетки для формирования капель, несколько глубоких мисок, чайные ложки, таймер.
2. **Проектировочный этап** (1 неделя)
Теоретическое исследование: Альгинат натрия – натриевая соль альгиновой кислоты, полимер, состоящий из остатков гулуроновой и маннуроновой

кислот. Ионы кальция (Ca^{2+}) замещают ионы натрия (Na^{+}) в молекулах альгината, образуя поперечные связи между полимерными цепями («яичная коробка» модель). Это приводит к образованию трехмерной гелевой сети – гидрогеля. Прямой метод: капля жидкости с альгинатом попадает в ванну с кальцием. Обратный метод (для жидкостей, богатых кальцием, например, молока): капля жидкости с кальцием попадает в ванну с альгинатом.
Разработка методики: Основной фокус на прямом методе:
Приготовить 0.5% - 1% раствор альгината в выбранной жидкости (смешать блендером, дать отстояться для удаления пузырьков).
Приготовить 1% - 2% раствор лактата кальция в воде.
Набрать раствор альгината в шприц и аккуратно капать в ванну с раствором кальция с высоты 5-10 см.
Выдержать сферы в ванне 1-3 минуты, периодически помешивая.
Аккуратно извлечь ложкой и промыть в чистой воде.
Техника безопасности: Работа с пищевыми продуктами – соблюдение чистоты. При использовании блендера – осторожность.
3. **Практический этап** (1-2 недели)
Подготовка: Тщательная промывка всей посуды. Приготовление растворов разной концентрации: например, 0.5%, 0.8%, 1.2% альгината; 1% и 2% лактата кальция.
Проведение эксперимента:
Подбор концентрации: Используя раствор сока с 0.5% альгината и 1% лактат кальция, получить первую партию сфер. Оценить результат (оболочка может быть слишком тонкой и рваться).
Влияние концентрации альгината: Сделать сферы из растворов с разным % альгината при постоянной концентрации кальция. Сравнить прочность оболочки (аккуратно надавливая ложкой) и толщину (разрезав сферу).
Влияние времени выдержки: Получив сферы, извлекать их из кальциевой ванны через 30 сек, 1 мин, 2 мин, 3 мин. Сравнить.
Влияние состава жидкости: Попробовать сделать сферы из молока (обратный метод или с добавлением альгината), газировки (предварительно дегазировать), йогурта.
Фиксация данных: Фотографирование процесса и результатов. Таблица: «№ опыта – Жидкость – [Альгинат]% – [Лактат Ca]% – Время выдержки (сек) – Качество сфер (форма, прочность, толщина) – Вкус».
4. **Аналитический этап** (1 неделя)
Обработка данных: Создание галереи фотографий сфер, полученных в разных условиях. Сравнение по таблице.
Анализ результатов: Оптимальной для начала окажется концентрация альгината 0.8-1% и лактата кальция 1.5%. Время выдержки 1.5-2 минуты даст прочную, но не «резиновую» оболочку. Слишком долгая выдержка приводит к чрезмерному утолщению стенок и диффузии кальция внутрь, что может

давать неприятный привкус. Молоко и газированные напитки требуют корректировки методики (дегазация, обратный метод).

Выводы:

Технология сферификации успешно воспроизведена, её основой является реакция ионного гелеобразования между альгинатом и кальцием.

Качество сфер (форма, прочность, текстура) напрямую зависит от концентрации реагентов и времени гелеобразования, что подтверждает гипотезу.

Метод позволяет инкапсулировать практически любые жидкости, открывая возможности для создания новых гастрономических впечатлений и функциональных продуктов (например, сфер с соусом внутри).

Процесс является наглядным примером применения химии полимеров в пищевой индустрии.

Рефлексия: Проект требует аккуратности и «чувства материала». Самые частые ошибки – пузырьки в растворе альгината (рвут сферы) и слишком высокое падение капли (деформирует сферу). Удовольствие от процесса и результата огромное.

5. **Презентационный этап**

Оформление работы: Отчет, сочетающий химические уравнения, пошаговый рецепт, таблицу экспериментов и выводы. Акцент на научное объяснение кулинарного процесса.

Продукт: Коллекция готовых сфер разного цвета (из разных соков), размещенных на ложках или тарелках. Фотографии процесса. Возможна дегустация на защите (при соблюдении санитарных норм).

Защита: Демонстрация процесса приготовления сфер (или видео). Предоставление комиссии попробовать результат и объяснение, какая химическая реакция только что произошла у них во рту.

Необходимое оборудование и материалы: Альгинат натрия (пищевой), лактат кальция (пищевой), фруктовые соки/пюре, блендер, мерные ложки/стаканы, шприцы на 20-50 мл или пипетки, глубокие миски, ложки, ситечко, чистая вода.

Возможное развитие проекта: Создание многослойных сфер. Инкапсуляция живых культур (йогурта). Исследование прочности оболочки на разрыв с помощью динамометра. Использование других гелеобразователей (агар, пектин). Создание «икры» с разными вкусами.



Проектная работа №36

Тема: Анализ химического индикатора, изготовленного из краснокочанной капусты.
Цель проекта: Исследовать природные кислотно-основные индикаторы, полученные из краснокочанной капусты, изучить их цветовые переходы в зависимости от pH среды, построить собственную цветовую шкалу и проверить её на известных и неизвестных растворах.
Задачи:
Изучить теорию кислотно-основных индикаторов, природу окраски антоцианов (пигментов капусты) и зависимость их цвета от pH.
Приготовить отвар (вытяжку) из краснокочанной капусты.
Экспериментально определить цвет индикатора в растворах с известным pH (от сильнокислого до сильнощелочного), создав эталонную шкалу.
Использовать полученную шкалу для определения pH бытовых растворов (уксус, лимонный сок, сода, мыльный раствор и др.).
Сравнить точность и наглядность самодельного индикатора с коммерческой индикаторной бумагой.
Гипотеза: Антоцианы, содержащиеся в краснокочанной капусте, изменяют свою химическую структуру и, как следствие, цвет в зависимости от кислотности среды. В кислой среде индикатор будет иметь красные и розовые оттенки, в нейтральной – фиолетовый или синий, в щелочной – зеленые и желтые. Полученная шкала позволит приблизительно, но наглядно определять pH различных бытовых веществ.
Этапы работы:
1. **Подготовительный этап** (3-5 дней)
Выбор темы: Проект является классическим, но чрезвычайно наглядным введением в аналитическую химию, связывая бытовые наблюдения с теорией.
Постановка проблемы: Почему краснокочанная капуста синеет при тушении с содой? Можно ли использовать её сок как «лакмусовую бумажку»?
Планирование: Приобретение краснокочанной капусты. Подготовка растворов с известным pH: лимонный сок (pH~2), уксус (pH~3), дистиллированная вода (pH~7), раствор пищевой соды (pH~8-9), раствор мыла или нашатырного спирта (pH~10-11). Для более точной шкалы можно использовать готовые буферные растворы или таблетки для калибровки pH-метра. Оборудование: кастрюля, сито, пробирки или стаканчики, пипетки, этикетки, фотоаппарат с хорошей цветопередачей.
2. **Проектировочный этап** (3-5 дней)
Теоретическое исследование: Антоцианы – природные флавоноиды, являющиеся индикаторами благодаря наличию в молекуле хромофорной группы, чувствительной к присоединению или отщеплению протонов (H^+). В

кислой среде (избыток H^+) форма катионная, что дает красную окраску. При повышении pH происходит депротонирование, сдвиг поглощения, цвет меняется на фиолетовый, синий, а в сильнощелочной среде молекула разрушается, давая желто-зеленые оттенки.
Разработка методики:
Приготовление индикатора: Мелко нашинковать капусту, залить небольшим количеством воды, прокипятить 5-10 минут до получения насыщенного фиолетового отвара. Остудить, процедить.
Создание шкалы: В ряд пробирок налить по 5 мл растворов с известным pH (от кислоты к щелочи). В каждую добавать по 10-15 капель отвара капусты. Аккуратно перемешать, зафиксировать цвет. Сфотографировать ряд на белом фоне.
Тестирование неизвестных: В чистые пробирки налить бытовые жидкости (газировка, молоко, средство для мытья посуды, раствор аспирина). Добавить индикатор, определить pH по шкале.
Техника безопасности: Работа с кипятком и бытовой химией (осторожность с нашатырем). Использование перчаток при работе с окрашивающими веществами.
3. **Практический этап** (1 неделя)
Приготовление индикатора: Выполнить по плану. Можно также приготовить спиртовую вытяжку (настаивание на спирту), которая хранится дольше.
Проведение эксперимента:
Калибровка: Приготовить серию из 7-9 растворов, покрывающих диапазон от pH 1-2 до 12-13. Добавить индикатор, получить полную палитру цветов. Зарисовать или сфотографировать.
Создание наглядной шкалы: Распечатать фотографию ряда пробирок, подписать соответствующие значения pH. Это будет рабочий инструмент.
Анализ бытовых веществ: Протестировать не менее 5 различных жидкостей. Для каждой зафиксировать полученный цвет и определить примерный pH по шкале.
Сравнение с индикаторной бумагой: Для проверки точности использовать коммерческую универсальную индикаторную бумагу на тех же растворах.
Фиксация данных: Фотография калибровочной шкалы – ключевой результат.
Таблица: «Исследуемое вещество – Цвет с индикатором – Определенный pH – pH по индикаторной бумаге – Примечания».
4. **Аналитический этап** (1 неделя)
Обработка данных: Создание итоговой цветовой шкалы в электронном виде с подписями pH.
Анализ результатов: Будет получена плавная градация цвета: красный (pH~2) → розовый (pH~4) → фиолетовый (pH~7) → синий (pH~8) → зеленый (pH~10) → желто-зеленый (pH~12). Индикатор из капусты хорошо различает кислые, нейтральные и щелочные среды, но для точного определения pH в

узком диапазоне (например, между pH 5 и 6) он менее точен, чем универсальная бумага. Тем не менее, он отлично подходит для демонстрационных и полуколичественных целей.

Выводы:

Краснокочанная капуста является источником эффективного природного кислотно-основного индикатора – антоцианов.

Наблюдается четкая и воспроизводимая зависимость цвета индикатора от pH среды, что полностью подтверждает гипотезу.

Созданная собственная цветовая шкала позволяет приблизительно определять pH различных бытовых и пищевых растворов.

Данный эксперимент является яркой иллюстрацией связи строения органических молекул с их свойствами и имеет историческое значение (использование природных индикаторов до развития химической промышленности).

Рефлексия: Проект прост, безопасен и красив. Сложность может возникнуть в подборе эталонных растворов для точной калибровки. Главный успех – создание собственного рабочего инструмента (шкалы) и его применение.

5. **Презентационный этап**

Оформление работы: Отчет, центром которого является цветовая шкала и таблица с результатами анализа. Теория о строении антоцианов.

Продукт: Распечатанная крупно цветовая шкала pH. Набор пробирок с окрашенными растворами из калибровочного ряда для демонстрации. Фото коллаж «от кислоты до щелочи».

Защита: Презентация с демонстрацией изменения цвета индикатора при добавлении кислоты или щелочи в реальном времени. Использование шкалы для «гадания» по pH веществ, предложенных комиссией.

Необходимое оборудование и материалы: Краснокочанная капуста, вода, кастрюля, сито, набор веществ для создания шкалы pH (лимонная кислота, уксус, сода, нашатырный спирт), пробирки или прозрачные стаканчики, пипетки, универсальная индикаторная бумага (для контроля), фотоаппарат.

Возможное развитие проекта: Исследование индикаторных свойств других природных объектов (свекла, черника, чай каркаде, лепестки цветов). Выделение антоцианов спиртом. Изучение влияния температуры на цвет индикатора. Создание индикаторной бумаги, пропитанной отваром капусты.



Проектная работа №38

Тема: Исследование разных способов наложения медицинских швов.
Цель проекта: Освоить базовые техники наложения хирургических швов и узлов на биомиметических материалах, сравнить их механическую прочность, надежность и эстетичность, и сделать выводы о предпочтительных областях применения каждой техники.
Задачи:
Изучить историю хирургического шва, виды шовного материала, требования к идеальному шву.
Освоить технику наложения простых узлов (хирургического, морского) и основных видов швов (простой узловой, непрерывный, матрацный).
Подобрать или изготовить модель ткани для тренировки (силикон, поролон, куриная кожа, специальные тренажеры).
Провести сравнительные испытания наложенных швов на разрыв, оценивая прочность и характер разрушения.
Проанализировать достоинства и недостатки каждого изученного метода.
Гипотеза: Разные виды швов будут обладать разной механической прочностью и надежностью. Простой узловой шов будет наиболее универсальным, но менее прочным на разрыв, чем матрацный. Непрерывный шов будет быстрым в наложении, но при разрыве одной нити может привести к полному расхождению раны. Надежность узла будет критически зависеть от правильности его техники.
Этапы работы:
1. **Подготовительный этап** (1-2 недели)
Выбор темы: Проект практический, исторический и инженерный, знакомящий с одной из древнейших медицинских технологий.
Постановка проблемы: Как правильно соединить края раны? Почему хирурги используют разные виды швов и как их прочность зависит от техники?
Планирование: Приобретение шовного материала: хирургическая нить (можно использовать прочную шелковую или синтетическую нить для вышивания, стерильную), иглы (подойдут большие иглы для шитья с тупым концом). Материал для швов: силиконовые тренажеры для швов, поролон, или (в условиях биолаборатории) куриная кожа с подкожным жиром. Оборудование: пинцет анатомический, ножницы, линейка, динамометр (можно изготовить из пружины и линейки) или система для подвешивания грузов.
2. **Проектировочный этап** (1-2 недели)
Теоретическое исследование: Цели шва: сопоставление краев, гемостаз, герметичность. Виды узлов: простой (женский), хирургический (двойной с противоположным направлением второго витка), морской. Виды швов:

Простой узловой (interrupted): Отдельные стежки, каждый со своим узлом. Надежен, но долог.
Непрерывный (running): Одна нить, ряд стежков, узел только в начале и конце. Быстрый, но риск расхождения.
Матрацный (mattress): Вертикальный или горизонтальный. Обеспечивает хорошую адаптацию краев и прочность.
Разработка методики:
Тренировка: Отработка узлов на веревке, затем швов на тренажере.
Подготовка образцов: На одинаковых полосках материала (силикона, поролона) сделать стандартизированный разрез длиной 5 см.
Наложение швов: Наложить на идентичные разрезы три вида швов: простой узловой (5 стежков), непрерывный (5-6 стежков), матрацный вертикальный (3 стежка). Все узлы – хирургические.
Испытание на разрыв: Закрепить концы полоски в зажимах. Плавно увеличивать нагрузку (подвешивать грузы или тянуть динамометром) до разрыва нити/ткани. Зафиксировать силу разрыва.
3. **Практический этап** (2-3 недели)
Обучение и тренировка: Потратить значительное время на отработку техники узлов и ровных стежков. Это ключевой этап.
Проведение эксперимента:
Изготовление образцов: Приготовить 9 полосок материала (3 типа шва х 3 повторности). Сделать одинаковые разрезы.
Наложение швов: Внимательно и аккуратно наложить швы, стараясь делать одинаковые промежутки и натяжение.
Механические испытания: Провести испытания. Если нет динамометра, можно использовать метод: подвешивать к нижнему концу полоски пластиковую бутылку и постепенно наливать в неё воду до разрыва, затем взвешивать бутылку.
Фиксация разрушения: Отметить, что именно порвалось – нить разорвалась, нить прорезала ткань, ткань порвалась вдали от шва, развязался узел.
Фиксация данных: Фотографии каждого наложенного шва до испытаний.
Таблица: «Тип шва – № образца – Сила разрыва (Н или г) – Место и характер разрушения – Примечания (качество шва)».
4. **Аналитический этап** (1 неделя)
Обработка данных: Расчет средней силы разрыва для каждого типа шва. Построение диаграммы.
Анализ результатов: Скорее всего, матрацный шов окажется самым прочным, так как распределяет нагрузку на большую площадь ткани и лучше удерживает края. Простой узловой шов покажет средние значения. Непрерывный шов может оказаться либо прочным (если натяжение хорошее), либо слабым, а его разрушение будет катастрофическим (весь шов

распускается). Частой причиной неудачи будет развязывание неправильно завязанного узла.

Выводы:

Освоены базовые хирургические навыки наложения узлов и швов.

Механическая прочность соединения существенно зависит от выбранного типа шва и, что критически важно, от техники его выполнения (ровность стежков, правильность узла), что подтверждает гипотезу.

Каждый тип шва имеет свои преимущества: узловой – надежность и контроль, непрерывный – скорость и герметичность, матрацный – прочность и адаптация краев.

Проект демонстрирует, что хирургия сочетает в себе искусство мастерства и инженерный расчет.

Рефлексия: Проект требует терпения и мелкой моторики. Самое сложное – завязать правильный хирургический узел пинцетом. Проект дает огромное уважение к труду хирургов и понимание важности «мелочей».

5. **Презентационный этап**

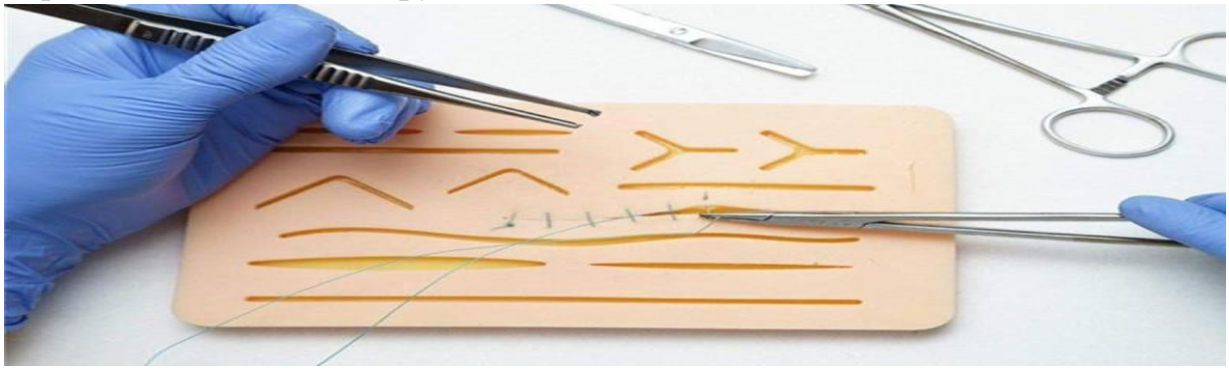
Оформление работы: Отчет, напоминающий методическое пособие, с пошаговыми фотографиями техник, таблицами результатов испытаний и выводами.

Продукт: Коллекция образцов с наложенными разными швами (до испытаний). Видео или фото процесса наложения шва. Диаграмма прочности.

Защита: Демонстрация навыка: завязать хирургический узел на веревке. Показать образцы швов и результаты их испытаний. Объяснить, почему в разных ситуациях нужны разные методы.

Необходимое оборудование и материалы: Хирургическая или очень прочная нить, иглы (лучше с тупым концом), пинцет анатомический, ножницы, тренажер для швов (силиконовый лист, поролон), динамометр или система подвешивания грузов, линейка, маркер.

Возможное развитие проекта: Изучение рассасывающихся vs нерассасывающихся нитей. Исследование влияния расстояния между стежками и отступа от края раны на прочность. Отработка внутрикожного (косметического) шва. Создание модели сшивания кровеносного сосуда или нерва (на очень тонких трубках).



Проектная работа №39

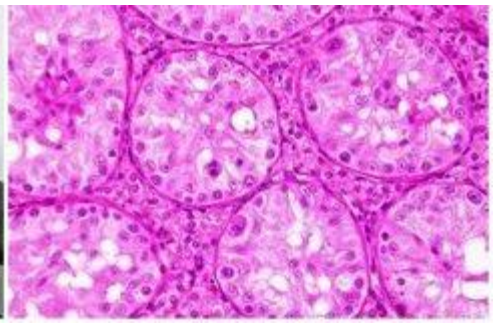
Тема: Исследование отличий тканей органов человека (гистологическое сравнение).
Цель проекта: Провести сравнительный микроскопический анализ гистологических препаратов или качественных изображений основных типов тканей человека (эпителиальной, соединительной, мышечной, нервной) для выявления их структурных особенностей и связи строения с функцией.
Задачи:
Изучить основные принципы гистологии, классификацию тканей и их функции в организме.
Собрать коллекцию качественных гистологических изображений или приобрести набор готовых микропрепаратов (эпителий, кость, хрящ, кровь, гладкая и поперечно-полосатая мышца, нервная ткань).
Освоить методику работы со световым микроскопом и правила описания микропрепаратов.
Провести микроскопическое исследование и описание каждого типа ткани, зарисовать или сфотографировать характерные структуры.
Проанализировать полученные данные, сопоставив особенности строения клеток и межклеточного вещества с выполняемой ими функцией.
Гипотеза: Различные типы тканей будут радикально отличаться по своему микроскопическому строению, и эти различия напрямую обусловлены их специализированными функциями. Эпителий будет иметь плотно упакованные клетки для защиты, соединительная ткань – развитое межклеточное вещество для опоры, мышечная – вытянутые клетки с сократительными элементами, нервная – клетки с длинными отростками для передачи сигналов.
Этапы работы:
1. **Подготовительный этап** (2-3 недели)
Выбор темы: Проект является фундаментальным для понимания биологии человека, развивает навыки научного наблюдения и анализа изображений.
Постановка проблемы: Из чего, кроме клеток, состоят наши органы? Почему кожа, кость и мозг выглядят и функционируют по-разному на микроскопическом уровне?
Планирование: Ключевой вопрос – доступ к микропрепаратам. Варианты: 1) Использовать школьную коллекцию готовых окрашенных препаратов. 2) Приобрести набор учебных гистологических препаратов. 3) Использовать высококачественные цифровые атласы и базы данных гистологии (например, https://histologyguide.com). Оборудование: световой микроскоп (увеличение от 40х до 400х), предметные стекла (если препараты свои), иммерсионное масло (для увеличения 1000х), фотоокуляр или адаптер для смартфона для фотографирования, тетрадь для зарисовок.

2. **Проектировочный этап** (1-2 недели)
Теоретическое исследование:
Эпителиальная ткань: Клетки плотно прилегают, мало межклеточного вещества. Функции: покровная (защита), секреторная (железы), всасывающая (кишечник). Виды: однослойный, многослойный, железистый.
Соединительная ткань: Клетки разбросаны в обильном межклеточном веществе (волокна коллагена, эластина, основное вещество). Функции: опорная (кость, хрящ), трофическая (кровь), защитная (жировая). Примеры: рыхлая волокнистая, костная, хрящевая, кровь.
Мышечная ткань: Клетки (миоциты) вытянутые, содержат сократительные белки (актин, миозин). Виды: поперечно-полосатая (скелетная и сердечная) – исчерченность, гладкая – без исчерченности.
Нервная ткань: Состоит из нейронов (тело, дендриты, аксон) и глиальных клеток. Функция: возбуждение и проведение импульса.
Разработка методики: Составить таблицу-шаблон для описания каждого препарата: 1) Название ткани и органа. 2) Тип окраски. 3) Характер расположения клеток. 4) Форма и размер клеток. 5) Наличие и характер межклеточного вещества. 6) Выявленные специальные структуры (реснички, волокна, исчерченность и т.д.). 7) Связь строения с функцией.
3. **Практический этап** (2-3 недели)
Подготовка микроскопа и препаратов: Освоение работы с микроскопом (фокусировка, смена увеличений). Подготовка чистых предметных стекол (если нужно).
Проведение исследования:
Для каждого типа ткани (минимум по 2 препарата) провести микроскопическое исследование при малом (40х-100х), среднем (200х-400х) и, если возможно, большом (1000х) увеличении.
Эпителий: Найти и зарисовать однослойный плоский (мезотелий) или однослойный цилиндрический эпителий (кишечник).
Соединительная ткань: Исследовать препарат рыхлой волокнистой ткани (переплетение волокон, фибробласты), гиалинового хряща (клетки в лакунах, гомогенное вещество) и мазок крови (эритроциты, лейкоциты).
Мышечная ткань: Изучить препарат поперечно-полосатой мышцы (исчерченность, многоядерные волокна) и гладкой мускулатуры (веретенообразные клетки).
Нервная ткань: Найти на препарате спинномозгового узла или коры больших полушарий тела нейронов и их отростки.
Фиксация данных: Зарисовки с подписями в лабораторном журнале. Фотографирование через микроскоп – ключевой метод. Заполнение таблицы-описания для каждого препарата.
4. **Аналитический этап** (1-2 недели)

Обработка данных: Создание альбома микрофотографий или сканов зарисовок. Сводная таблица с выводами по каждой ткани.
Анализ результатов: Наглядно подтверждается **Гипотеза:** эпителий выглядит как «булыжная мостовая», соединительная ткань – как «паутина» или «соты», мышечная – как «полосатые канаты» или «веретена», нервная – как «звезды» с длинными лучами. В каждом случае строение идеально приспособлено для функции: плотный эпителий защищает, эластичные волокна соединительной ткани обеспечивают поддержку, параллельные миофибриллы мышц – сокращение, длинные отростки нейронов – проведение импульса.
Выводы:
Четыре основных типа тканей человека принципиально различаются по своему микроскопическому строению.
Структурные особенности каждой ткани (форма клеток, их расположение, состав межклеточного вещества) являются прямой адаптацией к выполняемой ими функции (принцип «форма определяет функцию»).
Методы световой микроскопии позволяют надежно идентифицировать типы тканей и изучать их организацию.
Гипотеза подтвердилась полностью; проведенное исследование служит основой для понимания строения и работы любых органов, которые являются комбинациями этих тканей.
Рефлексия: Проект требует усидчивости и навыков работы с микроскопом. Самый сложный этап – получение качественных микрофотографий. Удивление от того, насколько красива и логично устроена живая материя на микроуровне.
5. **Презентационный этап**
Оформление работы: Научный отчет, построенный как гистологический атлас, с микрофотографиями, схемами, подробными описаниями и сводной таблицей.
Продукт: Альбом микрофотографий или зарисовок с подписями. Сводная плакат-схема «4 типа тканей человека: строение и функция».
Защита: Презентация в форме виртуальной экскурсии в микромир человеческого тела. Показ наиболее выразительных микрофотографий и объяснение, как увиденное связано с работой нашего организма.
Необходимое оборудование и материалы: Световой микроскоп (с увеличением до 400х или 1000х), набор гистологических препаратов (эпителий, соединительная, мышечная, нервная ткань) или доступ к цифровому атласу, иммерсионное масло, предметные стекла, покровные стекла (опционально), фотоадаптер для смартфона/фотоокуляр, тетрадь для зарисовок.
Возможное развитие проекта: Изучение тканей в патологии (например, сравнение здоровой и опухолевой ткани). Приготовление собственных

временных препаратов (эпителий щеки, мазок крови). Исследование тканей растений для сравнения. Гистохимическое окрашивание (например, на гликоген или жиры).





Проектная работа №40

Тема: Изучение пригодности минералов для промышленных направлений.
Цель проекта: Провести диагностическое исследование коллекции минералов, определить их ключевые физико-химические свойства и на основе этого анализа предложить возможные области их промышленного или практического применения.
Задачи:
Изучить основы минералогии, классификацию минералов по химическому составу и физическим свойствам, имеющим промышленное значение.
Сформировать или использовать готовую коллекцию минералов (10-15 образцов), включающую как широко распространенные, так и специфические виды.
Провести диагностику каждого минерала, определив его твёрдость, цвет, черту, блеск, спайность, магнитность, реакцию с кислотой.
Сравнить полученные диагностические признаки с табличными данными и определить название каждого минерала.
На основе известных свойств и применения изученных минералов предложить для каждого из них наиболее вероятные сферы использования в современной промышленности или быту.
Гипотеза: Каждый минерал обладает уникальным набором физических и химических свойств, которые предопределяют его возможное применение. Минералы с высокой твердостью будут использоваться как абразивы, с выраженной спайностью – как источник пластин (слюда), с металлическим блеском и высокой плотностью – как руды металлов, с устойчивостью к кислотам – в химической промышленности.
Этапы работы:
1. **Подготовительный этап** (2-3 недели)
Выбор темы: Проект прикладной и исследовательский, связывающий геологию, материаловедение и экономику.
Постановка проблемы: Почему одни камни идут на изготовление стекла, другие – в ювелирные украшения, а третьи – в металлургию? Как по внешнему виду и простым тестам можно предположить применение минерала?
Планирование: Формирование коллекции: кварц, полевой шпат, слюда (мусковит), кальцит, галит (каменная соль), гипс, гематит, магнетит, пирит, графит, тальк, флюорит. Приобретение инструментов для определения: набор для определения твердости (или стандартные предметы: ноготь (2.5), медная монета (3.5), стекло (5.5), стальной нож (6.5)), неодимовый магнит, пластинка для определения черты (неглазурованный фарфор или керамическая плитка), лупа, стеклянная пластинка, раствор соляной кислоты (10%) в пипетке, средства защиты (очки, перчатки).

2. **Проектировочный этап** (1-2 недели)
Теоретическое исследование: Ключевые диагностические свойства:
Твердость по шкале Мооса: От талька (1) до алмаза (10). Определяет применение как абразива, режущего инструмента или наполнителя.
Спайность: Способность раскалываться по ровным плоскостям. Важно для слюды (электроизоляция), гипса (строительство).
Цвет черты: Цвет порошка минерала. Диагностический признак, особенно для рудных минералов (гематит – вишнево-красная).
Реакция с HCl: Характерна для карбонатов (кальцит «вскипает»). Использование в цементной промышленности, как флюс.
Магнитность: Признак магнетита. Рудное железо.
Прочие: Блеск (металлический у пирита – сырье для серной кислоты), жирность на ощупь (графит – смазка, грифели).
Разработка методики: Составление диагностической таблицы для каждого образца с графами для всех определяемых свойств. Последовательность действий: визуальный осмотр (цвет, блеск) → определение черты → проверка на магнитность → определение твердости → проверка спайности → тест с кислотой (с осторожностью).
3. **Практический этап** (2-3 недели)
Подготовка: Организация рабочего места. Нумерация образцов коллекции (чтобы анализ был «слепым» и объективным).
Проведение исследования:
Для каждого пронумерованного образца провести полный цикл диагностики.
Цвет и блеск: Описать визуально.
Черта: Провести минералом по керамической пластинке.
Твердость: Методом царапания: минерал царапает стекло? Стекло царапает минерал? Ноготь царапает минерал?
Спайность: Попробовать расколоть образец молоточком (с осторожностью, в защитных очках!), рассмотреть скол в лупу.
Магнитность: Поднести магнит.
Реакция с кислотой: Капнуть слабым раствором HCl на образец, наблюдать вскипание (только для карбонатов).
Фиксация данных: Заполнение диагностической таблицы для каждого образца. Фотография образцов и их черты. Запись наблюдений.
4. **Аналитический этап** (1-2 недели)
Обработка данных: С помощью определителя минералов или табличных данных, сопоставить полученные свойства с известными минералами. Дать название каждому образцу.
Анализ результатов: Например:
Образец царапает стекло, имеет стеклянный блеск и раковистый излом – кварц. Применение: производство стекла, оптики, радиодеталей (пьезоэлектрик).

Образец мягкий (царапается ногтем), жирный на ощупь – тальк. Применение: наполнитель в бумажной и косметической промышленности.
Образец имеет совершенную спайность, расщепляется на тонкие прозрачные листы – слюда. Применение: электроизоляционный материал.
Образец «вскипает» от кислоты – кальцит. Применение: производство цемента, извести, как флюс в металлургии.
Образец оставляет черную черту, пачкает руки, имеет металлический блеск – графит. Применение: смазка, электроды, грифели.

Выводы:

Методы диагностики по физическим свойствам позволяют надежно определить основные породообразующие и рудные минералы.
Выявлена прямая причинно-следственная связь между набором свойств минерала и областями его промышленного использования, что подтверждает гипотезу.
Минералы являются первичным сырьем для большинства отраслей промышленности: строительной (гипс, кальцит), металлургической (гематит, магнетит), химической (галит, пирит), электротехнической (слюда, кварц) и др.
Исследование демонстрирует практическую значимость фундаментальной науки минералогии.
Рефлексия: Проект развивает наблюдательность и системный подход.
Трудности могут возникнуть с определением похожих минералов (например, полевых шпатов). Увлекательно – играть в «детектива», раскрывая «личность» каждого камня.

5. **Презентационный этап**

Оформление работы: Отчет в виде каталога-определителя, где каждый минерал представлен на отдельной странице с фотографией, таблицей свойств, диагнозом и перечнем применений.
Продукт: Сама коллекция минералов с этикетками, на которых указаны не только названия, но и возможные применения. Сводный плакат «Минералы в промышленности».
Защита: Презентация в формате защиты проекта полезного ископаемого.
Демонстрация ключевых диагностических тестов на 1-2 образцах.
Объяснение логической цепочки: свойство → применение.

Необходимое оборудование и материалы: Коллекция минералов (10-15 образцов), лупа, керамическая пластинка для черты, набор для определения твердости (или стекло, стальной нож, медная монета), неодимовый магнит, раствор соляной кислоты (10%) в капельнице, защитные очки и перчатки, молоточек, определитель минералов.
Возможное развитие проекта: Исследование местных (региональных) минералов и полезных ископаемых. Оценка экономической значимости изученных минералов. Проведение химических качественных реакций на

катионы и анионы в составе минералов. Создание тематической коллекции (например, «Минералы-руды» или «Минералы-драгоценные камни»).



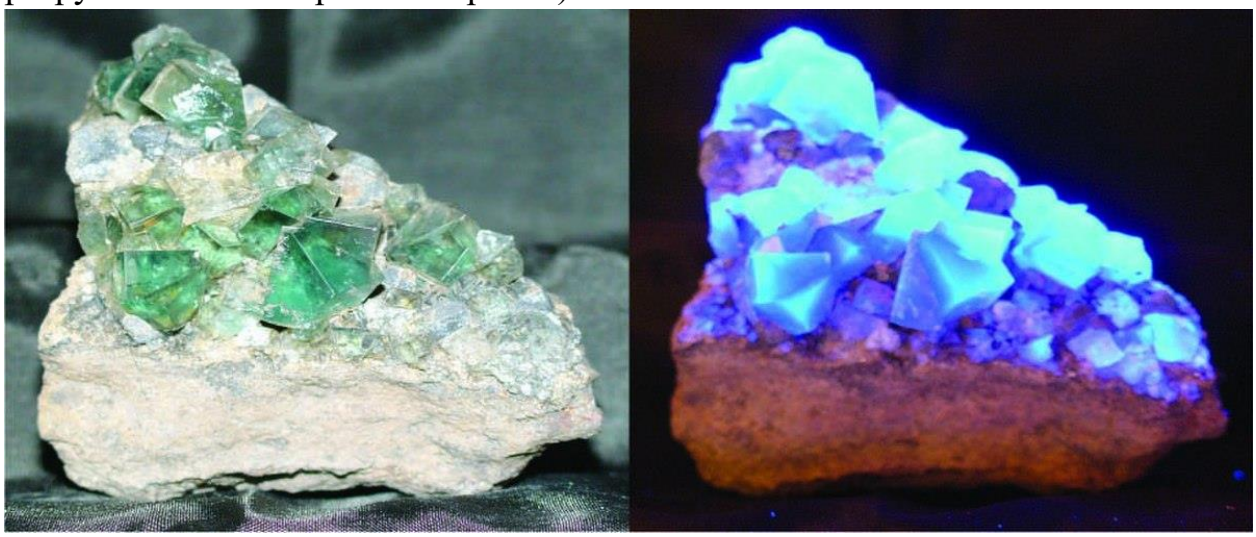
Проектная работа №41

Тема: Исследование очевидных и неочевидных свойств минералов.
Цель проекта: Углубиться в изучение физических и химических свойств минералов, исследовав не только стандартные диагностические признаки, но и более тонкие, «скрытые» свойства (пьезоэлектричество, люминесценция, радиоактивность, двулучепреломление, гигроскопичность), и оценить их научное и практическое значение.
Задачи:
Углубленно изучить теорию кристаллофизики и кристаллохимии, объясняющую необычные свойства минералов.
Подобрать коллекцию минералов, демонстрирующих редкие свойства (кварц, флюорит, гипс, слюда, уранинит (с осторожностью!), галит).
Разработать и провести эксперименты по выявлению и демонстрации как очевидных (твердость, цвет), так и неочевидных свойств.
Зафиксировать результаты наблюдений и измерений.
Проанализировать, как «неочевидные» свойства определяют уникальность минералов и их применение в высоких технологиях.
Гипотеза: Помимо общеизвестных свойств, многие минералы обладают скрытыми, но крайне важными характеристиками, которые можно выявить с помощью специальных опытов. Например, кварц может проявлять пьезоэлектрический эффект, флюорит – люминесцировать в УФ-свете, гипс – обладать выраженной анизотропией прочности, а некоторые минералы могут быть гигроскопичны или слабо радиоактивны.
Этапы работы:
1. **Подготовительный этап** (2-3 недели)
Выбор темы: Проект для углубленного изучения, раскрывающий «магию» и научную ценность минералов через их скрытые таланты.
Постановка проблемы: Что такого особенного в обычном на вид кварце, что из него делают точнейшие часы? Почему некоторые камни светятся в темноте? Какие еще секреты хранят минералы?
Планирование: Подбор минералов и оборудования:
Кварц (горный хрусталь): для демонстрации пьезоэффекта (нужен пьезоэлемент от зажигалки или динамика) и двулучепреломления (поляроидные очки/пленки).
Флюорит, кальцит, шеелит: для люминесценции в УФ (длинноволновая УФ-лампа 365 нм, защитные очки!).
Слюда (мусковит): для демонстрации совершенной спайности и диэлектрических свойств.
Гипс (селенит): для демонстрации анизотропии (разной твердости в разных направлениях).

Галит (соль): для демонстрации гигроскопичности (в сравнении с кварцем) и растворимости.
Обычные инструменты: для определения стандартных свойств.
Дозиметр: для проверки на радиоактивность (опционально, с крайней осторожностью!).
2. **Проектировочный этап** (1-2 недели)
Теоретическое исследование:
Пьезоэлектричество: Способность генерировать электрический заряд при механической деформации (кварц, турмалин). Основа кварцевых резонаторов в часах и датчиках.
Люминесценция (фотолюминесценция): Свечение при облучении УФ-светом за счет примесей-активаторов (флюорит – голубое, кальцит – розовое, шеелит – голубое).
Двулучепреломление: Расщепление луча света на два при прохождении через анизотропный кристалл (исландский шпат – кальцит). Основа поляризационной микроскопии.
Анизотропия механических свойств: Зависимость твердости или прочности от направления в кристалле (гипс, кианит).
Гигроскопичность: Способность поглощать влагу из воздуха (галенит, галит в определенных условиях).
Разработка методики: Составить план для каждого минерала: 1) Очевидные свойства (стандартная диагностика). 2) Специальный эксперимент для выявления скрытого свойства.
3. **Практический этап** (2-3 недели)
Подготовка: Организация безопасного места для работы с УФ-лампой. Приготовление всех установок.
Проведение исследования:
Кварц:
Очевидное: твердость, стеклянный блеск.
Неочевидное: Пьезоэффект – аккуратно ударить молоточком по кристаллу кварца, подключенному к осциллографу или высокоомному вольтметру (сложно). Более простой вариант – использовать готовый пьезоэлемент от зажигалки, объяснив принцип. Двулучепреломление – посмотреть через пластинку кальцита на текст или поместить кристалл кварца между скрещенными поляроидами.
Флюорит/Кальцит:
Очевидное: цвет, спайность (у кальцита).
Неочевидное: Люминесценция – осветить УФ-лампой в темной комнате. Сфотографировать свечение.
Гипс (селенит):
Очевидное: мягкость, спайность.

Неочевидное: Анизотропия прочности – попробовать согнуть пластинку гипса вдоль и поперек спайности. Вдоль – гнется, поперек – ломается.
Слюда:
Очевидное: расщепление на тонкие листы.
Неочевидное: Диэлектрик – вставить пластинку слюды в разрыв простой электрической цепи с батарейкой и лампочкой – ток не идет.
Галит:
Очевидное: соленый вкус, растворимость.
Неочевидное: Гигроскопичность – положить кристалл соли и кристалл кварца рядом в сыром помещении, наблюдать (соль может отсыревать).
Фиксация данных: Фотографии всех экспериментов, особенно люминесценции и опытов с поляроидами. Подробные описания наблюдений.
4. **Аналитический этап** (1-2 недели)
Обработка данных: Создание таблицы с двумя колонками: «Очевидное свойство» и «Выявленное скрытое свойство» для каждого минерала.
Анализ результатов: Эксперименты подтвердят, что минералы – это не просто «камни». Кварц действительно обладает уникальными пьезоэлектрическими свойствами (лежащими в основе точного времени). Флюорит ярко светится в УФ. Кальцит расщепляет изображение. Гипс обладает выраженной анизотропией. Эти свойства не видны невооруженным глазом, но являются ключевыми для современных технологий.
Выводы:
Минералы обладают комплексом свойств, среди которых как очевидные (макроскопические), так и тонкие (кристаллофизические и кристаллохимические).
Именно «неочевидные» свойства (пьезоэлектричество, люминесценция, анизотропия) часто определяют уникальность минерала и его незаменимость в высокотехнологичных отраслях (электронике, оптике, квантовых технологиях).
Выявление и изучение этих свойств требует специальных методов и глубокого понимания внутреннего строения кристаллов.
Гипотеза подтвердилась: за внешней простотой минералов скрывается сложный мир физических явлений, делающий их ценнейшим ресурсом для человечества.
Рефлексия: Проект требует более глубоких знаний и изобретательности в постановке демонстрационных опытов. Самые яркие впечатления – от наблюдения люминесценции и понимания, как из «камня» рождается точный цифровой сигнал. Проект стирает границу между геологией и физикой высоких технологий.
5. **Презентационный этап**

Оформление работы: Углубленный отчет, где каждый минерал представлен как носитель уникального научного явления, с теоретическим объяснением и фотодоказательствами экспериментов.
Продукт: Коллекция минералов с указанием их «скрытых талантов». Фотографии и видео ключевых опытов (свечение в УФ, двулучепреломление). Плакат «Очевидное и неочевидное в мире минералов».
Защита: Презентация-открытие. Начать с обычных свойств, а затем «открыть» для зрителей скрытые способности минералов с помощью демонстраций (УФ-лампа, поляроиды). Объяснить, почему эти способности бесценны для науки и техники.
Необходимое оборудование и материалы: Коллекция минералов (кварц, флюорит, кальцит, гипс, слюда, галит), УФ-лампа (365 нм) и защитные очки, поляроидные пленки или очки, пьезоэлемент от зажигалки или динамика, осциллограф (опционально), батарейка и лампочка для теста на проводимость, лупа, стандартный набор для диагностики.
Возможное развитие проекта: Количественное измерение пьезоэлектрического отклика. Спектральный анализ люминесценции разных образцов флюорита. Исследование плеохроизма у турмалина или корунда. Изучение эффекта триболюминесценции (свечение при растирании или разрушении некоторых минералов).



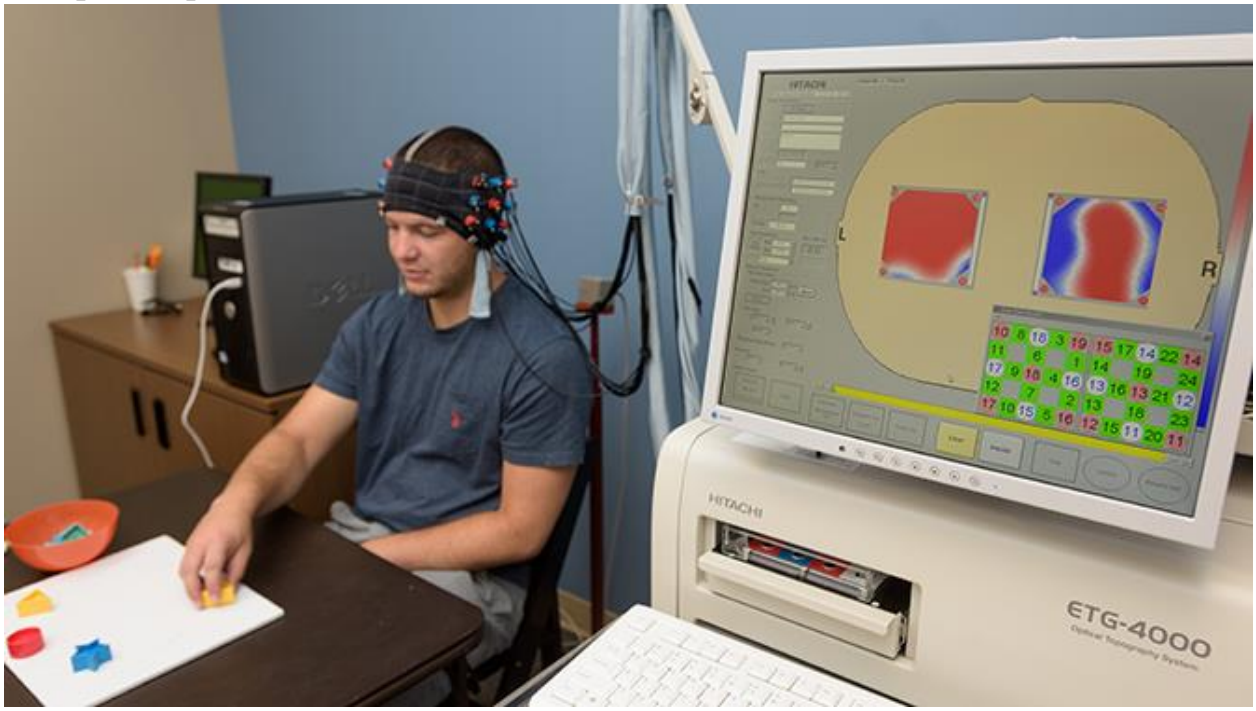
Проектная работа №42

Тема: Исследование технологии гиперсканирования мозга с использованием fNIRS (функциональной ближней инфракрасной спектроскопии).
Цель проекта: Изучить принципы работы неинвазивного метода нейровизуализации fNIRS, смоделировать его ключевые этапы на упрощенной установке и исследовать возможность регистрации изменений в кровотоке, связанных с когнитивной нагрузкой.
Задачи:
Изучить основы нейрофизиологии, гемодинамического ответа и физические принципы спектроскопии в ближнем ИК-диапазоне.
Разработать концептуальную модель fNIRS-системы: источник ИК-излучения, детектор и объект исследования (модель ткани головы или предплечья).
Собрать упрощенную установку для демонстрации принципа (например, с использованием ИК-светодиода, фотодиода и осциллографа/Arduino).
Провести эксперименты по регистрации изменений оптической плотности ткани при функциональной нагрузке (например, мышечная активность, задержка дыхания).
Проанализировать полученные сигналы, обсудить возможности и ограничения метода, его роль в гиперсканировании (одновременное сканирование нескольких мозгов).
Гипотеза: При функциональной активности ткани (например, при сокращении мышцы) увеличивается кровоток и концентрация оксигенированного гемоглобина, что изменяет оптические свойства ткани в ближнем ИК-диапазоне. Эти изменения можно зарегистрировать с помощью простой оптической системы, смоделировав принцип работы fNIRS. Сигнал будет иметь характерную временную задержку относительно начала нагрузки.
Этапы работы:
1. **Подготовительный этап** (2-3 недели)
Выбор темы: Проект междисциплинарный, находящийся на переднем крае нейронауки и биофизики, но допускающий доступное моделирование.
Постановка проблемы: Как «увидеть» работу мозга без МРТ? Как ученые изучают взаимодействие мозгов двух людей во время общения?
Планирование: Понимание, что создание полноценного fNIRS невозможно в школе. Цель – создать концептуальную модель. Варианты:
Вариант А (оптический): Использовать ИК-светодиод (850-940 нм) и фотодиод, размещенные на предплечье (измерение мышечной активности через изменение кровотока при сжатии кисти в кулак). Сигнал с фотодиода регистрировать осциллографом или через звуковую карту/Arduino.

Вариант Б (аналитический): Провести углубленный теоретический анализ технологии, создать виртуальную модель в программе (например, Matlab/Simulink, Python) для симуляции сигналов от двух взаимодействующих «виртуальных мозгов».
Оборудование: ИК-светодиод и фотодиод (пару), источник питания, резисторы, осциллограф или плата Arduino с АЦП, компьютер с ПО для анализа, темная изолента для фиксации датчиков.
2. **Проектировочный этап** (1-2 недели)
Теоретическое исследование:
Принцип fNIRS: Ближний инфракрасный свет (650-950 нм) проникает в биоткань на несколько сантиметров. Гемоглобин (окси- и дезокси-) являются основными поглотителями. Изменение концентрации HbO2 и Hb при нейрональной активности (нейроваскулярная связь) изменяет оптическую плотность ткани. По закону Бугера-Ламберта-Бера вычисляются изменения концентраций.
Гиперсканирование: Одновременная запись активности двух и более мозгов во время социального взаимодействия. fNIRS идеален для этого, так как малочувствителен к движениям и позволяет испытуемым сидеть лицом к лицу.
Моделирование: Для мышечной активности также есть гемодинамический ответ – увеличение кровотока для снабжения кислородом.
Разработка методики (для варианта А):
Собрать схему: источник тока для ИК-светодиода → ИК-светодиод, направленный на кожу. Фотодиод на некотором расстоянии (2-3 см) для приема рассеянного света.
Зафиксировать датчики на предплечье темной лентой, чтобы исключить засветку.
Записать базовый сигнал в покое в течение 30 секунд.
Дать команду на ритмичное сжатие кисти в кулак (например, 20 раз) в течение 30 секунд. Продолжить запись.
Проанализировать сигнал: выделить медленную компоненту, связанную с изменением кровенаполнения.
3. **Практический этап** (2-3 недели)
Сборка установки: Монтаж оптической схемы на гибкой основе для крепления на руке. Подключение к регистрирующему устройству.
Проведение эксперимента (вариант А):
Калибровка: Подобрать сопротивление и напряжение для получения устойчивого сигнала на фотодиоде.
Запись фона: Записать сигнал в состоянии покоя. Это будет baseline.
Функциональная проба: Испытуемый выполняет задание (сжимание кисти, задержка дыхания). Проводится синхронная запись сигнала и метки начала/окончания нагрузки.

Повторность: Провести опыт 3-5 раз для усреднения.
«Гиперсканирование» (моделирование): Провести аналогичный эксперимент с двумя испытуемыми, выполняющими совместное задание (например, синхронное сжатие кулаков). Записать сигналы параллельно.
Фиксация данных: Запись осциллограмм или данных с Arduino. Фиксация временных меток. Для варианта Б – скриншоты и графики моделирования.
4. **Аналитический этап** (1-2 недели)
Обработка данных: Для варианта А: фильтрация сигнала (удаление шумов, пульсации), усреднение по попыткам, построение графика изменения оптического сигнала во времени. Выделение периода нагрузки и сравнение с фоном.
Анализ результатов: На графике можно будет наблюдать медленный дрейф сигнала во время мышечной нагрузки, соответствующий увеличению кровотока и изменению оптической плотности. Сигнал будет зашумленным, но тенденция должна прослеживаться. В модели «гиперсканирования» можно будет искать корреляции между сигналами двух испытуемых при синхронной деятельности.
Выводы:
Принцип работы fNIRS, основанный на регистрации гемодинамических изменений через оптические свойства ткани, может быть смоделирован в упрощенном виде.
Экспериментально удалось зарегистрировать сигнал, связанный с функциональной нагрузкой, что подтверждает гипотезу о возможности такого метода.
Технология fNIRS обладает уникальными преимуществами для социальной нейронауки, позволяя проводить гиперсканирование в естественных условиях общения, что открывает новые горизонты в изучении человеческого взаимодействия.
Несмотря на простоту модели, проект демонстрирует логическую цепочку от фундаментальной физики (оптика, спектроскопия) до передовых нейробиологических исследований.
Рефлексия: Проект сложный, требует знаний в электронике и обработке сигналов. Вариант с моделированием более доступен для теоретиков.
Главный вызов – выделить слабый полезный сигнал на фоне шумов.
Ценность – прикосновение к методологии современных нейронаук.
5. **Презентационный этап**
Оформление работы: Научный отчет, описывающий физические основы метода, конструкцию модели, результаты экспериментов и их интерпретацию в контексте нейровизуализации.
Продукт: Графики зарегистрированных сигналов до, во время и после нагрузки. Схема экспериментальной установки. Для варианта Б – скриншоты модели и симулированные сигналы.

Защита: Презентация, объясняющая, как с помощью простого света можно изучать сложнейшую активность мозга. Демонстрация графиков и объяснение, что на них видно. Рассказ о перспективах гиперсканирования.
Необходимое оборудование и материалы (для варианта А): ИК-светодиод (850 нм), ИК-фотодиод, резисторы, макетная плата, провода, источник питания (батарейка 9В), осциллограф или плата Arduino с АЦП и ПО для записи, темная изолента, компьютер.
Возможное развитие проекта: Использование двух длин волн для дифференциации HbO2 и Hb (более точная модель). Изучение влияния расстояния между источником и детектором. Проведение реального когнитивного теста (например, решение арифметических задач) с регистрацией с лба. Углубленный анализ синхронизации сигналов в модели гиперсканирования.



Проектная работа №43

Тема: Исследование эволюции китайских иероглифов.
Цель проекта: Провести сравнительно-исторический анализ эволюции формы и структуры китайских иероглифов от древних пиктограмм (цзягувэнь) до современных упрощенных знаков, выявить основные тенденции изменений и объяснить их причины.
Задачи:
Изучить историю китайской письменности, основные этапы её развития (цзягувэнь, чжуаньшу, лишу, кайшу, упрощенные иероглифы).
Отобрать для исследования 30-50 базовых иероглифов, обозначающих фундаментальные понятия (человек, вода, огонь, дерево, гора, солнце, луна и т.д.).
Найти и систематизировать графические формы каждого иероглифа на разных исторических этапах.
Провести анализ изменений: упрощение, стандартизация, потеря изобразительности, фонетизация.
Сформулировать основные закономерности эволюции иероглифики и сделать выводы о влиянии технологических и социальных факторов на письменность.
Гипотеза: Эволюция китайских иероглифов шла по пути постепенного упрощения и схематизации графической формы, утраты прямой пиктографической связи с изображаемым объектом и усиления стандартизации написания. Этот процесс был обусловлен переходом от начертания на костях и бронзе к письму на бамбуке, шелке и бумаге кистью, а также необходимостью ускорения письма и распространения грамотности.
Этапы работы:
1. **Подготовительный этап** (2-3 недели)
Выбор темы: Проект лежит в области лингвистики, истории и культурологии, развивает навыки анализа визуальной информации и систематизации.
Постановка проблемы: Как рисунки на панцирях черепах превратились в сложную систему современного письма? Можно ли увидеть «след» древнего изображения в современном иероглифе?
Планирование: Определение списка исследуемых иероглифов. Поиск источников: онлайн-базы данных эволюции иероглифов (например, сайт «Chinese Etymology»), учебники по истории китайской письменности, специализированные словари. Оборудование: компьютер с графическим редактором, принтер, бумага для создания сравнительных таблиц.
2. **Проектировочный этап** (1-2 недели)
Теоретическое исследование:
Цзягувэнь (XVI-XI вв. до н.э.): Гадательные надписи на костях, яркие пиктограммы.

Чжуаньшу (Чжоу – Цинь): Оформление в единый стиль, еще сохраняется изобразительность.
Лишу (Хань): «Клерковское письмо», радикальное упрощение, переход от кривых к прямым линиям, начало стандартизации.
Кайшу (с эпохи Вэй): Стандартное уставное письмо, основа современной традиционной иероглифики.
Упрощенные иероглифы (XX в.): Дальнейшее упрощение для ликвидации неграмотности.
Шесть категорий иероглифов (лю шу): Особенно важно для анализа: пиктограммы (сянсин), идеограммы (чжиши), сложные идеограммы (хуэйи), фонетические заимствования (цзяцзе).
Разработка методики: Создание шаблона для каждого иероглифа: вертикальные колонки для исторических форм (цзягувэнь, чжуаньшу, лишу, кайшу (традиционный), упрощенный). В строке – примерная датировка и ключевые изменения. Анализ по параметрам: количество черт, сохранение изобразительности, появление фонетических компонентов.
3. **Практический этап** (3-4 недели)
Сбор материала: Поиск и сохранение изображений всех форм для каждого из выбранных иероглифов. Это самая трудоемкая часть.
Проведение исследования:
Для каждого иероглифа заполнить подготовленную таблицу, вставив изображения.
Провести «треккинг» изменений: например, иероглиф «гора» 山: в цзягувэнь – три пика, в чжуаньшу – сглаживание, в лишу и далее – три вертикальные черты с центральной выше.
Отметить случаи радикальных изменений: например, иероглиф «лошадь» 馬/马: от детального рисунка лошади к абсолютно схематичному знаку.
Выделить иероглифы, где появился фонетический компонент (например, в сложных идеограммах).
Подсчитать среднее количество черт для группы иероглифов в древней и современной форме.
Фиксация данных: Создание электронной или бумажной картотеки/таблицы. Зарисовки эволюции для наиболее показательных иероглифов.
4. **Аналитический этап** (1-2 недели)
Обработка данных: Создание наглядных «лент эволюции» для 10-15 самых показательных иероглифов. Подсчет статистики по упрощению черт.
Анализ результатов: Четко прослеживаются тенденции:
Упрощение и схематизация: Исчезновение деталей, замена кривых линий прямыми или ломаными.
Стандартизация: Все варианты написания сводятся к единой, предписанной форме.

Потеря изобразительности: Современный иероглиф часто уже не напоминает исходный предмет (особенно в упрощенном начертании).
Фонетизация: В некоторых сложных иероглифах один компонент начинает указывать на звучание, а другой – на категорию значения.
Эти изменения подтверждают гипотезу и напрямую связаны с материалом для письма (кисть и бумага требуют быстрых движений) и социальным заказом (необходимость обучать больше людей).

Выводы:

Эволюция китайских иероглифов представляет собой закономерный процесс графической трансформации, движимый практическими потребностями письма.
Основными векторами изменений являются упрощение формы, стандартизация начертания и постепенное ослабление прямой пиктографической связи.
Несмотря на радикальные изменения, в большинстве базовых иероглифов сохраняется структурная или логическая связь с древним прототипом, что обеспечивает преемственность письменной традиции длиной в millennia.
Исследование наглядно демонстрирует, как письменность является «окаменевшей историей» культуры и технологий.
Рефлексия: Проект требует кропотливости и внимания к деталям. Открытием становится осознание, что каждый иероглиф – это не случайный набор палочек, а исторический документ. Работа развивает навыки визуального и исторического анализа.

5. **Презентационный этап**

Оформление работы: Отчет в виде исследовательской работы или иллюстрированного альбома-атласа эволюции иероглифов.
Продукт: Набор плакатов или слайдов с «лентами эволюции» ключевых иероглифов. Сводная таблица основных тенденций.
Защита: Презентация в формате рассказа об истории, «зашифрованной» в письменности. Показ эволюции 3-5 самых ярких примеров (например, человек, вода, лошадь) с объяснением причин изменений.

Необходимое оборудование и материалы: Компьютер с доступом в интернет, графический редактор (можно простой), принтер, бумага, материалы для создания плакатов (ватман, маркеры).

Возможное развитие проекта: Сравнительный анализ упрощенных (大陆) и традиционных (台湾, 香港) иероглифов. Исследование влияния каллиграфических стилей на форму. Анализ эволюции ключей (радикалов). Создание интерактивной карты-линии времени эволюции иероглифов в

цифровом формате.



Проектная работа №44

Тема: Исследование свечения солей различных металлов (пламенная фотометрия, качественный анализ).
Цель проекта: Экспериментально исследовать явление эмиссионной спектроскопии – окрашивание пламени парами солей различных металлов, изучить специфичность цветов для каждого иона и использовать этот метод для качественного анализа неизвестных образцов.
Задачи:
Изучить теорию строения атома, квантовые переходы электронов и природу линейчатых спектров испускания.
Подготовить набор растворов солей щелочных и щелочноземельных металлов (хлориды или нитраты лития, натрия, калия, кальция, стронция, бария, меди).
Отработать методику безопасного внесения проб в пламя горелки.
Провести серию опытов по наблюдению окраски пламени известными солями и составить таблицу-определитель.
Использовать полученные данные для идентификации металлов в «зашифрованных» неизвестных образцах.
Гипотеза: Каждый химический элемент при внесении в пламя будет давать характерную только для него окраску за счет испускания фотонов определенной длины волны при переходе возбужденных электронов на более низкие энергетические уровни. Натрий будет окрашивать пламя в интенсивно-желтый цвет, калий – в фиолетовый, медь – в зеленый и т.д. Этот метод позволит однозначно идентифицировать присутствие конкретных металлов в пробе.
Этапы работы:
1. **Подготовительный этап** (1-2 недели)
Выбор темы: Классический, красивый и фундаментальный химический эксперимент, лежащий в основе спектрального анализа.
Постановка проблемы: Почему фейерверки разноцветные? Как по цвету пламени можно определить, из чего сделана соль?
Планирование: Приготовление 1М растворов солей: NaCl, KCl, LiCl, $CaCl_2$, $SrCl_2$, $BaCl_2$, $CuCl_2$. (Можно использовать нитраты). Для каждого – чистая пробирка и проволочная петля (нихромовая или платиновая, идеально; можно использовать канцелярскую скрепку, но она будет давать свой желтый фон от натриевых примесей). Основное оборудование: лабораторная горелка (спиртовка менее предпочтительна из-за низкой температуры), кобальтовое стекло (для фильтрации желтого цвета натрия), защитные очки, держатель для проволоки.
2. **Проектировочный этап** (1 неделя)

Теоретическое исследование: При внесении в пламя атомы металла переходят в возбужденное состояние за счет тепловой энергии. Возвращаясь в основное состояние, они испускают избыток энергии в виде кванта света. Поскольку энергетические уровни в атоме дискретны и уникальны для каждого элемента, спектр испускания (набор длин волн) является его «отпечатком пальца». В школьных условиях мы видим не спектр, а суммарный цвет, определяемый наиболее интенсивными линиями: Na – 589 нм (желтый), K – 766 нм и др. (фиолетовый, но через кобальтовое стекло – малиновый), Cu – 521 нм (зеленый), Ca – оранжево-красный, Sr – ярко-красный, Ba – желто-зеленый, Li – карминово-красный.
Разработка методики:
Очистка петли: прокалить в пламени до исчезновения посторонней окраски.
Внесение пробы: обмакнуть петлю в раствор соли, внести в несветящуюся часть пламени (самую горячую).
Наблюдение: зафиксировать цвет сразу после внесения (первые 1-2 секунды).
Для калия: наблюдать через кобальтовое стекло, которое поглощает желтый свет натрия, мешающий увидеть фиолетовый калия.
Для каждого известного иона провести 3 пробы для уверенности.
Техника безопасности: Обязательны защитные очки! Работа с открытым огнем. Не наклоняться над горелкой. Соли бария ядовиты – работать аккуратно, не разливать, мыть руки. Убрать волосы и свободные рукава.
3. **Практический этап** (1-2 недели)
Подготовка: Организация вентилируемого рабочего места. Приготовление всех растворов с этикетками. Прокаливание петли.
Проведение эксперимента:
Составление таблицы цветов: Последовательно вносить в пламя растворы известных солей. Записывать наблюдаемый цвет (и цвет через кобальтовое стекло для K, Ca, Sr).
Тренировка наблюдения: Научиться отличать, например, оранжево-красный кальция от ярко-красного стронция и карминового лития.
Анализ «неизвестных»: Преподаватель готовит 3-4 «неизвестных» пробирки (с одним металлом или смесью, например, $NaCl+CuCl_2$). Ученик, используя свою таблицу, должен определить, какие металлы присутствуют в каждой.
Наблюдение смесей: Что будет, если внести смесь Na и K? (Без стекла – желтый Na маскирует K, со стеклом – виден K).
Фиксация данных: Таблица: «Металл (ион) – Соль – Цвет пламени невооруженным глазом – Цвет через кобальтовое стекло».
Фотографирование пламени (сложно, но можно в полутьме). Зарисовки.
4. **Аналитический этап** (1 неделя)
Обработка данных: Создание наглядной цветовой палитры-определителя.
Анализ результатов: Цвета будут соответствовать классическим: натрий – устойчивый желтый, калий – фиолетовый (малиновый через стекло), медь –

изумрудно-зеленый, кальций – кирпично-красный, стронций – ярко-красный, барий – зеленоватый, литий – красный. «Неизвестные» пробы будут успешно идентифицированы. Смесь натрия и калия подтвердит необходимость использования кобальтового стекла как простого спектрального фильтра.

Выводы:

Метод пламенной фотометрии является эффективным методом качественного анализа элементов I и II групп периодической системы, а также некоторых других (медь).

Наблюдаемая специфическая окраска пламени является прямым экспериментальным доказательством дискретности энергетических уровней атома и подтверждает гипотезу.

Метод, несмотря на простоту, лежит в основе более сложных инструментальных методов (атомно-эмиссионная спектроскопия) и имеет огромное практическое значение (анализ руд, контроль технологических процессов, криминалистика).

Опыт демонстрирует красоту и практическую мощь квантовой теории в химии.

Рефлексия: Проект эффектен и относительно прост в исполнении. Главная трудность – различение близких оттенков красного (Ca, Sr, Li) и очистка петли. Самый запоминающийся момент – появление ярко-зеленого пламени от меди. Проект развивает наблюдательность и связывает теорию с яркой практикой.

5. **Презентационный этап**

Оформление работы: Отчет с теорией, описанием методики, цветной таблицей-определителем и результатами анализа неизвестных.

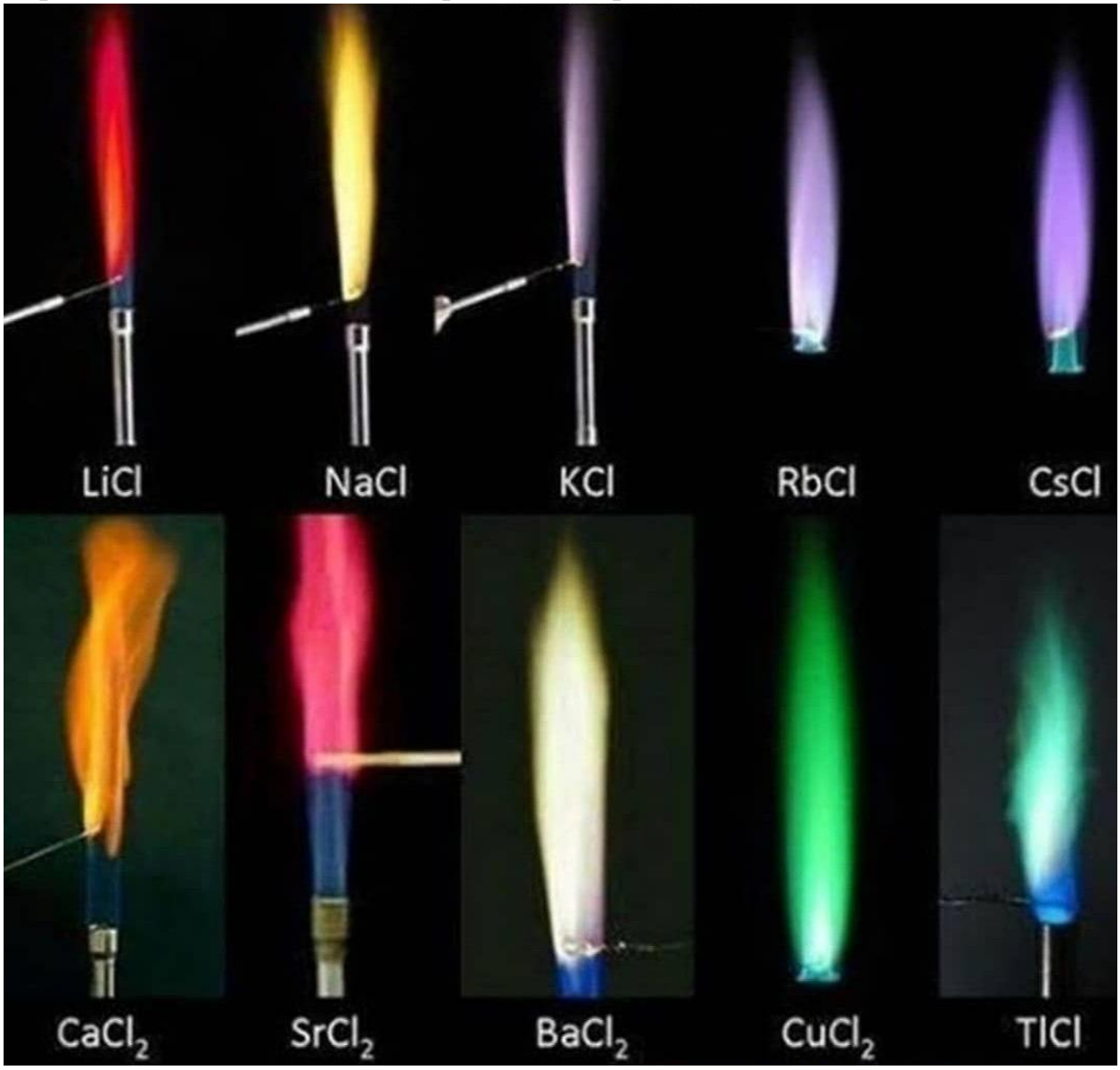
Продукт: Цветная таблица-палитра «Цвета пламени металлов». Коллекция пробирок с солями, вызвавшими определенные цвета. Фотографии пламени (если удались).

Защита: Живая демонстрация – лучшая защита. Показать окрашивание пламени 2-3 наиболее яркими солями (например, NaCl, $CuCl_2$, KCl через стекло). Объяснить, почему цвета разные, и продемонстрировать работу с «неизвестной» пробой.

Необходимое оборудование и материалы: Лабораторная горелка (или хорошая спиртовка), нихромовая/платиновая проволока на держателе, набор солей (хлориды Na, K, Li, Ca, Sr, Ba, Cu), дистиллированная вода, пробирки, кобальтовое стекло, защитные очки.

Возможное развитие проекта: Наблюдение через самодельный спектроскоп (на основе CD). Изучение влияния аниона на цвет (нитрат vs хлорид). Количественная оценка (приблизительная) по интенсивности свечения. Анализ реальных объектов: минеральной воды, золы растений,

пиротехнических составов (с крайней осторожностью!).



Проектная работа №45

Тема: Исследование теплопроводности воды.
Цель проекта: Экспериментально исследовать процесс передачи тепла в воде конвекцией и теплопроводностью, измерить скорость распространения теплового фронта в различных условиях и визуализировать формирование конвекционных потоков.
Задачи:
Изучить механизмы теплопередачи: теплопроводность, конвекция, излучение. Особенности теплопроводности жидкостей и роль конвекции.
Разработать установку для визуализации распространения тепла в аквариуме с водой.
Провести серию экспериментов по нагреву воды в разных точках (сверху, сбоку, снизу) с использованием индикатора для визуализации потоков.
Измерить скорость движения теплового фронта и построить температурные профили для разных условий.
Сделать выводы о преобладающем механизме теплопередачи в воде и факторах, влияющих на её эффективность.
Гипотеза: Из-за низкой теплопроводности воды основной механизм переноса тепла в ней – конвекция. При нагреве снизу возникнут устойчивые конвекционные потоки (теплые слои поднимаются, холодные опускаются). При нагреве сверху конвекция будет подавлена, и тепло будет распространяться очень медленно за счет теплопроводности и слабой естественной конвекции.
Этапы работы:
1. **Подготовительный этап** (1-2 недели)
Выбор темы: Проект наглядно демонстрирует фундаментальные физические процессы, происходящие в жидкостях и определяющие многие природные явления.
Проблема: Почему вода в кастрюле нагревается снизу, а лед образуется на поверхности водоема? Как именно распространяется тепло в воде?
Планирование: Создание установки: аквариум или высокий прозрачный сосуд (литров на 5-10), точечные нагреватели (можно использовать маломощные паяльники или резистивные нагреватели от старого чайника), несколько термометров или термопар с датчиками, краска или перманганат калия для визуализации потоков (несколько кристаллов), камера для записи, штатив.
2. **Проектировочный этап** (1 неделя)
Теоретическое исследование: Теплопроводность воды – 0,6 Вт/(м·К) – очень низкая (у меди 400). Поэтому прогреть слой воды только за счет теплопроводности – медленно. Конвекция – перенос тепла самим движущимся веществом. В гравитационном поле теплая (менее плотная) вода

всплывает, холодная – опускается. Это создает конвекционные потоки. Число Рэлея определяет режим конвекции. При нагреве сверху теплый слой уже наверху, конвекция не возникает, теплоотдача хуже.
Разработка методики:
Нагрев снизу: Поместить нагреватель на дно с одной стороны аквариума. Бросить несколько кристаллов марганцовки у нагревателя для визуализации потоков. Установить 3-4 термометра на разных высотах и горизонтальных расстояниях от нагревателя. Записывать температуру каждые 30 секунд.
Нагрев сбоку: Закрепить нагреватель на боковой стенке на половине высоты.
Нагрев сверху: Закрепить нагреватель у поверхности воды.
Визуализация: Снимать на видео движение окрашенных струй.
Техника безопасности: Работа с электроприборами рядом с водой. Надежная изоляция нагревателей. Не оставлять установку без присмотра.
3. **Практический этап** (1-2 недели)
Сборка установки: Надежное крепление нагревателей и термометров. Обеспечение неподвижности аквариума.
Проведение эксперимента:
Опыт 1 (нагрев снизу). Включить нагреватель. С помощью видео фиксировать, как окрашенные струйки поднимаются от нагревателя, растекаются под поверхностью, затем опускаются у дальней стенки, образуя круговой конвективный поток.
Снимать показания термометров. Построить графики T(t) для каждой точки.
Опыт 2 (нагрев сбоку). Повторить процедуру. Наблюдать асимметричные потоки.
Опыт 3 (нагрев сверху). Наблюдать отсутствие организованных потоков. Краситель будет медленно диффундировать вниз.
Контрольный опыт: Измерить, за какое время термометр на расстоянии 5 см от нагревателя покажет рост температуры на 1°C при нагреве снизу и сверху.
Фиксация данных: Видеозаписи конвекционных потоков. Таблицы температуры от времени. Фотографии установки.
4. **Аналитический этап** (1 неделя)
Обработка данных: Построение графиков T(t) для всех опытов. По видео определение скорости движения окрашенной струйки.
Анализ результатов: При нагреве снизу температура быстрее всего растет у верхних точек с противоположной от нагревателя стороны (туда приходит теплый поток). Графики покажут характерные S-образные кривые. При нагреве сверху температура у дна растет крайне медленно. Скорость конвективного потока (см/с) будет на порядки выше скорости «расползания» тепла при нагреве сверху. Визуально потоки при нагреве снизу и сбоку будут четкими, при нагреве сверху – размытыми.
Выводы:

Экспериментально подтверждено, что основным механизмом переноса тепла в воде при наличии гравитации является конвекция.
Эффективность прогрева воды радикально зависит от расположения источника тепла: нагрев снизу наиболее эффективен благодаря развитию устойчивой конвекции.
Низкая теплопроводность воды приводит к тому, что при подавлении конвекции (нагрев сверху) процесс теплопередачи становится крайне медленным.
Гипотеза подтвердилась полностью. Наблюдаемые явления объясняют природные процессы (прогрев водоемов, образование льда на поверхности) и лежат в основе конструкций многих технических устройств (систем отопления, чайников).
Рефлексия: Проект красив и нагляден. Сложность – в обеспечении стабильного и безопасного подогрева. Самый впечатляющий момент – наблюдение зарождения и развития четких конвекционных ячеек.
5. **Презентационный этап**
Оформление работы: Отчет с описанием механизмов теплопередачи, схемами установок, графиками и кадрами из видео с разметкой потоков.
Продукт: Видеоролик с конвекционными потоками, замедленный для наглядности. Графики сравнительной скорости прогрева.
Защита: Демонстрация видео с комментариями, показ графиков. Объяснение на примере, почему радиатор отопления ставят внизу, а не под потолком.
Необходимое оборудование и материалы: Прозрачный аквариум (высотой от 25 см), маломощные нагревательные элементы (3-4 шт), блок питания или ЛАТР, 4-5 термометров или цифровых датчиков температуры, штативы, перманганат калия или пищевой краситель, видеокамера.
Возможное развитие проекта: Изучение влияния концентрации соли на конвекцию (изменение плотности). Исследование конвекции Рэлея-Бенара (равномерный нагрев снизу). Количественный расчет скорости потока и коэффициента теплопередачи.



Проектная работа №46

Тема: Изучение электрической цепи при помощи графита (создание резисторов и датчиков нарисованных карандашом).
Цель проекта: Исследовать электропроводность графитовых покрытий, нанесенных на бумагу, изучить зависимость их сопротивления от геометрических параметров и применить полученные знания для создания простых рисованных датчиков (изгиба, растяжения, прикосновения).
Задачи:
Изучить строение графита, природу его электропроводности и принцип работы резистивных датчиков.
Разработать методику создания проводящих дорожек разной длины, ширины и толщины с помощью графитовых карандашей различной мягкости.
Измерить сопротивление нарисованных участков, установить зависимость R от длины, ширины и числа слоев.
Создать и испытать прототипы датчиков: реостат (ползунковый резистор), датчик изгиба (на скотче), сенсор прикосновения.
Проанализировать стабильность и надежность таких «бумажных» элементов цепи.
Гипотеза: Сопротивление нарисованной графитовой дорожки будет подчиняться закону Ома для однородного проводника: $R = \rho * (L / S)$, где ρ – удельное сопротивление графитового слоя, L – длина, S – площадь поперечного сечения (определяется шириной и толщиной слоя). Увеличение длины и уменьшение ширины/толщины будет увеличивать сопротивление. Это свойство позволит создавать простые переменные резисторы и датчики, сопротивление которых меняется при деформации.
Этапы работы:
1. **Подготовительный этап** (1 неделя)
Выбор темы: Проект объединяет материаловедение, электротехнику и DIY-электронику, демонстрируя, как из простейших материалов можно создавать функциональные устройства.
Проблема: Можно ли нарисовать электрическую цепь? Как сделать датчик из бумаги и карандаша?
Планирование: Подбор материалов: бумага (гладкая, например, для принтера), графитовые карандаши разной мягкости (2H, HB, 2B, 6B), линейка, ножницы, медный скотч или канцелярские скрепки для контактов, мультиметр, батарейка 9В, светодиод, резистор на 300 Ом.
2. **Проектировочный этап** (1 неделя)
Теоретическое исследование: Графит – проводник благодаря делокализованным электронам в sp^2-гибридизированных слоях. Нарисованный слой – это хаотичная сеть мелких чешуек графита. Его проводимость зависит от плотности контактов между чешуйками, поэтому

влияет мягкость карандаша (количество графита) и нажим. При растяжении или изгибе контакты между частицами нарушаются, сопротивление растет – это основа работы резистивного датчика.
Разработка методики:
Калибровка: Нарисовать прямоугольники длиной 5 см и шириной 0,5 см карандашами разной мягкости с одинаковым нажимом. Измерить сопротивление между концами.
Зависимость от длины: Нарисовать дорожки разной длины (2, 5, 10, 15 см) одной ширины и карандашом одной мягкости. Измерить R, построить график R(L).
Зависимость от ширины: Нарисовать дорожки разной ширины (0.2, 0.5, 1, 2 см) одной длины.
Создание датчиков:
Реостат: Нарисовать длинную дорожку, подключить один контакт фиксировано, а второй – через подвижный контакт (скрепку).
Датчик изгиба: Нарисовать дорожку на полоске скотча, изгибать её и измерять R.
Сенсор прикосновения: Две зоны, разделенные небольшим зазором. При касании пальцем зазора сопротивление цепи через тело меняется.
3. **Практический этап** (1-2 недели)
Подготовка: Нарезка бумаги, заготовка контактов из медного скотча.
Проведение эксперимента:
Изготовление образцов: Аккуратно по линейке нарисовать все серии дорожек. Закрепить контакты.
Измерения: Для каждого образца измерить сопротивление мультиметром (в режиме 200 кОм). Каждое измерение повторить 3 раза, слегка перемещая щупы для учета неоднородности.
Испытание датчиков:
Для реостата: подключить его последовательно со светодиодом и батарейкой. Перемещая ползунок, изменять яркость светодиода.
Для датчика изгиба: измерить R в прямом состоянии, затем при разных радиусах изгиба.
Для сенсора: подключить к мультиметру в режиме измерения сопротивления, прикоснуться к зазору – наблюдать скачок показаний.
Фиксация данных: Таблицы с результатами измерений. Фотографии образцов и схем. Графики зависимостей R(L) и R(1/S).
4. **Аналитический этап** (1 неделя)
Обработка данных: Построение графиков. Аппроксимация графика R(L) прямой линией. Расчет удельного поверхностного сопротивления (в Омах/квадрат).
Анализ результатов: График R(L) будет линейным, что подтверждает справедливость закона Ома. Более мягкие карандаши (6B) дадут меньшее

сопротивление. Увеличение ширины приведет к снижению R. Реостат будет плавно регулировать яркость светодиода. Сопротивление датчика изгиба будет расти с увеличением кривизны. Сенсор прикосновения будет реагировать на замыкание через тело.

Выводы:

Графитовые дорожки, нарисованные карандашом, являются проводящими резистивными элементами, чье сопротивление зависит от геометрических параметров и качества нанесения, что подтверждает гипотезу.

На основе этого эффекта можно создавать простейшие, но функциональные электронные компоненты: постоянные и переменные резисторы, датчики деформации.

Такие «бумажные» схемы обладают низкой стабильностью и воспроизводимостью, но идеальны для образовательных целей и прототипирования.

Проект демонстрирует связь между микроструктурой материала (чешуйки графита) и его макроскопическими электрическими свойствами.

Рефлексия: Проект прост, дешев и очень эффективен. Сложность – в получении однородных дорожек. Увлекательно – наблюдать, как оживает рисунок и начинает управлять электроникой.

5. **Презентационный этап**

Оформление работы: Отчет с теорией, методикой создания дорожек, таблицами, графиками и схемами датчиков.

Продукт: Коллекция образцов дорожек с разными параметрами.

Демонстрационные макеты: реостат, управляющий светодиодом, и датчик изгиба, подключенный к мультиметру.

Защита: Живая демонстрация: нарисовать дорожку при комиссии, измерить её сопротивление, собрать цепь с светодиодом и показать, как её можно регулировать нарисованным реостатом.

Необходимое оборудование и материалы: Бумага, графитовые карандаши разной мягкости (2B-8B), линейка, медный скотч или фольга, ножницы, мультиметр, батарейка 9В, светодиод, резистор 300 Ом, канцелярские скрепки.

Возможное развитие проекта: Создание полноценного рисованного делителя напряжения. Исследование влияния температуры на сопротивление графитовой дорожки. Создание матрицы сенсоров прикосновения (клавіатура). Изучение проводящих чернил на основе других материалов (серебро, углеродные нанотрубки).

Проектная работа №47

Тема: Исследование создания и применения жидких проводов (токопроводящих чернил).
Цель проекта: Разработать рецептуры и исследовать свойства самодельных токопроводящих чернил на основе различных наполнителей (графит, алюминиевая пудра, сажа), оценить их электропроводность, адгезию к разным поверхностям и применимость для создания гибких электронных соединений.
Задачи:
Изучить принцип работы токопроводящих клеев и красок, требования к наполнителю и связующему.
Подобрать доступные проводящие наполнители (графитовый порошок, алюминиевая пудра, сажа) и связующие (клей ПВА, лак для ногтей, акриловый лак).
Экспериментальным путем найти соотношения компонентов, дающие устойчивую, хорошо проводящую пасту.
Измерить удельное сопротивление полученных составов, нанесенных на различные подложки (бумага, стекло, пластик).
Протестировать созданные «жидкие провода» в практических задачах: восстановление дорожки на плате, создание гибкого соединения, замыкание выключателя.
Гипотеза: Электропроводность композитного материала (чернил) будет определяться образованием проводящих цепочек из частиц наполнителя в диэлектрической матрице связующего. Существует порог перколяции – минимальная концентрация наполнителя, при которой возникает сплошная проводящая сеть. Наиболее эффективным наполнителем окажется графит благодаря своей слоистой структуре, а лучшей основой – быстросохнущий и образующий эластичную пленку лак.
Этапы работы:
1. **Подготовительный этап** (1-2 недели)
Выбор темы: Проект на стыке химии материалов и электроники, имеющий очевидное практическое применение.
Проблема: Как починить порвавшийся шлейф или восстановить дорожку на плате без пайки? Можно ли сделать провод, который можно «нарисовать»?
Планирование: Закупка материалов: графитовый порошок (можно из стержней карандашей), алюминиевая пудра (пигмент), сажа (из свечи), связующие: клей ПВА, бесцветный лак для ногтей, акриловый лак.
Оборудование: точные весы (или мерные ложки), стеклянные палочки для смешивания, кисточки, подложки для тестов (обрезки плат, фотобумага, пластик), мультиметр, источник питания, светодиод.
2. **Проектировочный этап** (1 неделя)

Теоретическое исследование: Токопроводящие композиты. Эффект перколяции: при малой концентрации частицы изолированы, при достижении критической концентрации (порога) образуются бесконечные кластеры, материал резко становится проводящим. Важна форма частиц (чешуйки лучше шариков), их размер и смачиваемость связующим. После высыхания связующее должно образовывать прочную пленку, не изолирующую частицы друг от друга.
Разработка методики:
Приготовление составов: Для каждого наполнителя (графит, Al, сажа) приготовить серию паст с увеличением массовой доли наполнителя от 20% до 80% (шаг 10-15%) в выбранном связующем.
Нанесение и сушка: Кисточкой нанести полоски пасты одинакового размера (1х5 см) на стекло. Высушить.
Измерение сопротивления: После полного высыхания измерить сопротивление полоски между её концами. Рассчитать удельное сопротивление (нужны точные геометрические размеры).
Тесты на адгезию и гибкость: Попробовать отслоить пленку, согнуть подложку.
Практическое испытание: Восстановить разрыв на бумажной цепи со светодиодом, «нарисовать» выключатель.
3. **Практический этап** (2-3 недели)
Приготовление и тестирование: Тщательное смешивание компонентов. Важно добиться однородности.
Проведение эксперимента:
Поиск порога перколяции: Для каждой серии (напр., графит-ПВА) измерить R полосок. Построить график R(% наполнителя). Найти концентрацию, при которой сопротивление падает на порядки.
Сравнение наполнителей: Сравнить лучшие составы на основе разных наполнителей при одинаковой концентрации (~60%).
Сравнение связующих: Для лучшего наполнителя (вероятно, графита) сравнить ПВА, лак для ногтей и акриловый лак.
Практический тест: Взять плату с оборванной дорожкой (или специально сделанный разрыв на фольгированном текстолите). Нанести состав-победитель так, чтобы соединить концы. Дать высохнуть. Проверить проводимость и работу устройства (например, зажигание светодиода).
Создание гибкого соединения: Нанести состав на полоску скотча, согнуть её, проверить, не теряется ли контакт.
Фиксация данных: Таблицы с рецептурами и измеренным сопротивлением. Фотографии образцов и практических испытаний. Графики зависимости R от концентрации.
4. **Аналитический этап** (1 неделя)

Обработка данных: Построение графиков перколяции. Расчет удельного сопротивления для лучших композиций.
Анализ результатов: Порог перколяции для графита будет около 40-50%. Составы с алюминиевой пудрой могут иметь более высокую начальную проводимость, но хуже стабильность и адгезию. Лак для ногтей даст быстрое высыхание и гладкую пленку, ПВА – более эластичную, но долго сохнущую. Сажа, вероятно, окажется худшим наполнителем из-за малого размера и плохой смачиваемости. Лучший состав успешно восстановит разрыв на плате и позволит управлять светодиодом.

Выводы:

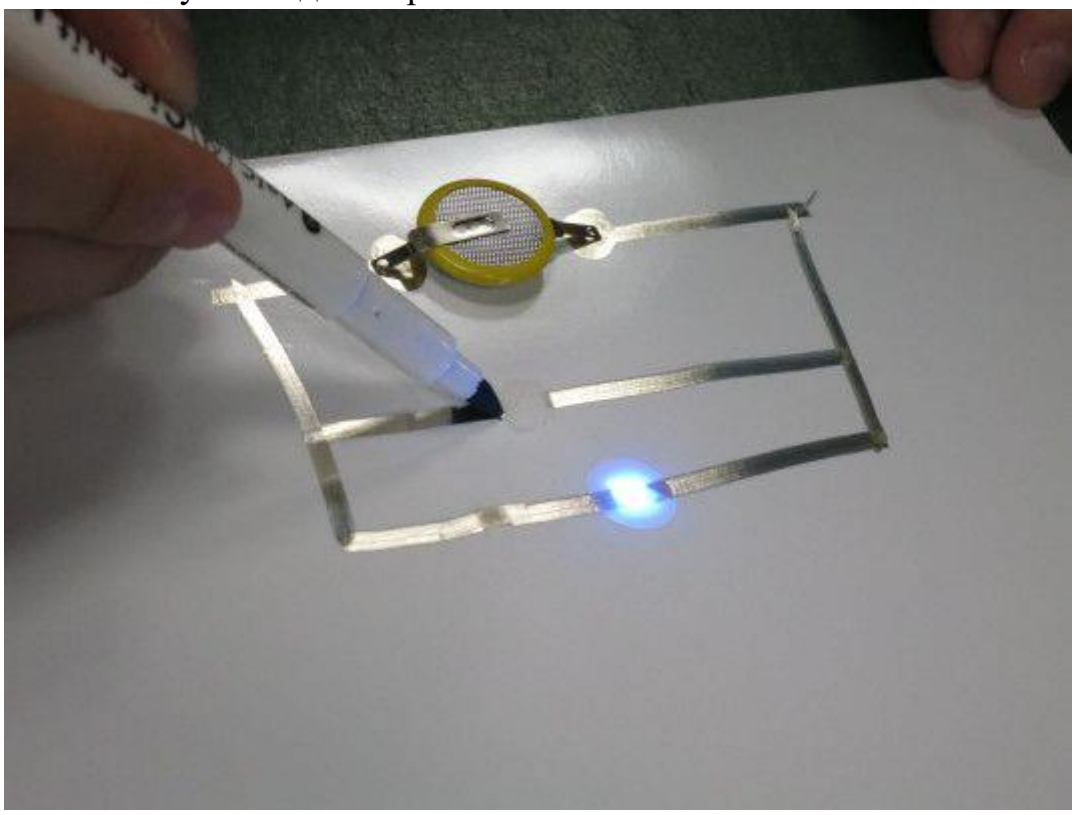
Успешно разработаны рецептуры токопроводящих композитов (жидких проводов) на основе доступных материалов.
Наблюден и подтвержден эффект перколяции: электропроводность композита резко возрастает при достижении критической концентрации проводящего наполнителя.
Наиболее эффективным наполнителем является графитовый порошок, а в качестве связующего оптимален быстросохнущий лак, образующий прочную пленку.
Полученные составы пригодны для быстрого ремонта проводящих дорожек, создания прототипов схем и могут служить наглядной моделью для изучения композиционных материалов. Гипотеза подтвердилась.
Рефлексия: Проект имеет яркую практическую составляющую. Сложность – в точном дозировании и получении воспроизводимых результатов (вязкость, толщина слоя). Очень удовлетворительно – починить электронику собственноручно приготовленной «краской».

5. **Презентационный этап**

Оформление работы: Отчет, напоминающий технологическую инструкцию, с рецептами, таблицами свойств, графиками и фотографиями практического применения.
Продукт: Коллекция образцов чернил на разных подложках.
Демонстрационный стенд: неработающая плата с обрывом, которая начинает работать после нанесения состава.
Защита: Демонстрация «фокуса»: восстановление цепи на глазах у комиссии. Показ графиков, объясняющих, почему состав проводит ток.

Необходимое оборудование и материалы: Графитовый порошок, алюминиевая пудра, сажа, клей ПВА, бесцветный лак для ногтей, акриловый лак, стеклянные палочки, кисточки, подложки (стекло, пластик, бумага), точные весы или мерные ложки, мультиметр, источник питания, светодиоды, обрезки печатных плат.
Возможное развитие проекта: Исследование влияния размера частиц графита. Добавление наполнителей для улучшения эластичности (углеродные нанотрубки – теоретически). Создание состава для

экранирования ЭМ-помех. Сравнение с коммерческими токопроводящими клеями. Изучение долговременной стабильности контакта.

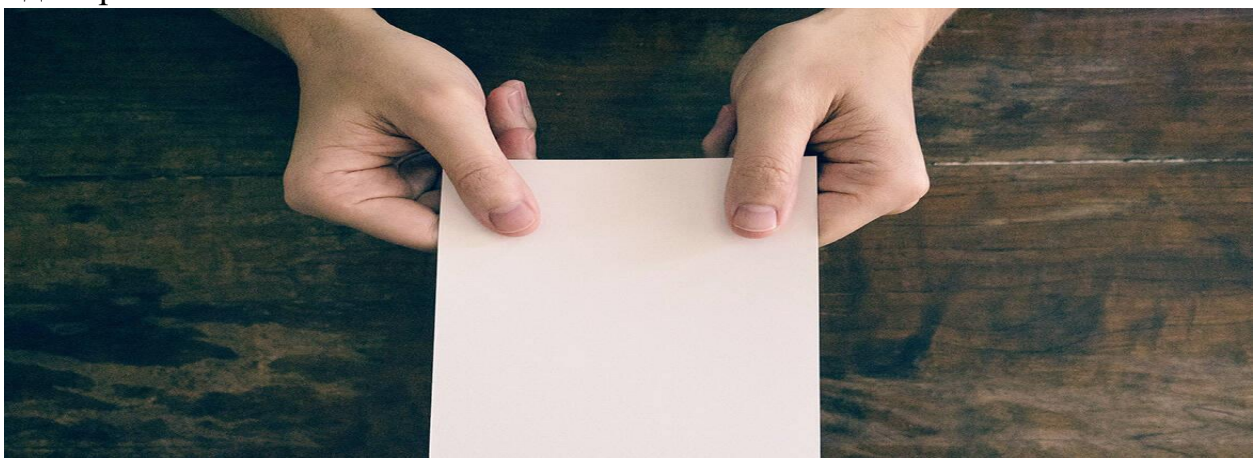


Проектная работа №48

Тема: Исследование силы трения на примере разного количества сложенных листов бумаги (эффект увеличения трения в стопке).
Цель проекта: Экспериментально исследовать, как сила трения скольжения между двумя поверхностями (листами бумаги) зависит от количества слоев и нормальной силы, и объяснить наблюдаемый нелинейный эффект резкого возрастания силы трения в стопке.
Задачи:
Изучить природу силы трения, законы Амонтона-Кулона, понятия коэффициента трения и адгезии.
Разработать методику измерения силы трения при вытягивании одного листа из стопки разного размера.
Провести серию опытов по измерению силы, необходимой для вытягивания одного листа из стопок, состоящих из разного количества листов (например, 2, 5, 10, 20, 40 листов).
Построить график зависимости силы трения от количества листов и проанализировать его форму.
Объяснить наблюдаемый эффект с точки зрения распределения нормальной силы и увеличения площади контакта между микронеровностями.
Гипотеза: Сила трения, необходимая для вытягивания одного листа из стопки, будет нелинейно возрастать с увеличением общего количества листов в стопке. Это связано с тем, что на вытягиваемый лист действует не только вес лежащих сверху листов, но и увеличивающаяся сила адгезии и сцепления между всеми листами в стопке, вызванная увеличением суммарной нормальной силы, прижимающей микронеровности друг к другу.
Этапы работы:
1. **Подготовительный этап** (3-5 дней)
Выбор темы: Проект демонстрирует фундаментальный закон физики на простом и парадоксальном примере, где интуитивное представление («больше листов – больше вес – больше трение») требует уточнения.
Постановка проблемы: Почему два листа бумаги разделяются легко, а вытащить один лист из толстой стопки (например, из пачки для принтера) очень тяжело? Как сила трения зависит от количества слоев?
Планирование: Подготовка материалов: несколько пачек одинаковой офисной бумаги (формат А4), динамометр (желательно цифровой с пределом 10-20 Н), штатив с лапкой для закрепления динамометра, ровная поверхность (стол), линейка. Необходимо большое количество листов (200-300 шт.).
2. **Проектировочный этап** (3-5 дней)
Теоретическое исследование: Сила трения скольжения $F_{тр} = \mu * N$, где μ – коэффициент трения, N – нормальная сила реакции опоры. В случае стопки бумаг, нормальная сила, прижимающая вытягиваемый лист к соседним,

создается не только весом лежащих сверху листов, но и силами сцепления и упругости всей стопки. При увеличении количества листов возрастает общая сила сжатия, что приводит к более плотному контакту между микронеровностями волокон бумаги на всей площади листа, увеличивая эффективную силу трения сверх простой линейной зависимости от веса.
Разработка методики:
Сформировать стопки разного размера: 2, 5, 10, 20, 40, 80 листов. Каждая стопка должна быть аккуратно выровнена.
Зажать один край вытягиваемого листа в зажиме динамометра, закрепленного на штативе горизонтально.
Остальную часть стопки надежно зафиксировать рукой или тяжелым предметом, чтобы вытягивался только один целевой лист.
Плавно и с постоянной малой скоростью тянуть динамометр, фиксируя максимальное значение силы (сила трения покоя) перед началом движения.
Для каждого размера стопки провести 5-7 измерений, вычислить среднее значение и погрешность.
3. **Практический этап** (1-2 недели)
Подготовка: Калибровка динамометра (при необходимости). Разметка и формирование стопок.
Проведение эксперимента:
Для каждой стопки (начиная с самой маленькой) провести серию измерений. Важно каждый раз использовать новый, не деформированный лист из середины стопки.
Следить, чтобы вытягивание было строго горизонтальным и равномерным.
Записывать максимальное показание динамометра для каждой попытки.
Контрольный опыт: Измерить вес стопок разного размера, чтобы построить также график зависимости трения от веса верхней части стопки (для сравнения).
Фиксация данных: Таблица: «Количество листов в стопке (n) – Средняя сила трения Fтр (Н) – Стандартное отклонение – Вес верхней части стопки (Н)*».
*Вес верхней части – это вес листов, лежащих строго над вытягиваемым.
4. **Аналитический этап** (1 неделя)
Обработка данных: Построение двух графиков: 1) Зависимость Fтр от n. 2) Зависимость Fтр от веса верхних листов N.
Анализ результатов: График Fтр(n) будет иметь явно нелинейный, возрастающий характер, особенно заметный при переходе от малых стопок к большим. График Fтр(N) также не будет прямой линией, проходящей через ноль, что указывает на наличие дополнительного фактора. Этот фактор – увеличение нормального давления по всей площади листа из-за сжатия стопки. В толстой стопке листы сильнее прижимаются друг к другу, увеличивая реальную площадь контакта и силы межмолекулярного взаимодействия (адгезии) между волокнами.

Выводы:
Сила трения при вытягивании листа из стопки существенно и нелинейно возрастает с увеличением общего количества листов.
Простая модель трения Fтр = μ * (вес верхних листов) оказывается недостаточной для описания явления, так как не учитывает увеличение силы сжатия и адгезии между всеми листами в стопке.
Наблюдаемый эффект является наглядной демонстрацией сложной природы трения, в которой важную роль играют не только вес, но и упругие свойства контактирующих тел и силы адгезии.
Гипотеза о нелинейном возрастании силы трения подтвердилась.
Рефлексия: Проект прост в постановке, но требует аккуратности в измерениях. Парадоксальность результата (огромная сила для тонкого листа) производит сильное впечатление. Проект учит критически относиться к упрощенным формулам.
5. **Презентационный этап**
Оформление работы: Отчет с теорией трения, описанием методики, таблицами, графиками и физическим объяснением нелинейности.
Продукт: График зависимости Fтр(n), наглядно показывающий резкий рост. Видеозапись эксперимента с толстой стопкой, где динамометр показывает большое значение.
Защита: Демонстрация опыта: показать, как легко вытянуть лист из 2-3 листов, и как трудно (или невозможно вручную) – из стопки в 80 листов. Объяснение с помощью графиков.
Необходимое оборудование и материалы: Офисная бумага А4 (2-3 пачки по 500 листов), динамометр (желательно цифровой, 0-20 Н), штатив с лапкой, ровный стол, линейка.
Возможное развитие проекта: Исследование зависимости от типа бумаги (гладкость, плотность). Изучение влияния влажности воздуха на силу трения в стопке. Попытка смоделировать систему с учетом упругих свойств. Измерение силы трения при вытягивании не одного, а нескольких листов одновременно.



Проектная работа №49

Тема: Исследование КПД солнечных батарей от угла падающего света.
Цель проекта: Экспериментально определить зависимость эффективности (коэффициента полезного действия) фотоэлектрического преобразования небольшой солнечной панели от угла падения солнечных лучей и найти оптимальный угол для заданных условий.
Задачи:
Изучить принцип работы фотоэлементов, понятие КПД солнечной батареи и факторы, влияющие на него (интенсивность света, спектр, угол падения, температура).
Собрать измерительную установку: солнечная панель, нагрузочный реостат, амперметр, вольтметр, источник света (мощная лампа накаливания или галогенная лампа, имитирующая солнце), транспортир для измерения угла.
Провести эксперименты по снятию вольт-амперных характеристик (ВАХ) панели при разных углах падения света.
Рассчитать выходную мощность и КПД для каждого угла, построить соответствующие графики.
Определить оптимальный угол установки и проанализировать потери, связанные с отклонением от него.
Гипотеза: Максимальная выходная мощность и КПД солнечной панели будут достигнуты при угле падения света, близком к 90° (перпендикулярно поверхности). При отклонении угла от перпендикуляра эффективная освещенная площадь панели будет уменьшаться по закону косинуса (закон Ламберта), что приведет к снижению генерируемой мощности. Также может измениться fill factor (коэффициент заполнения ВАХ).
Этапы работы:
1. **Подготовительный этап** (1-2 недели)
Выбор темы: Проект имеет высокую практическую значимость в контексте альтернативной энергетики и развивает навыки работы с электроизмерительными приборами.
Постановка проблемы: Как правильно установить солнечную батарею на крыше, чтобы получить максимум энергии? Насколько сильно падает её эффективность, если свет падает под углом?
Планирование: Приобретение небольшой солнечной панели (например, 6В, 1Вт). Подбор мощного и стабильного источника света: галогенная лампа 500Вт (с вентилятором для охлаждения) или несколько софитов.
Оборудование: мультиметры (2 шт.) или амперметр и вольтметр, переменный резистор (реостат) на 10-50 Ом, провода, транспортир, линейка, штатив для крепления панели.
2. **Проектировочный этап** (1 неделя)

Теоретическое исследование: Мощность солнечной панели P = U * I. КПД = (P_электрическая / P_световая) * 100%. P_световая = E * S, где E – освещенность (Вт/м²), S – площадь панели. При падении света под углом α эффективная площадь уменьшается: S_эфф = S * cos(α). Поэтому ожидается, что мощность будет падать примерно пропорционально cos(α). Однако на ВАХ также влияют внутренние параметры панели (последовательное сопротивление).
Разработка методики:
Собрать цепь: солнечная панель → амперметр → реостат → панель. Вольтметр подключить параллельно панели.
Закрепить панель на штативе с возможностью плавного изменения угла наклона относительно неподвижного источника света.
Установить фиксированное расстояние от лампы до панели.
Для каждого угла (например, 0°, 15°, 30°, 45°, 60°, 75°, 90°): изменяя сопротивление реостата, снять 5-7 пар значений напряжения и тока (от холостого хода до короткого замыкания).
Измерить освещенность на поверхности панели при α=0° люксметром (если есть) для оценки световой мощности.
3. **Практический этап** (1-2 недели)
Сборка установки: Организовать темное или полутемное помещение, чтобы исключить посторонний свет. Надежно закрепить лампу и панель.
Проведение эксперимента:
Калибровка: Установить панель перпендикулярно лучам (α=0°). Измерить освещенность.
Снятие ВАХ: Для каждого угла аккуратно снять показания. Начинать с разомкнутой цепи (макс. U, I=0), затем уменьшать сопротивление.
Измерение угла: Тщательно выставлять угол с помощью транспортира.
Контроль стабильности: Следить, чтобы лампа не перегревалась и её световой поток не менялся (можно периодически проверять ток короткого замыкания при α=0°).
Фиксация данных: Для каждого угла – отдельная таблица: «U (В) – I (А)». Запись угла и условий опыта.
4. **Аналитический этап** (1-2 недели)
Обработка данных: Для каждой ВАХ:
Построить график I(U).
Рассчитать мощность для каждой точки P = U*I.
Найти максимальную мощность P_max (вершина кривой на графике мощности).
Найти ток короткого замыкания I_sc и напряжение холостого хода U_oc.
Рассчитать fill factor: FF = P_max / (I_sc * U_oc).
Анализ результатов: Построить сводные графики: P_max(α), I_sc(α), U_oc(α). График P_max(α) должен следовать кривой, близкой к cos(α). U_oc будет

слабо меняться с углом, а I_sc – сильно падать, так как зависит от количества фотонов. FF может немного уменьшаться при больших углах. Оптимальный угол подтвердится как 0° (перпендикулярно).

Выводы:

Экспериментально подтверждена сильная зависимость выходной мощности солнечной панели от угла падения света.

Максимальная мощность достигается при перпендикулярном падении лучей, а её снижение при отклонении угла приблизительно описывается косинусной зависимостью, что подтверждает гипотезу.

Падение мощности связано в основном с уменьшением тока короткого замыкания, то есть с уменьшением количества фотонов, попадающих на активную поверхность.

Результаты работы имеют прямое практическое применение для проектирования систем солнечной энергетики, где требуется точная ориентация панелей и учет сезонных изменений высоты солнца.

Рефлексия: Проект требует аккуратности и понимания электротехники.

Сложность – в обеспечении стабильного и мощного источника света.

Удовлетворение – от получения красивых ВАХ и количественного подтверждения теоретической зависимости.

5. **Презентационный этап**

Оформление работы: Технический отчет с теорией, схемой установки, семейством ВАХ для разных углов, сводными графиками и расчетами.

Продукт: Графики зависимости P_max и I_sc от угла падения света. Таблица с ключевыми параметрами для каждого угла.

Защита: Презентация с демонстрацией работы установки (или её фото).

Показ, как меняются показания приборов при наклоне панели.

Представление итоговых графиков и выводов.

Необходимое оборудование и материалы: Солнечная панель (6-12В, 1-5Вт), мощная галогенная лампа (300-500Вт) с отражателем и системой охлаждения, 2 мультиметра, переменный резистор (реостат 10-100 Ом), штативы, транспортир, линейка, провода, темное помещение.

Возможное развитие проекта: Исследование влияния спектрального состава света (сравнение лампы накаливания и «холодного» светодиода). Изучение зависимости от температуры панели. Создание и испытание простейшего трекера (устройства для слежения за солнцем). Оценка сезонных потерь для

фиксированной панели в своем регионе.



Проектная работа №50

Тема: Изучение резонанса звуковых волн на примере трубы Кундта.
Цель проекта: Экспериментально исследовать явление акустического резонанса в воздушном столбе с помощью установки Кундта, измерить длины образующихся стоячих волн для разных частот и определить скорость звука в воздухе.
Задачи:
Изучить теорию стоячих волн, условия резонанса в трубе, открытой с одного или двух концов, и метод Кундта для их визуализации.
Собрать установку Кундта: длинная стеклянная или пластиковая трубка, источник звука (динамик, управляемый генератором частот), мелкий легкий порошок (пробка, тальк, полистироловые шарики).
Подобрать резонансные частоты для данной длины трубы и зафиксировать образование четких стоячих волн (фигур Кундта).
Измерить расстояние между пучностями (или узлами) стоячей волны для нескольких резонансных частот.
Рассчитать скорость звука по полученным данным, сравнить с теоретической и оценить точность метода.
Гипотеза: При совпадении частоты вынуждающих колебаний (от динамика) с одной из собственных частот воздушного столба в трубке возникнет резонанс – установится стоячая звуковая волна. Легкий порошок на дне трубки будет выметаться из пучностей (областей максимальной скорости частиц) и скапливаться в узлах (областях покоя), визуализируя структуру волны. Измеренное расстояние между узлами будет равно половине длины волны (λ/2), что позволит вычислить скорость звука по формуле $v = \lambda * f$.
Этапы работы:
1. **Подготовительный этап** (1-2 недели)
Выбор темы: Классический и красивый эксперимент, делающий невидимые звуковые волны видимыми и позволяющий измерить фундаментальную физическую постоянную.
Постановка проблемы: Как «увидеть» звук? Как определить скорость звука в комнате с помощью линейки и динамика?
Планирование: Поиск или изготовление длинной (1-2 м) прозрачной трубки (можно использовать пластиковую для электропроводки диаметром 40-50 мм). Источник звука: небольшой динамик (широкополосный), герметично вмонтированный в заглушку на одном конце трубки. Второй конец – закрытый подвижным поршнем (пробкой на штоке) для регулировки длины столба. Генератор звуковых частот (можно использовать приложение-генератор на смартфоне или ПК, подключенный к усилителю). Легкий порошок: мелко натертая пробка, тальк, lycopodium powder.
2. **Проектировочный этап** (1 неделя)

Теоретическое исследование: В трубе, закрытой с одного конца и открытой с другого (где динамик), устанавливается стоячая волна с условием резонанса: $L = (2n-1) * \lambda/4$, где n=1,2,3..., L – длина столба, λ – длина волны. Узел смещения (пучность давления) – на закрытом конце, пучность смещения (узел давления) – у открытого. В методе Кундта порошок скапливается в узлах смещения (где частицы воздуха колеблются меньше всего). Расстояние между соседними кучами порошка равно $\lambda/2$.
Разработка методики:
Насыпать тонкий равномерный слой порошка на дно горизонтальной трубки.
Подключить динамик к генератору частот.
Плавно изменять частоту в ожидаемом диапазоне (для трубки 1 м – первая резонансная частота ~85 Гц). Искать частоту, при которой порошок четко структурируется в ряд параллельных «кучек».
Зафиксировать резонансную частоту f. Измерить линейкой расстояние d между центрами нескольких соседних кучек. $\lambda = 2d$.
Рассчитать скорость звука: $v = \lambda * f$.
Найти несколько резонансных частот (для разных мод колебаний) и усреднить результат.
3. **Практический этап** (1-2 недели)
Сборка установки: Герметизация динамика в торце. Обеспечение плавного движения поршня. Крепление трубки горизонтально.
Проведение эксперимента:
Поиск резонанса: Начать с частоты ~50 Гц, медленно повышать. Приближаясь к резонансу, порошок начнет «оживать», а затем резко соберется в четкие полосы. Добиться максимально четкой картины, слегка подстраивая частоту.
Измерения: Для самой четкой картины (обычно это первая или вторая мода) измерить расстояние между 5-7 кучками, вычислить среднее d.
Изменение условий: Подвинуть поршень, изменив длину столба L. Найти новую резонансную частоту для этой длины.
Повторность: Провести серию измерений для разных частот и, если возможно, разной температуры воздуха (замерить термометром).
Фиксация данных: Фотографии фигур Кундта при разных частотах. Таблица: «Резонансная частота f (Гц) – Расстояние между пучностями d (м) – Длина волны $\lambda=2d$ (м) – Рассчитанная скорость v (м/с) – Температура воздуха T (°C)».
4. **Аналитический этап** (1 неделя)
Обработка данных: Расчет скорости звука для каждой моды. Вычисление среднего значения и стандартного отклонения. Теоретический расчет: $v_{теор} = 331 + 0.6 * T$ (м/с).
Анализ результатов: Полученная экспериментальная скорость звука будет близка к теоретической (около 340-345 м/с при комнатной температуре).

Разброс значений для разных мод позволит оценить точность метода. Четкость фигур Кундта будет максимальной на резонансных частотах, подтверждая гипотезу о резонансном характере явления.

Выводы:

Метод Кундта является эффективным и наглядным способом визуализации стоячих звуковых волн и изучения явления акустического резонанса.

Экспериментально измеренная скорость звука в воздухе, рассчитанная по резонансным частотам и длинам волн, согласуется с теоретическим значением, что подтверждает корректность метода и исходной гипотезы.

Расстояние между узлами стоячей волны действительно равно половине длины звуковой волны в среде.

Проект демонстрирует единство волновых явлений в разных средах (механика, акустика) и предоставляет простой инструмент для измерения важной физической величины.

Рефлексия: Проект производит «вау-эффект» от визуализации звука.

Технические сложности: добиться хорошей герметичности и подобрать оптимальный порошок. Крайне важно получить четкие, стабильные фигуры для точных измерений.

5. **Презентационный этап**

Оформление работы: Отчет с теорией стоячих волн, описанием установки, фотографиями фигур Кундта, таблицами расчетов и сравнением с теорией.

Продукт: Фотографии или видео четких фигур Кундта при резонансе. Таблица с расчетами скорости звука.

Защита: Лучшая защита – живая демонстрация. Показать, как при изменении частоты порошок хаотично движется, а на резонансе – выстраивается в четкие полосы. Измерить расстояние между полосами прямо на защите и оперативно вычислить скорость звука в аудитории.

Необходимое оборудование и материалы: Прозрачная трубка (длина 1-2 м, диаметр 4-5 см), динамик (например, 4-8 Ом), генератор частот (смартфон с приложением + усилитель), легкий сухой порошок (тальк, молотый пенопласт, ликоподий), линейка (1 м), термометр, заглушки и материал для изготовления подвижного поршня.

Возможное развитие проекта: Исследование зависимости резонансной частоты от длины столба воздуха. Измерение скорости звука в других газах (гелий, углекислый газ – с осторожностью!). Изучение фигур Кундта в трубах разного диаметра. Визуализация не только продольных, но и поперечных стоячих волн (на струне или резиновом шнуре). Создание «акустического левитатора» для мелких частиц на основе стоячих волн.

